

## الباب الثالث

# طرق عدديّة لمعادلات تفاصيل الانتشار

## Numerical Methods for Reaction-Diffusion Equations

الملخص: هذا هو الباب الثالث من كتاب النمذجة الرياضية للحسابات الحيوية.

قد تم تكريس هذا الجزء للمفاهيم الأساسية لنظرية مخططات الفرق المحدود للحل

الرقمي لمعادلات الانتشار الخطية التي تمثل القاعدة لنمذجة الحسابات الحيوية.

يُقدم هذا الباب الحقائق ذات الصلة حول المفاهيم الأساسية لنظرية مخططات الفرق

المحدود لمعادلات الانتشار الخطية. يعرض مخططات الفرق الفعال الأكثر رواجاً

لمعادلات تفاصيل الانتشار غير الخطية. يتم مناقشة المفاهيم الطبيعية الأساسية وكوتها

كافية لحل مسائل الحساب الحيوى. كما يتم تطبيق مخططات الفرق على نطاق واسع

في حل مسائل الحساب الحيوى.

كلمات البحث: مخطط الفرق المحدود، والمعادلات التفاضلية الجزئية PDE، ومعادلة

تفاصيل الانتشار.



## **مخططات الفرق لمعادلات الانتشار**

### **The Difference Schemes for the Diffusion Equation**

تكتسب الطرق العددية المعاصرة حل المسائل في الكيمياء الرياضية mathematical chemistry شعبية متزايدة. هدف هذا الفصل هو تزويد القارئ بالحقائق ذات الصلة حول المفاهيم الأساسية لنظرية مخططات الفرق لمعادلات الانتشار الخطية. معادلات الانتشار الخطية تلعب دوراً مهمـاً وحاصلـاً في معظم نماذج نظرية الحساس الحيوي. الدافع وراء اختيار طرق الفرق لحل هذه المعادلات كان بالحجتين التاليتين:

- الهندسة (الحجم) لحساس حيوي لا يتغير حقاً خلال القياسات؛
- البساطة والكافأة لطريقة الفرق.

نعرض هنا مخططات الفرق الفعالة والبسيطة والأكثر شعبية معاً. يتم تطبيق مخططات الفرق هذه على نطاق واسع لحل مسائل الحساسات الحيوية في الفصل التالي. يتم استخدام هذه الطريقة كثيراً في حل المسائل التطبيقية ليس فقط من قبل علماء الرياضيات المحترفين، لكن أيضاً من قبل غير المتخصصين. المفاهيم المقدمة

أدنى ذات طابع ابتدائي وكافية لحل مسائل الحساس الحيوي. تم تطبيق الترميز بشكل أساسي في هذا الكتاب [222]. العديد من سمات الطرق العددية لحل المعادلات التفاضلية الجزئية موجودة في [5، 12، 187، 222].

## ١ - الشبكات The Grids

سوف نعتبر أحادي الأبعاد في معادلة انتشار فضاء بمعاملات ثابتة ومحططات الفرق من أجل تطوير الطرق المختلفة لتصميم محططات ملائمة للمسائل اللاخطية ومتعددة الأبعاد لنظرية الحساس الحيوي الرياضية. تركيب معادلة الفرق يُقرب المعادلة التفاضلية ذات المقادير المهمة لأداء العمليات التالية:

- لاستبدال مجال المتغير المتقطع من سعة argument إلى مجال المتغير المتصل.
- لفرض نظائر الفرق للشروط الخدية والبيانات الابتدائية.

من الواضح، في الحل العددي للمسائل الرياضية أنه غير واقعي لإعادة إنتاج حل الفرق لكل قيم سعة المتغير في مجال معين. إن الطريقة التقليدية في تغطية هذا هي اختيار بعض المجموعات المحددة لل نقاط في هذا المجال والبحث عن حل تقريري فقط في تلك النقاط. أي مجموعة من تلك النقاط تسمى شبكة والنقاط المعزلة تسمى عقد الشبكة grid nodes. أي دالة معرفة في النقاط العقدية nodal points تسمى دالة الشبكة. لهذا السبب فإن زمن الحل، و خواص حل الفرق، والاقتراب من حل مضبوط تعتمد جميعها بشكل أساسي على الاختيار الصحيح للشبكة. سوف نعطي عدة أمثلة بسيطة للشبكات.

### ١ ، ١ شبكة متساوية البعد في المستقيم

نعتبر الآن مجموعة الدوال  $(x) u$  في الجزء  $[0, d]$ . يتم تقسيم الجزء  $[0, d]$  من الطول  $d$  إلى فترات متساوية  $n$ . المسافة بين عقدتين متجاورتين  $x_i - x_{i-1} = h = d/n$  تسمى خطوة الشبكة أو ببساطة خطوة. إن نقاط التقسيم أو الانسياط  $x = x_i = ih$ ,  $i = 1, \dots, n-1$  تشكل ما يسمى مجموعة عقد الشبكة  $\Omega_h = \{x_i = ih, i = 1, \dots, n-1\}$  وتولد شبكة متمللة واحدة على هذا الجزء  $[0, d]$  (الشكل رقم ١).

عندما توضع النقطة الحدية  $x_0 = 0$  و  $x_n = d$  جنباً إلى جنب مع الشبكة  $\Omega_h$ , فسوف يرمز إليها بواسطة  $\bar{\Omega}_h = \{x_i = ih, i = 1, \dots, n\}$ . في الجزء  $[0, d]$  نعمل مع دالة جديدة  $(x) u_h(x)$  للسعنة المتقطعة بدلاً من الدالة المعطاة  $(x) u$  للمتغير المتصل. يتم حساب القيم مثل هذه الدالة في عقد الشبكة  $x_i$  وتعتمد الدالة في حد ذاتها على الخطوة  $h$  وكذلك على البارامتر.

#### تعريف (١)

الدالة  $(x) u$  المعرفة على عقد الشبكة  $x_i$  تسمى دالة الشبكة.

لذلك الدالة  $(x) u_h$  هي دالة الشبكة.



الشكل رقم (١). شبكة متساوية البعد على الجزء.

### ٢ ، ١ شبكة غير متساوية البعد في مستقيم

يركز المثال التالي على الجزء  $x \leq 0$  بفترات فرعية  $n$  دون اهتمام لكيفية

اختيار النقاط  $\{x_i, i = 0, \dots, n, x_0 = 0, x_n = d\}$ . تُشكل العقد  $x_1 < x_2 < \dots < x_{n-1} < 0$ .

ما يسمى شبكة غير متساوية البعد على  $[0,d]$  (الشكل رقم ٢). المسافة بين العقد المجاورة، كونها خطوة الشبكة، تساوي  $x_i - x_{i-1} = h_i$  وتعتمد على الحرف التحتي  $i$ . وينبغي أن تلبي الخطوات شرط التعيير  $\sum_{i=1}^n h_i = d$ . أي مسافة لهذا النوع تقع ضمن فئة دوال الشبكة. الخطوة  $h_i$  تأخذ أصغر ما في المنطقة حيث إن تباين الدالة (مشتق الدالة) هو الأكبر وتتخاذ الخطوة  $h_i$  أكبر في المنطقة حيث إن تباين الدالة هو الأصغر. عادة ما يتم عمل ذلك من أجل اختزال خطأ الحل.



الشكل رقم (٢). شبكة غير متساوية البعد على الجزء.

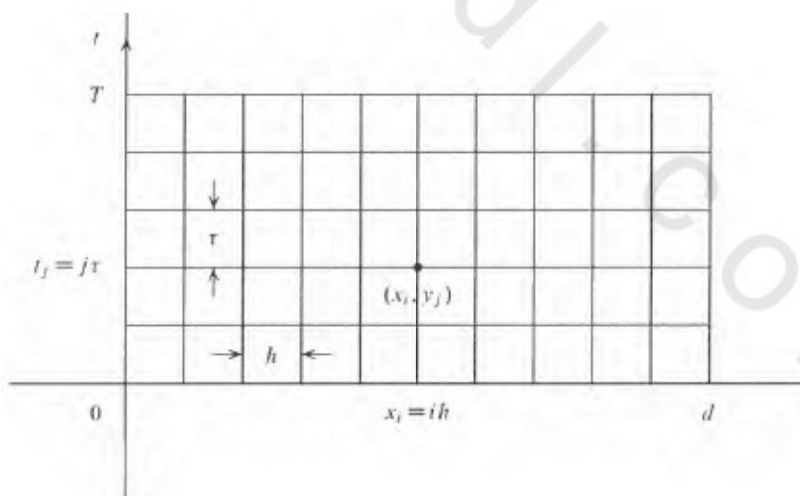
### ١.٣ شبكة متساوية البعد في مستوى The Equidistant Grid in a Plane

ندرس الآن مجموعة الدوال  $(t, x)$  لسعتين في المستطيل  $\bar{Q} = \{0 \leq x \leq d, 0 \leq t \leq T\}$ . نظراً لأن العمليات في النظرية الرياضية للحساس الحيوي غير ثابتة فمن المهم فصل الزمن والإحداثيات المكانية. مستقبلاً سوف نرمز للزمن بـ  $t$  والإحداثيات المكانية بـ  $x, y, z$ . والآن سوف نقسم الجزء  $[0, d]$  على المحور  $x$  والجزء  $[0, T]$  على المحور  $t$  إلى الأجزاء  $n$  و  $m$  بالخطوات  $h = d/n$  و  $\tau = T/m$ . على التوالي. بعد ذلك، نرسم خطوط مستقيمة موازية للمحاور المناسبة من خلال نقاط التقسيم. تبني نقاط تقاطع هذه الخطوط، كالمعتاد، كالعقد  $(x_i, t_j) = (ih, j\tau)$ ، التي تشكل شبكة واسعة النطاق  $\bar{Q}_{ht} = \{(x_i, t_j) \in \bar{Q}\}$ .

(الشكل رقم ٣). العقد الواقعة على نفس الخط المستقيم (أفقي أو رأسي)، والمسافة بينها تساوي خطوة الشبكة ( $h$  أو  $\tau$ )، تسمى عقد الشبكة المجاورة. تسمى العقد ( $x, t$ ) داخلاً المنطقة  $\bar{Q}$  العقد الداخلية. العقد على الحدود  $t \in [0, T] \text{ or } x = d \text{ or } x = 0$  تعرف باسم العقد الحدية، والعقد على  $x = 0$  معروفة باسم العقد الابتدائية. العقد

$$(x_i, t_j), i = 1, 2, \dots, n-1, j = 1, 2, \dots, m$$

من مجموعة النقاط الداخلية. عادة، تطبق شبكة متتساوية البعد في مستوى عندما يكون التغيير للدالة  $(t, x) u$  هو نفسه تقريباً على المستطيل  $\bar{Q}$ . إذا كان تغيير الدالة مختلفاً في المستطيل  $\bar{Q}$  فإنه يتم تطبيق شبكة غير متتساوية البعد في مستوى.



الشكل رقم (٣). شبكة متتساوية البعد في المستوى.

#### ٤ , ١ شبكة غير متساوية البعد في مستوى The Non-equidistant Grid in a Plane

يمكن معاملة الشبكة غير متساوية البعد في مستوى بطريقة مشابهة. ندرس الآن مجموعة دوال  $(x, t, u)$  لسعتين في المستطيل  $\bar{Q} = \{0 \leq x \leq d, 0 \leq t \leq T\}$ . تشكل العقد  $\{(x_i, t_j), i=0, \dots, n, x_0=0, x_n=d, j=0, 1, \dots, m, t_0=0, t_m=T\}$  ما يسمى شبكة غير متساوية البعد  $\{(x_i, t_j) \in \bar{Q}_{kr}\}$ . المسافة بين العقد المجاورة، كونها خطوة الشبكة، تساوي  $h_i = x_i - x_{i-1}$  على طول الاتجاهات  $Ox$  و  $t_j - t_{j-1}$  على طول الاتجاهات  $Ot$  على التوالي. تعتمد خطوات الشبكة على الحروف التحتية  $i$  و  $j$ .

ينبغي للخطوات استكمال شروط التغير  $\sum_{j=1}^m t_j = T$  و  $\sum_{i=1}^n h_i = d$

كما في الحالة السابقة فإن أي مسافة بين نقاط الشبكة المجاورة تقع ضمن فئة دوال الشبكة. تؤخذ الخطوات  $h_i$  أو  $t_j$  الأصغر في المنطقة حيث إن التباین للدالة (المستقادات الجزئية للدالة) هو الرئيس وتؤخذ خطوات  $h_i$  أو  $t_j$  الأكبر في المنطقة، حيث إن التباین للدالة هو الأصغر.

#### ٥ الشبكة في حالة متعددة الأبعاد The Grid in a Multidimensional case

يتم عرض شبكة متعددة الأبعاد بنفس الطريقة المائلة. ندرس مجموعة الدوال  $(x, y, z, t, u)$  في المنطقة  $\bar{Q}$ ، حيث إن

$$\bar{Q} = \bar{\Omega} \times [0, T], \quad \bar{\Omega} = \{(x, y, z) : 0 \leq x \leq d_x, 0 \leq y \leq d_y, 0 \leq z \leq d_z\}.$$

في حالة الشبكة الموحدة تأخذ خطوات الشبكة  $h_x, h_y, h_z$  و  $h_t$  على المحاور

$x, y, z$  و  $t$  على المحور  $t$ . إن نقاط الشبكة هي

$$(x, y, z, t) = (x_i, y_k, z_l, t_j), \quad i = 0, 1, \dots, n_x, k = 0, 1, \dots, n_y, l = 0, 1, \dots, n_z, j = 0, 1, \dots, m$$

### تستوفي الخطوات شروط التعيير

$$h_x n_x = d_x, \quad h_y n_y = d_y, \quad h_z n_z = d_z, \quad m = T.$$

تم تعريف سطح موازي السطوح  $\bar{\Omega}$  ليكون  $\Omega$ . العُقد  $(x_i, y_k, z_l, t_j)$  داخل المنطقة  $\bar{\Omega}$  تسمى العُقد الداخلية. العُقد على الحدود  $\partial\Omega \times [0, T]$  معروفة بالنقاط الحدية. العُقد

$$(x_i, y_k, z_l, t_j), i=1,2, \dots, n_x-1, \quad k=1,2,\dots,n_y-1, \quad l=1,2,\dots,n_z-1, \quad j=1,2,\dots,m$$

من مجموعة النقاط الداخلية. يمكن للمرء أن يقدم شبكة غير متساوية البعد في الحالة متعددة الأبعاد. إن إجراءات بناء الشبكة مشابهة لذلك المجال ثنائي الأبعاد.

## ٢- التقريب لمشتقات الدالة

### ١ ، ٢ المشتقة من الرتبة الأولى

تقريب الفرق لمشتقات الدالة هو الخطوة الأولى في بناء طريقة لإيجاد حل للمسائل التفاضلية. بعد ذلك نطور التقريب لمشتقة الدالة من الرتبة الأولى. تقريب مشتقات الدوال يستند على تعريف مشتقة الدالة الأولى

$$u'(x) = \lim_{h \rightarrow 0} \frac{u(x+h) - u(x)}{h}.$$

يتم الحصول على مشتقات الفرق عندما يتم رفض النهاية، يتمأخذ قيمة محدودة بعض الشيء من  $h$ ، يتم الحصول على المساواة التقريبية

$$u'(x) \approx \frac{u(x+h) - u(x)}{h}.$$

دعنا ثبت نقطة ما  $x$  على المحور  $Ox$  من خلال التقاط نقاط متباينة  $x-h$  و  $x+h$  حيث إن الخطوة  $h > 0$ . ومن ثم سوف نقدم التعبيرين التاليين لمشتقات الفرق:

مشتقة الفرق الأيمن

$$\frac{u(x+h) - u(x)}{h} = u_x,$$

مشتقة الفرق الأيسر

$$\frac{u(x) - u(x-h)}{h} = u_{\bar{x}}.$$

يتم اختيار أسماء مشتقات الفرق وفقاً لموقع النقاط المرتبطة أو المشتركة points engaged في التعريف.

إن السؤال التالي من الأهمية بمكان:

ما الخطأ من تقرير فرق واحد أو آخر وكيف يتصرف الفرق (على سبيل المثال)  $(x) = u'(x) - u_x(x)$  عند نقطة  $x$  كما يشير  $0 \rightarrow h \rightarrow 0$  إلى الخطأ في تقرير الفرق إلى  $(x)$  عند نقطة  $x$ ؟

في البداية سوف نقدم تعريفاً لرتبة الدالة فيها يتعلق بـ  $h \rightarrow 0$ .

تعريف (٢)

الدالة  $(h)$  هي الرتبة  $r$  فيها يتعلق بـ  $h$  إذا كان هناك ثابت  $c$ ، و  $\infty < c < 0$ ، مثل

تلك

$$\frac{|g(h)|}{h^r} \leq c$$

وكتب  $g(h) = O(h')$

نعود الآن إلى خطأ تقرير المشتقة. نقوم بتطوير  $u(x)$  القادمة في متسلسلة

series بواسطة صيغة تايلور حتى المشتقات من الرتبة الثالثة.

$$\begin{aligned} u(x+h) &= u(x) + hu'(x) + \frac{h^2}{2}u''(x) + \frac{h^3}{6}u'''(x_+), \\ u(x-h) &= u(x) - hu'(x) + \frac{h^2}{2}u''(x) - \frac{h^3}{6}u'''(x_-), \end{aligned}$$

بافتراض أن  $u(x)$  تكون دالة ملساء أو متقطعة بما فيه الكفاية، حيث النطاق  $x_+ \in [x, x+h]$  و  $x_- \in [x-h, x]$ .

يعني أن

$$\max |u'''(x)| \leq c < \infty$$

في بعض مناطق الجوار  $(x-h_0, x+h_0)$  للنقطة  $x$  وللرقم  $h < h_0$ ، حيث يتم الحفاظ على العدد  $h_0$  ثابتاً. استبدال متسلسلة تايلور السابقة في تعريف مشتقة الفرق يُنتج

التالي:

$$\begin{aligned} u_x &= \frac{u(x+h) - u(x)}{h} = u'(x) + \frac{h}{2}u''(x) + O(h^2), \\ u_{\bar{x}} &= \frac{u(x) - u(x-h)}{h} = u'(x) - \frac{h}{2}u''(x) + O(h^2). \end{aligned}$$

لذا، فإن أخطاء التقرير  $\Phi(x)$  لمشتقات الفرق المعرفة هي

$$\Phi(x) = u_x - u = O(h),$$

$$\Phi(\bar{x}) = u_{\bar{x}} - u = O(h),$$

### تعريف

يقال مشتقة الفرق لتقرير مشتقة الرتبة  $r > 0$  عند النقطة  $x$  إذا كان

$$\Phi(x) = O(h^r)$$

لذا، يتعين علينا أن تكون درجة التقرير لمشتقة الفرق الأيمن ومشتقة الفرق الأيسر هي 1 على التوالي. علاوة على ذلك، أي جمع خطى مثل

$$u_x^\sigma \equiv \sigma u_x + (1 - \sigma)u_{\bar{x}},$$

حيث إن  $\sigma$  عدد حقيقي، ويمكن اعتباره كتقرير الفرق لـ  $(x)'u$ .

### ٢، التقرير لمشتقة الرتبة الثانية

#### The Approximation of the Second Order Derivative

تقرير مشتقة من الرتبة الثانية يستند على تعريف المشتقة الأولى. من أجل بناء تقرير الفرق لـ  $(x)''u$ . في تلك الحالة نقدم

$$u_{\bar{xx}} = \frac{u_x - u_{\bar{x}}}{h}.$$

من السهل إثبات أن العلاقة بين مشتقة الفرق الثانية وقيم دالة  $u(x - h)$

تكون:  $u(x + h), u(x)$

$$(1) \quad \frac{u(x-h) - 2u(x) + u(x+h)}{h^2} = u_{\bar{xx}}.$$

كما في الحالة السابقة سوف نقيم خطأ التقرير لـ  $u_{\bar{xx}}$ . ونطور  $u(x)$  القادمة في المتسلسلة بواسطة صيغة تايلور حتى إلى مشتقات الرتبة الرابعة.

نحصل على

$$u(x+h) = u(x) + hu'(x) + \frac{h^2}{2}u''(x) \frac{h^3}{6}u'''(x) + \frac{h^4}{24}u^{(4)}(x_+),$$

$$u(x-h) = u(x) - hu'(x) + \frac{h^2}{2}u''(x) \frac{h^3}{6}u'''(x) + \frac{h^4}{24}u^{(4)}(x_-),$$

حيث إن النقاط  $x_+ \in [x, x+h]$  و  $x_- \in [x-h, x]$ . وهذا يُنتج خطأ التقرير.

$$\Phi(x) = u_{\bar{x}\bar{x}} - u'' = \frac{h^4}{12}u^{(4)}(\bar{x}),$$

حيث إن  $\bar{x} \in [x-h, x+h]$ . بافتراض  $u(x)$  أنها دالة ملساء بها فيه الكفاية يكون لدينا مشتقة الفرق  $u_{\bar{x}\bar{x}}$  تقارب المشتقة الثانية  $u''(x)$  من الرتبة 2، وهذا يعني أن  $u''(x) - u_{\bar{x}\bar{x}} = O(h^2)$ .

$$\max |u^{(4)}(x)| \leq c < \infty$$

في بعض المناطق المجاورة  $(x-h_0, x+h_0)$  للنقطة  $x$  وللنقاط  $x-h_0$  و  $x+h_0$  حيث يتم الحفاظ على العدد  $h_0$  ثابتاً.

نتيجة لذلك، توفر مشتقة الفرق  $(I)_{\bar{x}\bar{x}} u$  تقرير الرتبة 2 إذا كانت الدالة  $u(x)$  ملساء بها فيه الكفاية.

## ٢، ٣ التقرير لمشتقة الثانية على شبكة غير متساوية البعد

### The Approximation of the Second Order Derivative on a Non-equidistant Grid

يهتم هذا المثال بشبكة غير متساوية البعد على الجزء  $d \leq x \leq 0$  بفترات فرعية  $n$ ، والعقد  $\{x_i, i = 0, \dots, n, x_0 = 0, x_n = d\}$ . إن المسافة بين العقد المجاورة تساوي  $h_i = x_{i+1} - x_i$ ، وتعتمد على الحرف التحتي  $i$ . نقدم التعبيرات التالية

$$u_{\bar{x}_i} = \frac{u(x_i) - u(x_{i-1})}{h_{i-1}},$$

$$u_{x_i} = \frac{u(x_{i+1}) - u(x_i)}{h_i},$$

يتم تقرير مشتقة الرتبة الثانية بالقيمة

$$u_{\bar{x}_i x_i} = \frac{u_{x_i} - u_{\bar{x}_i}}{\hat{h}_i} = \left( \frac{u(x_{i+1}) - u(x_i)}{h_i} - \frac{u(x_i) - u(x_{i-1})}{h_{i-1}} \right) / \hat{h}_i,$$

هنا  $h_{i-1} = h_i = h$ . بالنسبة لـ  $\hat{h}_i = (h_i + h_{i-1})/2$  (شبكة متساوية البعد) السابق

يكون متطابقاً مع التعبير (1). سنقوم الآن بحساب خطأ التقرير عند النقطة  $x_i$

وبعد ذلك نطور  $u(x)$  في المتسلسلة بصيغة تايلور

$$u(x_i + h_i) = u(x_i) + h_i u'(x_i) + \frac{h_i^2}{2} u''(x_i) + \frac{h_i^3}{6} u'''(x_i) + O(h_i^4),$$

$$u(x_i - h_{i-1}) = u(x_i) - h_{i-1} u'(x_i) + \frac{h_{i-1}^2}{2} u''(x_i) - \frac{h_{i-1}^3}{6} u'''(x_i) + O(h_{i-1}^4),$$

أنه يؤدي إلى المساويات التالية

$$u(x_i) = u'(x_i) + \frac{h_i}{2} u''(x_i) + \frac{h_i^2}{6} u'''(x_i) + O(h_i^3),$$

$$u_{\bar{x}_i}(x_i) = u'(x_i) - \frac{h_{i-1}}{2} u''(x_i) + \frac{h_{i-1}^2}{6} u'''(x_i) + O(h_{i-1}^3),$$

$$u_{\bar{x}_i x_i} = u''(x_i) + \frac{h_i - h_{i-1}}{6 \hat{h}_i} u'''(x_i) + O(\bar{h}_i^2),$$

حيث إن

$$\bar{h}_i = \max\{h_i, h_{i-1}\}$$

بهذه العلاقات المنظورة، يمكن أن نستقر على التعبيرات المفيدة لخطأ التقرير

$$(2) \quad \Phi(x_i) = u''(x_i) - u_{\bar{x}_i} = \frac{h_i - h_{i-1}}{6\hat{h}_i} u'''(x_i) + O(\bar{h}_i^2) = O(\bar{h}_i).$$

بناءً على ذلك، توفر مشتقة الفرق  $u_{\bar{x}}$  تقرير الرتبة 1 إذا كانت الدالة  $u(x)$  ملساء بها فيه الكفاية. إذا كانت  $h_i = h_{i-1}$  إذن خطأ التقرير يكون من الرتبة 2.

### ٣- مخطط الفرق الصريح The Explicit Difference Scheme

يستند تقرير الفرق في معادلة الانتشار على استبدال المشتقة الأولى والثانية ومشتقات الفرق. في هذه الفقرة سوف ندرس معادلة الانتشار سوياً مع الشروط الحدية ( $L=0$ ,  $x=d$ ,  $t=0$ ) والابتدائية ( $L=0$ ). تسمى معادلة الانتشار جنباً إلى جنب مع الشروط الحدية والابتدائية بمسألة القيمة الحدية.

سوف نعتبر الآن مسألة القيمة الحدية لمعادلة الانتشار. سنبدأ بأحادي البعد المثال الأسهل في الفضاء. حيث يتم صياغة هذه المسألة بالطريقة التالية: لإيجاد دالة

$u(x, t)$  تستوفي معادلة الانتشار

$$(3) \quad \frac{\partial u}{\partial t} = D \frac{\partial^2 u}{\partial x^2},$$

في مستطيل  $Q = \{0 < x < d, 0 < t \leq T\}$  مع الشرط الابتدائي  $L=0$

$$(4) \quad u(x, 0) = \varphi(x), \quad x \in [0, d],$$

والشرط الحدي

$$(5) \quad u(0, t) = \psi_1(t), \quad u(d, t) = \psi_2(t), \quad t \in [0, T],$$

حيث إن  $\varphi(t)$ ،  $\psi_1(t)$  و  $\psi_2(t)$  هي الدوال المعطاة، ومعامل الانتشار  $D > 0$ .  
أيضاً نفترض بأن حل المسألة (٣)-(٥) موجود، وهو فريد وأملس بما فيه الكفاية.

دعنا نعرض شبكة متساوية البعد  $\bar{Q}_{ht} = \{(x_i, t_j) \in \bar{Q}\}$  بالخطوتين  $h$  و  $\tau$  على طول الاتجاهين  $O_x$  و  $O_t$  على التوالي في المستطيل  $\bar{Q} = \{0 \leq x \leq d, 0 \leq t \leq T\}$ .  
لتكن  $(x_i, t_j)$  نقطة ثابتة للشبكة داخل المستطيل  $Q$ . الآن نكتب معادلة الانتشار عند هذه النقطة

$$(٦) \quad \frac{\partial u(x_i, t_i)}{\partial t} = D \frac{\partial^2 u(x_i, t_j)}{\partial x^2}.$$

العبارات

$$(٧) \quad \frac{\partial u(x_i, t_i)}{\partial t} = \frac{u(x_i, t_{j+1}) - u(x_i, t_j)}{\tau} - \frac{\tau}{2} \frac{\partial^2 u(x_i, \bar{t}_j)}{\partial t^2},$$

حيث إن  $\bar{t}_j \in [t_j, t_{j+1}]$  و

$$(٨) \quad \frac{\partial^2 u(x_i, t_i)}{\partial x^2} = \frac{u(x_{i+1}, t_j) - 2u(x_i, t_j) + u(x_{i-1}, t_j)}{h^2} - \frac{h^2}{12} \frac{\partial^4 u(\bar{x})}{\partial x^4},$$

حيث إن  $\bar{x} \in [x_{i-1}, x_{i+1}]$  تكون صحيحة.  
يمكن تحقيق صحة المساوتين الأخيرتين من خلال استخدام متسلسلة صيغة تايلور إلى مشتقات الرتبة الثانية فيها يتعلق بـ  $x$  ، وإلى مشتقات الرتبة الرابعة فيها يتعلق بـ  $x$

$$u(x_i, t_{j+1}) = u(x_i, t_j + \tau) = u(x_i, t_j) + \tau \frac{\partial u(x_i, t_j)}{\partial t} + \frac{\tau^2}{2} \frac{\partial^2 u(x_i, \hat{t}_j)}{\partial t^2},$$

حيث إن  $\hat{t}_j \in [t_j, t_{j+1}]$

$$\begin{aligned} u(x_{i+1}, t_j) &= u(x_i + h, t_j) = u(x_i, t_j) + h \frac{\partial u(x_i, t_j)}{\partial x} + \frac{h^2}{2} \frac{\partial^2 u(x_i, t_j)}{\partial x^2} \\ &\quad + \frac{h^3}{6} \frac{\partial^3 u(x_i, t_j)}{\partial x^3} + \frac{h^4}{24} \frac{\partial^4 u(\bar{x}_i, t_j)}{\partial x^4}, \\ u(x_{i-1}, t_j) &= u(x_i - h, t_j) = u(x_i, t_j) - h \frac{\partial u(x_i, t_j)}{\partial x} + \frac{h^2}{2} \frac{\partial^2 u(x_i, t_j)}{\partial x^2} \\ &\quad - \frac{h^3}{6} \frac{\partial^3 u(x_i, t_j)}{\partial x^3} + \frac{h^4}{24} \frac{\partial^4 u(\hat{x}_i, t_j)}{\partial x^4}, \end{aligned}$$

حيث إن  $\bar{x} \in [x_{i-1}, x_i]$  و  $\hat{x} \in [x_i, x_{i+1}]$ . يتم تبع إثبات (٧) و (٨) باستخدام صيغتي تايلور الأخيرتين. الآن يتم تغيير المشتقات الجزئية من قبل (٧) و (٨)، ويمكن كتابة المعادلة (٦) كالتالي

$$(٩) \quad \frac{u(x_i, t_{j+1}) - u(x_i, t_j)}{\tau} = D \frac{u(x_{i+1}, t_j) - 2u(x_i, t_j) + u(x_{i-1}, t_j)}{h^2} + \Phi(x_i, t_j),$$

$i = 1, 2, \dots, n-1, \quad j = 0, 1, \dots, m-1,$

حيث إن

$$\Phi(x_i, t_j) = \frac{\tau}{2} \frac{\partial^2 u(x_i, \bar{t}_j)}{\partial t^2} - D \frac{h^2}{12} \frac{\partial^4 u(\bar{x}, t_j)}{\partial x^4},$$

يتمأخذ القيمة  $\Phi(x_i, t_j)$  كخطأ التقرير لمعادلة الانتشار (٦). إذا، على

سبيل المثال، كانت المشتقات الجزئية للدالة  $u(x, t)$  تستوفي التفاوت

$$\max \left| \frac{\partial^2 u(x, t)}{\partial t^2} \right|, \quad \max \left| \frac{\partial^4 u(x, t)}{\partial t^4} \right| = c < \infty$$

في المنطقة  $\bar{Q}$ ، من درجة التقرير تساوي  $O(\tau+h^2)$  كلما  $0 \rightarrow h$ . نلاحظ أن خطأ التقرير للمشتقة الأولى هو  $O(\tau)$ ، وأن خطأ التقرير للمشتقة الثانية  $\partial^2 u(x_i, t_j) / \partial x^2$  هو  $O(h^2)$ . يمكن إهمال خطأ التقرير  $\Phi(x_i, t_j)$  في المعادلة (٩) إذا كانت  $\tau$  و  $h$  صغيرتين بما فيه الكافية. في هذه الحالة لدينا المساواة التقريرية

$$\frac{u(x_i, t_{j+1}) - u(x_i, t_j)}{\tau} \approx D \frac{u(x_{i+1}, t_j) - 2u(x_i, t_j) + u(x_{i-1}, t_j)}{h^2}.$$

الآن نقدم الدالة الجديدة  $v_i^j$ ، المعرفة على نقاط الشبكة  $(x_i, t_j)$ ، وأيضاً المساواة الجديدة الدقيقة

$$(10) \quad \frac{v_i^{j+1} - v_i^j}{\tau} = D \frac{v_{i+1}^j - 2v_i^j + v_{i-1}^j}{h^2}, \\ i=1,2,\dots,n-1, j=0,1,\dots,m-1$$

يتم تغيير الشرط الابتدائي (٤) بواسطة

$$(11) \quad v_i^0 = \varphi(x_i) \quad i=1,2,\dots,n$$

والشرط الحدي (٥)

$$(12) \quad v_0^j = \psi_1(t_j), \quad v_n^j = \psi_2(t_j), \quad i=1,2,\dots,m.$$

إن معادلة الفرق (١٠) مع الشروط الابتدائية (١١) والحدية (١٢) تُشكل خطط الفرق لحل مسألة القيمة الحدية بالنسبة لمعادلة الانتشار (٣)-(٥). يتم استبدال الشروط الحدية والابتدائية بالضبط. إن قيم الحل  $u(x_i, t_j)$  لمسألة التفاضلية (٣)-(٥) تنسجم مع القيم  $v_i^j$  حل خطط الفرق (١٠)-(١٢). فمن السهل ملاحظة أنه إذا كان خطأ التقرير  $\Phi(x_i, t_j) \equiv 0$  لكل من  $i=1, 2, \dots, n-1$ ،

و  $j = 1, 2, \dots, m-1$ ، إذن الفرق يكون  $z_i^j = u(x_i, t_j) - v_i^j$ . إن الفرق  $z_i^j$  يسمى خطأً الحل. إذا كان خطأ التقريب  $\Phi(x_i, t_j) \approx 0$ ، إذن يمكن للمرء أن يأمل بأن

$$\text{يكون } u(x_i, t_j) = v_i^j.$$

علاوة على ذلك سوف نستخدم مصطلح نمط لمعادلة الفرق.

#### تعريف (٣)

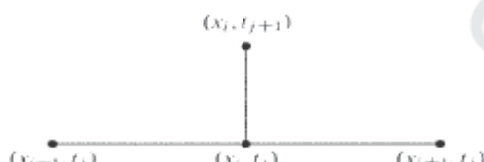
تسمى مجموعة نقاط الشبكة المشتركة في تكوين معادلة الفرق نمط معادلة الفرق. تم استبدال معادلة الانتشار بمعادلة الفرق باستخدام النمط المكون من أربع نقاط  $(x_{i-1}, t_j), (x_i, t_j), (x_{i+1}, t_j)$  و  $(x_{i+1}, t_{j+1})$  (الشكل رقم ٤). تقع ثلاثة نقاط على الخط  $t = t_j$  و نقطة واحدة على الخط  $t = t_{j+1}$ . الآن نقدم تعريفاً لطبقة الشبكة.

#### تعريف (٤)

تسمى مجموعة نقاط الشبكة الواقعة على الخط  $t = t_j$  باسم طبقة الشبكة  $j-th$ .

طبقة الشبكة  $j-th$  توحد نقاط  $(x_i, t_j)$ ؛ عندما تكون  $i = 0, 1, \dots, n$ .

الآن نقدم تعريفاً لمعادلة الفرق الصريحة.



الشكل رقم (٤). النمط للمخطط الصريح.

#### تعريف (٥)

معادلة الفرق تكون صريحة إذا أمكن التعبير عن قيمة الحل على الطبقة

العليا بالقيم على الطبقة الدنيا.

معادلة الفرق (١٠) صريحة وثنائية الطبقة، من المعادلة يكون لدينا التعبير

$v_i^{j+1}$  بواسطة  $v_{i-1}^j$ ,  $v_i^j$ , و  $v_{i+1}^j$

$$v_i^{j+1} = v_i^j + D \frac{v_{i+1}^j - 2v_i^j + v_{i-1}^j}{h^2},$$

الأسئلة ذات الأهمية الملحوظة :

أ) ما هو خطأ الحل  $v_i^j - u(x_i, t_j)$  وتقرب مخطط الفرق، وهذا يعني

$$\lim_{h,t \rightarrow 0} |u(x_i, t_j) - v_i^{j+1}| = 0?$$

ب) كيف نحل مخطط الفرق؟

وسوف نعطي الآن جواباً على السؤال الثاني.

### ١٣. الحساب حل The Calculation of a Solution

إن مخطط الفرق الصريح ي Simplify وله خوارزمية سهلة الحساب والبرمجة. يتم تفزيذ حساب مخطط الفرق (١٠)-(١٢) في طبقة شبكة المتسلسلة واحدة بعد الأخرى. في البداية يتم حساب الحل على طبقة الصفر عندما  $i=0$  باستخدام الشرط الابتدائي (١١)

$$v_i^0 = \phi(x_i) \quad i = 0, 1, \dots, n,$$

افرض، الحل  $v_i^j$  محسوباً في طبقة  $j-th$ . وهكذا، فإن القيم  $v_i^j$  بالنسبة لـ  $i = 0, 1, \dots, n$  تكون معروفة. نمضي في حل معادلة الفرق (١٠) الخاضعة لقيمة

$v_i^{j+1}$  في طبقة  $j-th$ . لدينا

$$v_i^{j+1} = v_i^j + D \frac{\tau}{h^2} (v_{i+1}^j - 2v_i^j + v_{i-1}^j), \quad i = 1, 2, \dots, n-1.$$

كل قيم الدالة  $v_i^j$  معروفة على الجانب الأيمن من المساواة. لذا يمكن للمرء أن يحسب القيم  $v_i^{j+1}$  و  $v_{n-i}^{j+1}$ . يتم حساب القيم  $v_0^{j+1}$  و  $v_n^{j+1}$  باستخدام شروط حدية (١٢)

$$v_0^{j+1} = \psi_1(t_{j+1}), \quad v_n^{j+1} = \psi_2(t_{j+1}).$$

علاوة على ذلك، بالقياس سنجد الحل  $v_i^j$  على الطبقة التالية وسوف تستمر حتى الطبقة الأخيرة  $i=n$ . ينتهي حساب حل مخطط الفرق الصريح.

### ٣، ٢ التقارب والاستقرار The Convergence and the Stability

إن تقارب مخطط الفرق ميزة مهمة جداً لمخطط الفرق. يمكن للمرء أن يطبق مخطط الفرق لغرض عملي فقط إذا كان هذا المخطط متقارباً. سوف نقدم الآن تعريفاً لتقارب مخطط الفرق الصريح (١٠) - (١٢).

تعريف (٦)

يكون مخطط الفرق متقارباً إذا كان

$$\lim_{\delta, \tau \rightarrow 0} |u(x_i, t_j) - v_i^j| = 0$$

بالنسبة لـ  $j = 0, 1, \dots, m$  و  $i = 0, 1, \dots, n$

هنا  $(x_i, t_j) u$  هو الحل لمسألة القيمة الحدية (٣) - (٥)، و  $v_i^j$  هو الحل لمخطط الفرق (١٠) - (١٢) عند النقطة  $(x_i, t_j)$ .

كما ذكر سابقاً، في هذا الكتاب سوف نقتصر على الحد الأدنى من المعلومات اللازمة على تقارب مخطط الفرق. عرض المفاهيم أدناه هي ذات طابع تكميلي وكافية للدراسة الأساسية ولحل المسائل الرياضية لنظرية الحساس الحيوي.

لإجراء دراسة مفصلة لنظرية مخطط الفرق نشير إلى المرجع [222] والأدبيات المذكورة هناك.

يعتمد تقارب مخطط الفرق على عدة عوامل مثل:

أ) السلسة حل المسألة التفاضلية.

ب) الاختيار للشبكة.

ج) الاستقرار لمخطط الفرق.

سوف نناقش الآن هذه العوامل بالتفصيل. تعتمد سلسلة الحل للمسألة التفاضلية كلياً على خواص المعادلة التفاضلية، والشروط الخدية والابتدائية، ومنطقة التعريف. للنماذج الرياضية - قيد الدراسة في هذا الكتاب - حل وللحمل عموماً عدد لانهائي من المشتقات فيها يتعلق بالزمن والإحداثيات المكانية. السؤال هو: ما هي القيم العظمى للمشتقات في منطقة الدراسة؟ هذه المسألة معقدة تماماً ويعتمد الجواب على حالة محددة. من المعروف في الحالة العامة، إذا كانت المنطقة محدبة، فإن القيم العظمى للمشتقات ليست كبيرة جداً. إذا كانت المنطقة غير محدبة، فإن قيم المشتقة قد تكون كبيرة جداً في المناطق المجاورة للزاوية الداخلية. أحادي البعد في حالة الفضاء (الجزء [٥]-[٣]) يكون بسيطاً والمشتقات ليست كبيرة جداً. السؤال الذي يطرح نفسه: بأي طريقة تؤثر المشتقات على خطأ حل الفرق؟ إن الإجابة تكمن في تقدير الخطأ حل مخطط الفرق (١٠)-(١٢)

$$(13) \quad \max_{0 \leq i \leq n, 0 \leq j \leq m} |z_i^j| = \max_{0 \leq i \leq n, 0 \leq j \leq m} |u(x_i, t_j) - v_i^j| \leq c \max_{0 \leq i \leq n-1, 0 \leq j \leq m-1} |\Psi(x_i, t_j)|,$$

هنا يعتمد الثابت  $\tau$  على طول الجزء  $d$ . إن خطأ التقرير

$$(14) \quad \Psi(t_i, t_j) = \frac{\tau}{2} \frac{\partial^2 u(x_i, \bar{t}_j)}{\partial t^2} - D \frac{h^2}{12} \frac{\partial^4 u(\bar{x}_i, \bar{t}_j)}{\partial x^4},$$

يعتمد على المشتقات الجزئية من حل مسألة القيمة الحدية (٣)-(٥)

$$\frac{\partial^2 u(x, t)}{\partial t^2}, \frac{\partial^4 u(x, t)}{\partial x^4}.$$

تقدير الخطأ (١٣)، والتعبير عن التقرير (١٤) يوضحان الأهمية والمعنى للمشتقات الجزئية لمسألة القيمة الحدية (٣)-(٥).

يوضح تقدير الخطأ (١٣) دور الخطوات للشبكة  $\tau$  و  $h$ . يمكن للمرء أن يلاحظ أنه إذا كان  $0 \rightarrow h \tau$ ، فإن خطأ الخل  $|u(x_i, t_j) - v_i^j|$  ويتقارب مخطط الفرق.

حتىً سوف يظهر سؤال جديد: متى يتم عمل تقارب مخطط الفرق وما نوع الشروط الواجب استيفائها؟ يعتمد الجواب على مخطط الفرق الملموس أو الحقيقى. سوف نعطي الآن جواباً في حالة وجود مخطط الفرق الصريح (١٠)-(١٢). ينبغي تحقيق الشرط الإضافي

$$(15) \quad D \frac{\tau}{h^2} \leq 1/2.$$

تبين أن هناك قيوداً على النسبة بين خطوات الشبكة  $\tau$  و  $h$ . لا يمكن أخذ الخطوات بدون قيد أو شرط. يسمى هذا الشرط: شرط الاستقرار. الاستقرار هو سمة هامة أخرى لمخطط الفرق. إذا لم يتم استيفاء شرط الاستقرار لن يتقارب مخطط الفرق ولا يمكن تطبيقه حل المسألة التفاضلية. سنعمل الآن على توضيح ما

يكمن في جذر الاستقرار. كما هو مبين سابقاً، تسمح مقدمة مخطط الفرق للمرء أن يحول حل المسألة المرتبطة بالمعادلة التفاضلية إلى مسألة جبرية. في هذه الحالة الشرط الحدسي والشروط الابتدائية، التي يتم استدعاؤها كافة في تكميلة البيانات المدخلة، يتم تحديدها مع خطأ معين. يسبب هذا الإجراء تكون أخطاء التقرير حتمية في عملية الحل العددي. بسبب هذا، فإنه يبدو من الطبيعي أن تتطلب تلك الأخطاء الصغيرة في تحديد مدخلات البيانات وينبغي أن لا تزيد خلال عملية التنفيذ والتبيّن في الاستدلال على خطأ. المخطّطات التي تنمو فيها الأخطاء الابتدائية خلال عملية الحسابات تبدو غير مستقرة، ومن وجهة نظر التطبيقات الممكنة، لا يمكن العثور على استجابة. يضمن شرط الاستقرار (١٥) بأن خطأ إدخال البيانات وأخطاء التقرير لن تنمو أثناء عملية الحسابات. مخطط الفرق الصريح (١٠)-(١٢) يسمى مخطط الفرق المستقر بشكل مشروط.

#### ٤ - مخطط الفرق الضمني The Implicit Difference Scheme

غالباً ما يطبق مخطط الفرق الضمني لحل المسائل التفاضلية. هذا المخطط يسمى مخطط الفرق الضمني البحث أيضاً. سوف نبدأ بمثال بسيط. عليه سوف نعتبر المسألة الحدية المثلثة لمعادلة الانتشار

$$(16) \quad \frac{\partial u}{\partial t} = D \frac{\partial^2 u}{\partial x^2} + f(x, t),$$

في مستطيل  $\{0 < x < d, 0 < t \leq T\}$  بالشرط الابتدائي  $u(x, 0) = \varphi(x)$ .

$$(17) \quad u(x, 0) = \varphi(x), \quad x \in [0, d].$$

### النوع جديد من الشرط الحدي

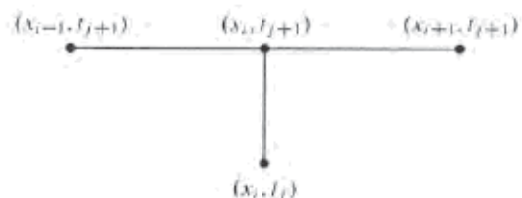
$$(18) \quad \frac{\partial u(0,t)}{\partial t} = \gamma_0(u(0,t) - u_0), \quad \frac{\partial u(d,t)}{\partial x} = \gamma_1(u(d,t) - u_1), \quad t \in [0, T].$$

هنا  $\gamma_0$  و  $\gamma_1$  هما الدوال المعطاة، و  $u_0$  و  $u_1$  هم البارامترات المعطاة. يتم استخدام الشرط الحدي مثل هذا النوع، على سبيل المثال، عندما تكون هناك تدفقات خلال الحد ومعدل التدفق  $du/dx$  يتتناسب مع فرق التركيز  $u_0 - u_1$  الداخل والخارج. المعنى الفيزيقي للدالة  $f(x, t)$  هو مصدر.

سوف نستخدم الآن تقنيات مخطط الفرق من أجل حل المسألة (٣)-(٥) إلى

(١٦)-(١٨). دعنا نقدم شبكة  $\bar{Q}_{ht} = \{(x_i, t_j) \in \bar{Q} : 0 \leq x \leq d, 0 \leq t \leq T\}$  بالخطوتين  $h$  و  $\tau$  على الاتجاهين  $Ox$  و  $Ot$  على التوالي. بطريقة مشابهة يمكن استبدال مسألة القيمة الحدية الابتدائية لمعادلة الانتشار بمعادلة الفرق باستخدام نمط مكون من أربع نقاط  $(x_{i-1}, t_{j+1}), (x_i, t_{j+1}), (x_{i+1}, t_{j+1})$  و  $(x_i, t_j)$  (الشكل رقم ٥). وهكذا، يتم تحويل المعادلة التفاضلية (١٦) إلى معادلة الفرق التالية

$$(19) \quad \frac{v_i^{j+1} - v_i^j}{\tau} = D \frac{v_{i+1}^{j+1} - 2v_i^{j+1} + v_{i-1}^{j+1}}{h^2} + f(x_i, t_j), \\ i=1, 2, \dots, n-1, \quad j=0, 1, \dots, m-1.$$



الشكل رقم (٥). نمط المخطط الضمني.

يتم تغيير الشروط الحدية والابتدائية بواسطة:

$$(20) \quad v_i^0 = \phi(x_i), \quad i = 0, 1, \dots, n.$$

و

$$(21) \quad \frac{v_1^j - v_0^j}{h} = \gamma_0(v_0^j - u_0), \quad \frac{v_n^j - v_{n-1}^j}{h} = \gamma_1(v_n^j - u_1), \quad j = 1, 2, \dots, m.$$

إن معادلة الفرق ضمنية وثنائية الطبقة. فمن السهل أن تظهر (على غرار معادلة الفرق الصريحة (١٠)) أن خطأ التقرير لمعادلة الفرق (١٩) هو  $O(\tau + h^2)$  والشرط الابتدائي (١٧) يتم تقريريه تماماً بالمعادلة (٢٠) وخطأ التقرير للشرط الحدي (١٨) هو  $O(h)$ . سوف نثبت فقط العبارة الأخيرة. سنعتبر شرط حد الجانب الأيسر

$$\frac{\partial u(0,t)}{\partial x} = \gamma_0(u(0,t) - u_0),$$

والشرط الحدي للفرق المناظر

$$\frac{v_1^j - v_0^j}{h} = \gamma_0(v_0^j - u_0).$$

نطور  $u(x)$  التالية في المتسلسلة بصيغة تايلور حتى مشتقات من الرتبة الثانية

$$u(x_1, t_j) = u(x_0 + h, t_j) = u(x_0, t_j) + h \frac{\partial u(x_0, t_j)}{\partial x} + \frac{h^2}{2} \frac{\partial^2 u(x_0, t_j)}{\partial x^2} + O(h^3).$$

إن هذا يُنتج

$$\frac{u(x_1, t_j) - u(x_0, t_j)}{h} = \gamma_0(u(x_0, t_j) - u_0) + \frac{h}{2} \frac{\partial^2 u(x_0, t_j)}{\partial x^2} + O(h^2)$$

عندما يتم استبدال القيمتين  $v_i^0$  و  $v_0^j$  في شرط حد فرق الجانب الأيسر المعادلة (٢١) بالقيم من حل المسألة (١٦)-(١٨)  $u(x_0, t_j)$  و  $u(x_1, t_j)$  على التوالي. فمن هذه

المساواة يتبع خطأ تقرير الشرط الحدي الرتبة  $O(h)$  إذا كان

$$\max \left| \frac{\partial^2 u(x, t)}{\partial x^2} \right| \leq c < \infty, \quad (x, t) \in \bar{Q}.$$

بطريقة مماثلة نستطيع أن ثبت خطأ التقرير لشرط حد الجانب الأيمن في المعادلة (١٨) بالمعادلة (٢١).

#### ٤،١ التقارب والاستقرار The Convergence and The Stability

إن مخطط الفرق الضمني (١٩)-(٢١) مستقر دون قيد أو شرط. قد تبين أنه لا توجد أية قيود على النسبة بين خطوات الشبكة  $\tau$  و  $h$ . يمكنأخذ الخطوات بدون أي قيود. إنها ميزة هامة جداً ومفيدة لمخطط الفرق الضمني.

يتقارب مخطط الفرق (١٩)-(٢١) وخطأ حل الفرق من الرتبة

$$O(\tau + h)$$

#### ٤،٢ الحساب لحل The Calculation of a Solution

يتم تنفيذ حساب حل مخطط الفرق (١٩)-(٢١) في طبقة الشبكة المتسلسلة واحدة بعد الأخرى. في بادي الأمر يتم حساب الخل على الطبقة صفر عند  $t = 0$  باستخدام الشرط الابتدائي (٢٠)

$$v_i^0 = \phi(x_i), \quad i = 0, 1, \dots, n$$

الآن، لنجعل الخل يكون محسوباً عند الطبقة  $t = ih - j$ . لذلك فإن القيم  $v_i^j$

بالنسبة  $i = 0, 1, \dots, n$  تكون معروفة. نمضي في حل معادلة الفرق (١٩)

خاضعة لقيمة  $v_i^{j+1}$  عند الطبقة  $th - 1 + j$ . معاملات معادلة الفرق (١٩) تتجه إلى ما لا نهاية إذا كانت  $h \rightarrow 0$ . يمكن أن تسبب هذه صعوبات كبيرة في الحساب؛ لهذا السبب يتم ضرب معادلات الفرق ببعض البارامترات من أجل اختزال قيم المعاملات. دعنا نضرب المعادلة (١٩) بخطوة الشبكة  $\tau$ . لدينا معادلة الفرق للطبقة

$$(٢٢) \quad \frac{d}{h^2} v_{i+1}^{j+1} - \left(1 + \frac{2\tau D}{h^2}\right) v_i^{j+1} + \frac{d}{h^2} v_{i-1}^{j+1} = -\tau f(x_i, t_j), \\ i = 1, 2, \dots, n-1.$$

دعا نضرب الشروط الخدية والابتدائية (٢١) بخطوة الشبكة  $h$  (من أجل تقليل المعاملات). هذا ينتج التالي

$$(٢٣) \quad v_1^{j+1} - (1 + h\gamma_0)v_0^{j+1} = -h\gamma_0 u_0, \quad v_n^{j+1} (1 - h\gamma_1) - v_{n-1}^{j+1} = -h\gamma_1 u_1.$$

إن معادلة الفرق (٢٢) مع الشرط الخديين (٢٣) تتضمن مجموعة

المعادلات الخطية  $n+1$  مع القيم المجهولة  $1$

$$v_i^{j+1}, \quad i = 0, 1, \dots, n.$$

دعنا نقدم الترميزات الجديدة

$$s_i = v_i^{j+1}, \quad i = 0, 1, \dots, n. \\ a_i = b_i \frac{d}{h^2}, \quad c_i = 1 + \frac{2\tau D}{h^2}, \quad \bar{f}_i = -\tau f(x_i, t_j), \quad i = 1, 2, \dots, n-1, \\ \beta_1 = \frac{1}{1 + h\gamma_0}, \quad \beta_2 = \frac{1}{1 - h\gamma_1}, \quad \mu_1 = \frac{h\gamma_0 u_0}{1 + h\gamma_0}, \quad \mu_2 = \frac{h\gamma_1 u_1}{h\gamma_1 - 1}$$

إذا كانت  $0 \neq 1 - h\gamma_1$  و  $0 \neq 1 + h\gamma_1$ . في تكميلة المجموعة (٢٢)، و (٢٣)

تشتق الصورة

$$(24) \quad a_i s_{i-1} - c_i s_i + b_i s_{i+1} = \bar{f}_i, \quad i=1,2,\dots,n-1,$$

$$(25) \quad s_0 = \beta_1 s_1 + \mu_1,$$

$$(26) \quad s_n = \beta_2 s_{n-1} + \mu_2.$$

الآن نعيد كتابة هذه المجموعة في الشكل الاتجاهي. لهذا الغرض نقدم

مصفوفة  $C$ ، والتجهيات  $S$  و  $F$  كالتالي

$$C = \begin{pmatrix} 1 & -\beta_1 & 0 & \dots & 0 & 0 & 0 & \dots & 0 & 0 & 0 \\ a_1 & -c_1 & b_1 & \dots & 0 & 0 & 0 & \dots & 0 & 0 & 0 \\ \dots & \dots \\ 0 & 0 & 0 & \dots & a_i & -c_i & b_i & \dots & 0 & 0 & 0 \\ \dots & \dots \\ 0 & 0 & 0 & \dots & 0 & 0 & 0 & \dots & a_{n-1} & -c_{n-1} & b_{n-1} \\ 0 & 0 & 0 & \dots & 0 & 0 & 0 & \dots & 0 & -\beta_2 & 1 \end{pmatrix},$$

$$S = \begin{pmatrix} s_0 \\ s_1 \\ \vdots \\ s_i \\ \vdots \\ s_{n-1} \\ s_n \end{pmatrix},$$

$$\mathbf{F} = \begin{pmatrix} \mu_1 \\ \bar{f}_1 \\ \vdots \\ \bar{f}_i \\ \vdots \\ \bar{f}_{n-1} \\ \mu_2 \end{pmatrix},$$

بمساعدة هذه الرموز نحصل على التالي

$$(27) \quad CS = \mathbf{F}.$$

يمكن للمرء أن يلاحظ أن الصفوف الأولى والأخيرة من المصفوفة  $C$  تتكون من معاملين غير الصفر والصفوف الباقية من ثلاثة معاملات غير الصفر، ومجموعة المعادلات الخطية تكون بمصفوفة ثلاثة قطرية. الخطوة التالية هي إحصاء القيم  $\lambda_i^{(j)}$  أو  $\lambda_i^{(j+1)}$ . كما يمكن للمرء أن يلاحظ بسهولة، أن حل مخطط الفرق الضمني يمكن احتزائه إلى صنف منمجموعات المعادلات الخطية من نوع خاص. نحصل على مجموعة المعادلات الخطية لكل طبقة، بدءاً من الطبقة الأولى  $L_1 = z$ . قد تبين أنه من الممكن استخدام هذه الميزة لتطبيق طريقة اقتصادية خاصة لحل هذه المجموعة. تعني الطريقة الاقتصادية أن الوقت التي تتطلبها هو أقل وقت تنفيذ لإعطاء حل لمجموعة المعادلات الخطية. يتضمن متغير  $variant$  تدفق طريقة الحذف إلى الطرق الاقتصادية. يجدر التأكيد على أن عدد العمليات الحسابية، وهو أمر ضروري لحل هذه المجموعة، الذي يتنااسب مع عدد القيم المجهولة. هكذا يمكننا التتبؤ، أنه حل مسألة القيمة الحدية يتم تطبيق مخطط الفرق الضمني، وعليه لحل مجموعة المعادلات

الخطية المتحصل عليها، فإنه يتم تطبيق متغير تدفق طريقة الحذف، ومن ثم يتناسب عدد العمليات الحسابية، الضروري لحساب القيم  $v_i^{j+1}$ ,  $i = 0, 1, \dots, n$ ,  $j = 0, 1, \dots, m$ , مع عدد القيم المجهولة  $(m+1)(n+1)$ . الآن سوف نواصل حل مخطط الفرق عن طريق تطوير متغير تدفق طريقة الحذف.

## ٥ - طريقة الحذف لمجموعة المعادلات الخطية

### The Elimination Method for the System of Linear Equations

يتم تكريس هذا المقطع لطريقة حذف خاصة (متغير التدفق لطريقة الحذف) من أجل حل مجموعة معادلات خطية بمصفوفات ثلاثة قطرية. قد تم تطوير مجموعة المعادلات الخطية بمصفوفات ثلاثة قطرية عن طريق بناء مخطط الفرق لحل المسائل التفاضلية المختلفة. لقد حصلنا أعلاه على مثل هذه المجموعة لحل مسألة القيمة الحدية بالنسبة لمعادلة الانتشار. سنتعرف الآن بمجموعة المعادلات الخطية

$$(28) \quad a_i s_{i-1} - c_i s_i + b_i s_{i+1} = f_i, \quad i = 1, 2, \dots, n-1,$$

$$(29) \quad s_0 = \beta_1 s_1 + \mu_1,$$

$$(30) \quad s_n = \beta_2 s_{n-1} + \mu_2.$$

فمن السهل ملاحظة أن للمعادلة الأولى والأخيرة معاملين غير صفررين يختلفان معادلات بثلاثة معاملات غير صفرية ومجموعة المعادلات الخطية بالمصفوفة الثلاثية القطرية.

ننتقل الآن إلى حل المجموعة. سنعمل الآن على حذف القيمة  $s_0$  في المعادلة  $(28)$  لـ  $i=1$  بمساعدة المساواة لالمعادلة  $(29)$ . وهكذا

$$(a_1\beta_1 - c_1)s_1 + b_1s_2 = f_1 - a_1\mu_1.$$

نفترض  $a_1\beta_1 - c_1 \neq 0$ . وهذا يُنتج المعادلة التالية

$$(31) \quad s_1 = d_2s_2 + e_2,$$

حيث إن

$$(32) \quad d_2 = \frac{b_1}{c_1 - a_1\beta_1}, \quad e_2 = \frac{a_1\mu_1 - f_1}{c_1 - a_1\beta_1}.$$

سنفترض العلاقة التكرارية

$$s_{i-1} = d_i s_i + e_i,$$

لتكون صحيحة. الهدف هو الحصول على علاقة جديدة

$$(33) \quad s_i = d_{i+1}s_{i+1} + e_{i+1},$$

بالمعاملات غير المحددة  $d_{i+1}$  و  $e_{i+1}$ . باستبدال

$$s_{i-1} = d_i s_i + e_i,$$

في المعادلة  $(28)$  يُنتج التالي

$$(a_i d_i - c_i) s_i + b_i s_{i+1} = f_i - a_i e_i.$$

.  $a_i d_i - c_i \neq 0$  إذا افترضنا أن

من ثم تكون المعاملات

$$(34) \quad d_{i+1} = \frac{b_i}{c_i - d_i a_i},$$

$$(35) \quad e_{i+1} = \frac{a_i e_i - f_i}{c_i - d_i a_i}, \quad i = 2, 3, \dots, n-1$$

وهكذا، تؤسس صيغ التكرار لتحديد كل من  $d_i$  و  $e_i$ . ننتقل الآن إلى تحديد  $s_i$ .

يتم استخلاص القيمة  $s_n$  من مجموعة المعادلات التالية

$$s_n = \beta_2 s_{n-1} + \mu_2,$$

$$s_{n-1} = d_n s_n + e_n$$

$$\text{تحت القيد } 1 - d_n \beta_2 \neq 0$$

لذلك فإن القيمة  $s_n$  تساوي

$$(36) \quad s_n = \frac{\mu_2 + \beta_2 e_n}{1 - d_n \beta_2}.$$

الآن يمكننا حساب القيم  $s_i$  و  $s_1$  باستخدام

$$(37) \quad s_i = d_{i+1} s_{i+1} + e_{i+1},$$

لـ  $i = n-1, n-2, \dots, 1$ ، والقيمة  $s_0$  من خلال استخدام

$$(38) \quad s_0 = \beta_1 s_1 + \mu_1.$$

بالمرور من خلال هذه المسألة زمنياً لإيجاد المعاملات بالصيغ (٣٢)، (٣٤)،

(٣٥)  $d_i$  و  $e_i$  يسمى مسار الحذف الأمامي، وإيجاد القيم  $s_i$  بالصيغ (٣٦) – (٣٨)

يسمي مسار الحذف الخلفي.

إن الخوارزمية الواردة أدناه تسمى طريقة الحذف الأيمن وتوضح المدخل

للحالة العامة:

$$\begin{aligned}\overrightarrow{d_{i+1}} &= \frac{\overrightarrow{b_i}}{c_i - d_i a_i}, \quad \overrightarrow{e_{i+1}} = \frac{\overrightarrow{a_i e_i} - \overrightarrow{f_i}}{c_i - d_i a_i}, \quad i = 2, 3, \dots, n-1, \\ s_n &= \frac{\mu_2 + \beta_2 e_n}{1 - d_n \beta_2}, \\ \overleftarrow{s_i} &= d_{i+1} s_{i+1} + e_{i+1}, \quad i = n-1, n-2, \dots, 1, \\ s_0 &= \beta_1 s_1 + \mu_1.\end{aligned}$$

هنا تُشير الرموز ( $\leftarrow$ ) و ( $\rightarrow$ ) إلى اتجاهات إحصاء الدليل: إما من  $i$  إلى  $i+1$  وإما من  $i$  إلى  $i+1$ .

يمكن تطبيق طريقة متغير التدفق لحل مخطط الفرق الضمني (٢١)-(٢٣) لإحصاء في كل طبقة ابتداءً من  $1 = r$  حتى  $m = j$ . لقد تم تحويل المخطط (٢٣)-(٢٥) إلى مجموعة المعادلات الخطية (٢٦)-(٢٩) بمصفوفات ثلاثة قطبية. يتم حل هذه المجموعة بمتغير التدفق. وبناءً على ذلك، يتم تقديم طريقة الحل للمخطط الفرق الضمني (٢١)-(٢٣) إجمالاً.

## ١٥ استقرار طريقة الحذف Stability of the Elimination Method

الآن سوف نناقش مسألة تأثير أخطاء المعاملات  $a_i, b_i, c_i$  و  $\beta_i$  على خطأ الحل  $s_i$ . استقرار الطريقة لحل مجموعة المعادلات الخطية يعني أن خطأ المعاملات  $a_i, b_i, c_i$  و  $\beta_i$  جنباً إلى جنب مع حساب خطأ التناقض الدوري، من الناحية العملية لا يؤثر على النتيجة النهائية. إذا كانت الطريقة لحل مجموعة المعادلات الخطية غير مستقرة، فإنها تعني أن خطأ المعاملات  $a_i, b_i, c_i$  و  $\beta_i$  جنباً إلى جنب مع حساب خطأ التناقض الدوري، سيكون تأثيرها كبيراً على النتيجة النهائية، والقيم  $s_i$  يمكن أن تكون مختلفة كثيراً عن الحل المضبوط. سنتعطي فقط شرطاً كافياً لتحقيق استقرار طريقة

الهدف دون برهان. تتضمن الممارسة الشائعة شروطًا كافية

$$\begin{aligned} |c_i| &\geq |a_i| + |b_i|, \quad i = 1, 2, \dots, n-1, \\ |\beta_k| &\leq 1, \quad k = 1, 2, \quad |\beta_1| + |\beta_2| < 2. \end{aligned}$$

مخططات الفرق، قيد الدراسة في هذا الكتاب، تولد الأنظمة الخطية، التي تستوفي الشروط الكافية.

#### ٦ - مخطط فرق كرانك-نيكلسون The Crank – Nicolson Difference Scheme

مخطط فرق كرانك-نيكلسون هو من بين أكثر طرق الفرق الصالحة للاستعمال. سوف نفحص مثال لمسألة القيمة الحدية لمعادلة الانتشار. بذلك، سوف نعتبر مسألة القيمة الحدية

$$(39) \quad \frac{\partial u}{\partial t} = D \frac{\partial^2 u}{\partial x^2},$$

في مستطيل  $Q = \{0 < x < d, 0 < t \leq T\}$  بالشرط الابتدائي  $u(x, 0) = \varphi(x)$ .

$$(40) \quad u(x, 0) = \varphi(x), \quad x \in [0, d],$$

ونوع جديد للشرط الحدي

$$(41) \quad \frac{\partial u(0, t)}{\partial x} = 0, \quad u(d, t) = \psi(t), \quad t \in [0, T].$$

هنا  $\varphi(x)$  و  $\psi(t)$  دوال معطاة. الشرط الحدي مثل هذا النوع يتم استخدامها، على سبيل المثال، عندما لا يكون هناك تدفق خلال الحد  $x = 0$ ، والتركيب  $u(d, t)$ ، فإنه معطى عند الحد الآخر  $x = d$  ويساوي  $\psi(t)$  لكل لحظة من الزمن  $t$ .

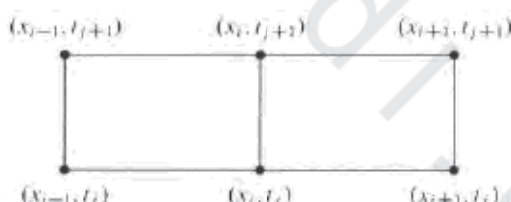
الآن سنقوم بتطبيق تقنية خطط الفرق المطور في وقت سابق لحل المسألة (٣٩)-(٤١). دعونا نقدم شبكة  $\bar{Q}_{ht} = \{(x_i, t_j) \in \bar{Q}\}$  بخطوات  $h$  و  $\tau$  على طول الاتجاهين  $Ox$  و  $Ot$ ، على التوالي في المستطيل  $\bar{Q} = \{0 \leq x \leq d, 0 \leq t \leq T\}$ . بطريقة مشابهة يمكن استبدال مسألة القيمة الحدية لمعادلة الانتشار بمعادلة الفرق باستخدام نمط يتكون من ست نقاط شبکية.

$$(x_{i-1}, t_j), (x_i, t_j), (x_{i+1}, t_j), (x_{i-1}, t_{j+1}), (x_i, t_{j+1}), (x_{i+1}, t_{j+1})$$

(الشكل رقم ٦). يتم استبدال معادلة الانتشار (٣٩) بمعادلة الفرق

$$(42) \quad \frac{v_i^{j+1} - v_i^j}{\tau} = \frac{D}{2} \left( \frac{v_{i+1}^{j+1} - 2v_i^{j+1} + v_{i-1}^{j+1}}{h^2} + \frac{v_{i+1}^j - 2v_i^j + v_{i-1}^j}{h^2} \right)$$

$$i = 1, 2, \dots, n-1, \quad j = 0, 1, \dots, m-1.$$



الشكل رقم (٦). نموذج خطط الفرق كرانك-نيكلسون.

يتم تغيير الشرط الابتدائي (٤٠) بـ

$$(43) \quad v_i^0 = \varphi(x_i), \quad i = 0, 1, \dots, n$$

والشروط الحدية (٤١)

$$(44) \quad \frac{v_1^j - v_0^j}{h} = 0, \quad v_n^j = \psi(t_j), \quad j = 1, 2, \dots, m.$$

مخطط الفرق (٤٢) - (٤٤) ضمني وثنائي الطبقة.

من السهل تبين أن معادلة الفرق (٤٢) تُقدم تقريرًا لمعادلة الانتشار (٣٩) من الرتبة  $O(t^2 + h^2)$  إذا كانت المشتقات الجزئية للدالة  $u(x, t)$  تحقق المتباينات.

$$\max \left| \frac{\partial^3 u(x, t)}{\partial t^3} \right|, \max \left| \frac{\partial^4 u(x, t)}{\partial x^4} \right| = c < \infty$$

في المنطقة  $\bar{Q}$ . يتم تقرير الشرط الابتدائي (٤٠) بالمعادلة (٤٣) تماماً وخطا التقرير للشرط الحدي (٤٤) هو  $O(h)$  (بشكل ماثل لـ (١٨)، (٢١)).

## ٦. الحساب حل The Calculation of a Solution

طريقة الحساب مشابهة جداً لتلك الموجودة في مخطط الفرق الضمني (١٩) - (٢١). يتم تنفيذ حساب مخطط فرق كرانك - نيكلسون (٤٢) - (٤٤) في طبقة شبكة متسلسلة واحدة تلو الأخرى. في البداية يتم حساب الخل على الطبقة صفر عند  $i=0$  باستخدام الشرط الابتدائي (٤٣)

$$v_i^0 = \varphi(x_i), \quad i = 0, 1, \dots, n$$

الآن، نفترض، أنه يتم حساب الخل  $v_i^j$  في الطبقة  $th-j$ . لذا، فإن القيم  $v_i^{j+1}$  لـ  $i = 0, 1, \dots, n$  معروفة. نمضي في حل معادلة الفرق (٤٢) الخاضعة لقيمة  $v_i^{j+1}$  في طبقة  $th-j$ . تتجه معاملات معادلة الفرق (٤٢)، والشرط الحدي في الجانب الأيسر (٤٤) إلى ما لا نهاية إذا كانت  $h \rightarrow 0$ . هذه يمكن أن تسبب صعوبات كبيرة في الحساب. لهذا السبب يتم ضرب معادلات الفرق بخطوة الشبكة  $z$  ، والشرط الحدي بخطوة الشبكة  $h$ . هذا يُنتج

$$(45) \quad v_i^{j+1} = v_i^j + \frac{\pi D}{2} \left( \frac{v_{i+1}^{j+1} - 2v_i^{j+1} + v_{i-1}^{j+1}}{h^2} + \frac{v_{i+1}^j - 2v_i^j + v_{i-1}^j}{h^2} \right),$$

$$i = 1, 2, \dots, n-1,$$

والشرط الحدي للطبقة  $j+1-th$

$$(46) \quad v_0^{j+1} = v_1^{j+1}, \quad v_n^{j+1} = \psi(t_{j+1}), \quad j = 1, 2, \dots, m-1.$$

معادلة الفرق والشرط الحدي جنباً إلى جنب يؤسسان مجموعة المعادلات

الخطية  $n+1$  مع قيم مجهولة  $n+1$ .

$$v_i^{j+1}, \quad i = 0, 1, \dots, n$$

دعنا نعيد كتابة هذه المجموعة في شكل مناسب لإيجاد الحل بمتغير تدفق

طريقة الخذف. لهذا الغرض نقدم الترميزات التالية

$$\begin{aligned} s_i &= v_i^{j+1}, \quad i = 0, 1, \dots, n, \\ a_i &= b_i = \frac{\pi D}{2h^2}, \quad c_i = 1 + \frac{\pi D}{h^2}, \quad i = 1, 2, \dots, n-1, \end{aligned}$$

$$\beta_1 = 1, \quad \beta_2 = 0, \quad \mu_1 = 0, \quad \mu_2 = \psi(t_{j+1}),$$

$$f_i = -v_i^j \left( 1 - \frac{\pi D}{h^2} \right) - \frac{\pi D}{2h^2} (v_{i+1}^j + v_{i-1}^j),$$

$$i = 1, 2, \dots, n-1.$$

بمساعدة هذه الترميزات تأخذ مجموعة المعادلات الخطية (45)، (46) الشكل

$$(47) \quad s_0 = \beta_1 s_1 + \mu_1,$$

$$(48) \quad a_i s_{i-1} - c_i s_i + b_i s_{i+1} = f_i, \quad i = 1, 2, \dots, n-1,$$

$$(49) \quad s_m = \beta_2 s_{m-1} + \mu_2.$$

إن المعادلتين الأولى والأخيرة تتكونان من قيمتين مجهولتين، وللالمعادلات المتبقية ثلاثة قيم مجهولة. نتيجة لذلك، تكون مجموعة المعادلات الخطية بمصفوفة

ثلاثية قطرية

$$B = \begin{pmatrix} 1 & -1 & 0 & \dots & 0 & 0 & 0 & \dots & 0 & 0 & 0 \\ a_1 & -c_1 & b_1 & \dots & 0 & 0 & 0 & \dots & 0 & 0 & 0 \\ \dots & \dots \\ 0 & 0 & 0 & \dots & a_i & -c_i & b_i & \dots & 0 & 0 & 0 \\ \dots & \dots \\ 0 & 0 & 0 & \dots & 0 & 0 & 0 & \dots & a_{n-1} & -c_{n-1} & b_{n-1} \\ 0 & 0 & 0 & \dots & 0 & 0 & 0 & \dots & 0 & 0 & 1 \end{pmatrix}.$$

الآن يمكن تطبيق طريقة متغير التدفق حل المجموعة (٤٢)-(٤٤) وكذلك حسابات القيم  $s_i = v_i^{j+1}$  لـ  $i = 0, 1, \dots, n$ . لقد انتهت الإحصاء أو العد حل الفرق على الطبقه  $-j$ ، سوف نستمر بطريقة مماثلة حتى نصل إلى الطبقه الأخيرة  $-th$ ، وبذلك تنتهي طريقة حل مخطط فرق كرانك-نيكلسون.

## ٦،٢ التقارب والاستقرار The Convergence and the Stability

مخطط فرق كرانك-نيكلسون (٤٢)-(٤٤) مستقر دون قيد أو شرط. وقد تبين أنه لا يوجد أي قيد على النسبة بين خطوات الشبكة  $\tau$  و  $h$ . يمكن اتخاذ الخطوات دون أي قيود. هي ميزة مفيدة ومهمة جداً لمخطط فرق كرانك-نيكلسون.

يتقارب خطط الفرق (٤٢) - (٤٤) ويكون خطأ حل الفرق من الرتبة

$$O(\tau^2 + h^2)$$

## ٧ - خطط الفرق مع الأوزان The Difference Scheme with the Weights

إن خطط الفرق بالأوزان هو شكل عام للمخططات السابقة، تم تطبيقه على معادلة الانتشار. خطط بمعادلة الفرق ثنائية الطبقة.

هنا سوف نناقش فقط مسألة الاستبدال لمعادلة الانتشار ولكن نعتبر مسألة التقرير للشروط الحدية الابتدائية. سوف نستخدم نموذجاً يحتوي على ست نقاط شبكية:

$$(x_{i-1}, t_j), (x_i, t_j), (x_{i+1}, t_j), (x_{i-1}, t_{j+1}), (x_i, t_{j+1}), (x_{i+1}, t_{j+1}).$$

يتم استبدال معادلة الانتشار

$$\frac{\partial u(x_i, t_j)}{\partial t} = D \frac{\partial^2 u(x_i, t_j)}{\partial x^2},$$

بمعادلة الفرق وها الشكل

$$\frac{v_i^{j+1} - v_i^j}{\tau} = \sigma \frac{v_{i+1}^{j+1} - 2v_i^{j+1} + v_{i-1}^{j+1}}{h^2} + (1-\sigma) \frac{v_{i+1}^j - 2v_i^j + v_{i-1}^j}{h^2},$$

$$i = 1, 2, \dots, n-1, \quad j = 0, 1, \dots, m-1,$$

حيث إن  $\sigma$  بارامتر حقيقي اختياري arbitrary real parameter

يتم تحويل معادلة الفرق إلى معادلة فرق صريحة إذا كانت  $\sigma = 0$ ، وإلى معادلة

فرق ضمنية إذا كانت  $\sigma = 1$ ، وإلى معادلة فرق ضمنية إذا كانت  $\sigma \neq 0$ ، وإلى

معادلة فرق كرانك - نيكلسون إذا كانت  $\sigma = 1/2$ .

بطريقة مشابهة يمكن للمرء ملاحظة أن خطأ التقرير يكون  $O(\tau^2 + h^2)$  لـ

$\sigma = 1/2$  إذا كانت المشتقات الجزئية للدالة  $u(t,x)$  تحقق المتباينة

$$\max \left| \frac{\partial^3 u(x,t)}{\partial t^3} \right|, \max \left| \frac{\partial^4 u(x,t)}{\partial x^4} \right| = c < \infty,$$

وخطأ التقرير هو  $O(\tau^2 + h^2)$  لـ  $\sigma = 1/2$  إذا كانت المشتقات الجزئية للدالة  $u(t,x)$  تتحقق المتباينة

$$\max \left| \frac{\partial^2 u(x,t)}{\partial t^2} \right|, \max \left| \frac{\partial^4 u(x,t)}{\partial x^4} \right| = c < \infty$$

في منطقة الفحص.

كما حدث في الحالات السابقة لابد من إضافة الشروط الحدية والابتدائية لاستكمال مخطط الفرق. إجراء عملية حسابية مشابهة جداً لتلك الموجودة في مخطط الفرق الضمني البحث أو في مخططات فرق كرانك-نيكلسون. يتم تنفيذ العملية الحسابية لمخطط الفرق بالأوزان في طبقة شبكة متسلسلة واحدة تلو الأخرى. في البداية يتم حساب الخل على الطبقة صفر عند  $t=0$  باستخدام الشرط الابتدائي. يتم حساب الخل على الطبقات التالية بنفس الطريقة فيما يتعلق بنوع الشروط الحدية.

## ١٧. التقارب والاستقرار

لمخطط الفرق مع الأوزان شروط الاستقرار التالية:

أ) إذا كانت  $\frac{1}{2} \geq \sigma$  فإن المخطط يكون مستقراً لأي  $\tau$  و  $h$ .

ب) إذا كانت  $\frac{1}{2} < \sigma < 0$ , فإن المخطط يكون مستقراً بشكل مشروط

وخطوات الشبكة يجب أن تتحقق المتباينة

$$\frac{D\tau}{h^2} \leq \frac{1}{2(1-2\sigma)}.$$

قد تبيّن أنّه ليس هناك أيّ قيود على النسبة بين خطوط الشبكة  $\tau$  و  $h$ .

$$\sigma \geq \frac{1}{2}.$$

يمكن اتّخاذ الخطوط بدون أيّ قيود. هي ميزة هامة جدّاً ومفيدة لمخطط الفرق بالأوزان.

إنّ مخطط الفرق بالأوزان يتقرب ويعتمد المخطّط حل الفرق على خطاء التقرّيب لمعادلة الانتشار ، والشروط الحدية والابتدائية.

#### ٨- مخطط فرق كرانك - نيكلسون على شبكة غير متساوية البعد

**The Crank – Nicolson Difference Scheme on Non-equidistance Grid**

يتناول هذا المقطع مخطط فرق كرانك - نيكلسون على شبكة غير متساوية بعد. تلعب الشبكة غير متساوية بعد دوراً هاماً عندما تكون الأوساط غير متتجانسة أو هندسة المساحة قيد الفحص معقدة. سنعمل الآن على اعتبار مسألة القيمة الحدية

$$(50) \quad \frac{\partial u}{\partial t} = D \frac{\partial^2 u}{\partial x^2},$$

في مستطيل  $\Omega = \{0 < x < d, 0 < t \leq T\}$  مع الشرط الابتدائي  $u(x, 0) = \varphi(x)$ .

$$(51) \quad u(x, 0) = \varphi(x), \quad x \in [0, d],$$

والشرط الحدي

$$(52) \quad \frac{\partial u(0, t)}{\partial x} = 0, \quad u(d, t) = \psi(t), \quad t \in [0, T].$$

هنا  $\varphi(x)$  و  $\psi(t)$  دوال معطاة.

الآن سنقوم بتطبيق تقنية خطط الفرق المطور في وقت سابق لحل المسألة

(٥٠)-(٥٢). دعنا نقدم شبكة غير متساوية البعد  $\{(x_i, t_j) \in \bar{Q}\}$  بالخطوات

و  $t_{j-1} = t_j - \tau_i$  على طول الاتجاهين  $Ox$  و  $Ot$ ، على التوالي في المستطيل

$\bar{Q} = \{0 \leq x \leq d, 0 \leq t \leq T\}$ . تعتمد خطوات الشبكة على الحروف التحتية  $i$  و  $j$ .

ينبغي أن تستوفي الخطوات شرطي التعديل  $d = \sum_{i=1}^m h_i$  و  $T = \sum_{j=1}^n \tau_j$ .

يمكن بطريقة مشابهة استبدال مسألة القيمة الحدية لمعادلة الانتشار بمعادلة

فرق باستخدام نموذج يتكون من نقاط الشبكة الست

$$(x_{i-1}, t_j), (x_i, t_j), (x_{i+1}, t_j), (x_{i-1}, t_{j+1}), (x_i, t_{j+1}), (x_{i+1}, t_{j+1}).$$

يتم استبدال معادلة الانتشار (٥٠) بمعادلة الفرق

$$(53) \quad \frac{v_i^{j+1} - v_i^j}{\tau_{j+1}} = \frac{D}{2\hat{h}_i} \left( \frac{v_{i+1}^{j+1} - v_i^{j+1}}{h_i} - \frac{v_i^{j+1} - v_{i-1}^{j+1}}{h_{i-1}} + \frac{v_{i+1}^j - v_i^j}{h_i} - \frac{v_i^j - v_{i-1}^j}{h_{i-1}} \right),$$

$$i = 1, 2, \dots, n-1, \quad j = 0, 1, \dots, m-1,$$

$$\text{حيث إن } \hat{h}_i = (h_i + h_{i-1})/2.$$

يتم تغيير الشرط الابتدائي (٥١) بـ

$$(54) \quad v_i^0 = \varphi(x_i), \quad i = 0, 1, \dots, n,$$

والشروط الحدية (٥٢) بـ

$$(55) \quad \frac{v_1^j - v_0^j}{h_1} = 0, \quad v_n^j = \psi(t_j), \quad j = 1, 2, \dots, m.$$

إن خطط الفرق (٥٣)-(٥٥) ضمني وثنائي الطبقة.

من السهل أن ترى أن معادلة الفرق (٥٣) تقدم تقريراً لمعادلة الانتشار من الرتبة (٥٠) إذا كانت المشتقات الجزئية من الدالة  $u(t, x)$  تتحقق المتباينات

$$\max \left| \frac{\partial^3 u(x,t)}{\partial t^3} \right|, \quad \max \left| \frac{\partial^3 u(x,t)}{\partial x^3} \right| = c < \infty,$$

في المنطقة  $\bar{Q}$ ، حيث إن

$$\tau_{\max} = \max \{ \tau_j, j = 1, 2, \dots, m \}, \quad h_{\max} = \max \{ h_i, i = 1, 2, \dots, n \}.$$

الشرط الابتدائي (٥١) مُقارب من قبل (٤٤) تماماً، وخطأ التقرير للشرط الحدي (٥٥) هو  $O(h_1)$ .

### ١٨. الحساب لحل The Calculation of Solution

إن إجراء العملية الحسابية مشابه جداً لتلك الموجودة في خطط فرق كرانك-نيكلسون (٤٤)-(٤٦). يتم تنفيذ حساب خطط الفرق (٥٣)-(٥٥) في طبقة شبكة متسلسلة واحدة تلو الأخرى. في البداية يتم حساب الخل على الطبقة صفر عند  $t = 0$  باستخدام الشرط الابتدائي (٤٤)

$$v_i^0 = \varphi(x_i), \quad i = 0, 1, \dots, n.$$

الآن، يفترض، أن الخل  $v_i^j$  محسوب على الطبقة  $th - j$ . وهكذا، فإن القيم  $v_i^{j+1}$  لـ  $i = 0, 1, \dots, n$  معروفة. نمضي في حل معادلة الفرق (٥٣) الخاضعة لقيمة  $v_i^{j+1}$  في الطبقة  $th - j$ . تتجه معاملات معادلة الفرق (٥٣)، والشرط الحدي في الجانب الأيسر (٥٥) إلى ما لا نهاية إذا كانت  $h_i \rightarrow 0$ . هذه يمكن أن تسبب صعوبات كبيرة في الحساب؛ لهذا السبب يتم ضرب معادلات الفرق بخطوة الشبكة  $h_{i+1}$ ،

والشرط الحدي بخطوة الشبكة  $h_1$ . هذا يُنتج التالي

$$(56) \quad v_i^{j+1} = v_i^j + \frac{\tau_{j+1}D}{2\hat{h}_i} \left( \frac{v_{i+1}^{j+1} - v_i^{j+1}}{h_i} - \frac{v_i^{j+1} - v_{i-1}^{j+1}}{h_{i-1}} + \frac{v_{i+1}^j - v_i^j}{h_i} - \frac{v_i^j - v_{i-1}^j}{h_{i-1}} \right), \\ i = 1, 2, \dots, n-1,$$

والشرط الحدي للطبقة  $j+1-th$

$$(57) \quad v_0^{j+1} = v_1^{j+1}, \quad v_n^{j+1} = \psi(t_{j+1}), \quad j = 1, 2, \dots, m-1.$$

معادلة الفرق مع الشرط الحدي جنباً إلى جنب تؤسسان مجموعة المعادلات الخطية

$n+1$  بقيم مجهولة

$$v_i^{j+1}, \quad i = 0, 1, \dots, n.$$

دعنا نعيد كتابة هذه المجموعة في شكل مناسب للحل بمتغير تدفق بطريقة

الحذف. لهذا الغرض نقدم الترميزات التالية

$$s_i = v_i^{j+1}, \quad i = 0, 1, \dots, n, \\ a_i = \frac{\tau_{j+1}D}{2\hat{h}_i h_{i-1}}, \quad b_i = \frac{\tau_{j+1}D}{2\hat{h}_i h_i}, \\ c_i = 1 + \frac{\tau_{j+1}D}{h_i h_{i-1}}, \quad i = 1, 2, \dots, n-1,$$

$$\beta_1 = 1, \quad \beta_2 = 0, \quad \mu_1 = 0, \quad \mu_2 = \psi(t_j),$$

$$f_i = -v_i^j \left( 1 - \frac{\tau_{j+1}D}{h_i h_{i-1}} \right) - b_i v_{i+1}^j - c_i v_{i-1}^j,$$

$$i = 1, 2, \dots, n-1.$$

بمساعدة هذه الترميزات تأخذ مجموعة المعادلات الخطية (٥٦)، (٤٦)

الشكل التالي

$$(٥٨) \quad s_0 = \beta_1 s_1 + \mu_1,$$

$$(٥٩) \quad a_i s_{i-1} - c_i s_i + b_i s_{i+1} = f_i, \quad i = 1, 2, \dots, n-1,$$

$$(٦٠) \quad s_m = \beta_2 s_{m-1} + \mu_2.$$

إن المعادلتين الأولى والأخيرة تتكونان من قيمتين مجهولتين، وللالمعادلات

الباقية ثلاثة قيم مجهولة؛ ونتيجة لذلك، فإن مجموعة المعادلات الخطية هي

بالمصفوفة الثلاثية القطرية

$$B = \begin{pmatrix} 1 & -1 & 0 & \dots & 0 & 0 & 0 & \dots & 0 & 0 & 0 \\ a_1 & -c_1 & b_1 & \dots & 0 & 0 & 0 & \dots & 0 & 0 & 0 \\ \dots & \dots \\ 0 & 0 & 0 & \dots & a_i & -c_i & b_i & \dots & 0 & 0 & 0 \\ \dots & \dots \\ 0 & 0 & 0 & \dots & 0 & 0 & 0 & \dots & a_{n-1} & -c_{n-1} & b_{n-1} \\ 0 & 0 & 0 & \dots & 0 & 0 & 0 & \dots & 0 & 0 & 1 \end{pmatrix}.$$

الآن يمكن تطبيق طريقة متغير التدفق لحل المجموعة (٤٢)-(٤٤) وكذلك

حسابات القيم  $s_i = v_i^{j+1}$  لـ  $i = 0, 1, \dots, n$ . لقد انتهى الإحصاء لحل الفرق على

الطبقة  $th$ -ز. سوف نستمر بطريقة مماثلة حتى نصل إلى الطبقة الأخيرة  $n-th$ .

بذلك تنتهي طريقة حل مخطط فرق كرانك-نيكلسون.

## ٨ ، التقارب والاستقرار The Convergence and the Stability

مخطط فرق كرانك - نيكلسون (٥٣) - (٥٥) مستقر دون قيد أو شرط. قد تبين أنه ليس هناك أي قيود على النسبة بين خطوات الشبكة  $\tau$  و  $h$ . يمكن اتخاذ الخطوات دون أي قيود. هي ميزة مهمة جداً ومفيدة لمخطط فرق كرانك - نيكلسون.

تقرب مجموعة الفرق (٥٣) - (٥٥) ويكون خطأ حل الفرق من الرتبة

$$O(\tau^2 + h)$$

## ٩ - مخطط الفرق الصريح في الإحداثيات الأسطوانية

### The Explicit Difference Scheme in the Cylindrical Coordinates

الآن نعتبر معادلة الانتشار في الإحداثيات الأسطوانية. يتم تطبيق الإحداثيات الأسطوانية عندما يكون للمنطقة قيد الفحص شكل أسطواني أو منطقة التحقيق مُقربة بمجموعة من الأسطوانات.

معادلة الانتشار

$$(٦١) \quad \frac{\partial u}{\partial t} = D \left( \frac{\partial^2 u}{\partial x^2} + \frac{\partial^2 u}{\partial y^2} + \frac{\partial^2 u}{\partial z^2} \right),$$

تأخذ الشكل في الإحداثيات الأسطوانية  $(r, \phi, z)$ .

$$\frac{\partial u}{\partial t} = D \frac{1}{r} \frac{\partial}{\partial r} \left( r \frac{\partial u}{\partial r} \right).$$

في حالة عدم تبعية الخل على  $z$  ولا على  $\phi$ ، فإن هذا يعني، أنه في حالة التمايل المحوري. وهكذا، فإننا سوف نفحص عملية الانتشار في المنطقة

$$\mathcal{Q} = \{0 < r < R, 0 < t \leq T\}$$

مسألة القيمة الحدية لمعادلة الانتشار تأخذ الشكل

$$(62) \quad \frac{\partial u}{\partial t} = D \frac{1}{r} \frac{\partial}{\partial r} \left( r \frac{\partial u}{\partial r} \right), \quad (r, t) \in \mathcal{Q},$$

$$(63) \quad u(r, 0) = \varphi(r), \quad 0 < r \leq R,$$

$$(64) \quad \frac{\partial u(0, t)}{\partial r} = 0, \quad u(R, t) = \psi(t), \quad t \in [0, T].$$

هنا  $\varphi(x)$  و  $\psi(t)$  دوال معطاة.

نمضي كالمعتاد وندخل على الجزء  $R \leq r \leq 0$  لشبكة متساوية البعد.

$$\overline{\mathcal{Q}}_{h,\tau} = \{(r_i, t_j) : r_i = ih, t_j = j\tau, i = 0, 1, \dots, n, j = 0, 1, \dots, m \\ hn = R, mt = T\}.$$

ما زال يستخدم إطار هذا القسم، ويمكن الحصول على خطط الفرق لمسألة القيمة الحدية لمعادلة الانتشار.

يتم تقريب معادلة الانتشار بمعادلة الفرق

$$(65) \quad \frac{v_i^{j+1} - v_i^j}{\tau} = D \frac{1}{hr_i} \left( r_{i+1/2} \frac{v_{i+1}^j - v_i^j}{h} - r_{i-1/2} \frac{v_i^j - v_{i-1}^j}{h} \right),$$

$$i = 1, 2, \dots, n-1, \quad j = 0, 1, \dots, m-1,$$

بالشروط الابتدائية

$$(66) \quad v(r_i, 0) = \varphi(r_i), \quad i = 0, 1, \dots, n,$$

## شروط حدية

$$(67) \quad \frac{v_1^j - v_0^j}{h} = 0, \quad v_n^j = \psi(t_j), \quad j = 1, 2, \dots, m,$$

حيث إن  $h = (t_{m+1} - t_0)/2$ . هذا المخطط صريح وثنائي الطبقة.

بطريقة مشابهة يمكن للمرء ملاحظة أن خطأ التقرير لمعادلة الانتشار (٦٢)

بمعادلة الفرق (٦٥) هو  $O(\tau + h^2)$  إذا كانت المشتقات الجزئية للدالة  $u(t, x)$  تتحقق

المتباينات

$$\max \left| \frac{\partial^2 u(r, t)}{\partial t^2} \right|, \quad \max \left| \frac{\partial^4 u(r, t)}{\partial r^4} \right| = c < \infty,$$

في المنطقة قيد الفحص. إن خطأ التقرير للشرط الحدي في الجانب الأيسر-(٦٤)

من قبل (٦٧) هو  $O(h)$ . خطأ التقرير للشرط الابتدائية والحدية في الجانب

الأيمن (٦٣) يساوي صفرًا.

## ١٩. الحساب حل The Calculation of a Solution

مخطط الفرق الصريح (٦٥)-(٦٧) بسيط ذو خوارزمية سهلة للحساب

والبرمجة. يتم تنفيذ حساب مخطط الفرق (٦٥)-(٦٧) في طبقة شبكة متسلسلة

واحدة تلو الأخرى. في البداية يتم حساب الحل في الطبقة صفر عند  $t = 0$  باستخدام

الشرط الابتدائي (٦٦)

$$v_i^0 = \phi(r_i), \quad i = 0, 1, \dots, n.$$

الآن، يفترض، أن حل  $v_i^j$  محسوب في الطبقة  $i-th$ . لذا، فإن القيم  $v_i^j$  لـ  $i = 0, 1, \dots, n$  تكون معروفة. نمضي في حل مخطط الفرق (٦٥) الخاضعة لقيمة  $v_i^{j+1}$  عند  $j + I - th$ . لدينا

$$v_i^{j+1} = v_i^j + \frac{D}{hr_i} \left( r_{i+I/2} \frac{v_{i+I}^j - v_i^j}{h} - r_{i-I/2} \frac{v_i^j - v_{i-I}^j}{h} \right),$$

$$i = 1, 2, \dots, n-1.$$

كل قيم الدالة  $v_i^j$  على الجانب الأيمن من المساواة معروفة. لذا يمكن للمرء حساب القيم  $v_0^{j+1}, v_1^{j+1}, \dots, v_{n-1}^{j+1}$ . يتم حساب القيم  $v_n^{j+1}$  و  $v_{n+1}^{j+1}$  باستخدام الشروط الحدية (٦٧)

$$v_0^{j+1} = v_1^{j+1}, \quad v_n^{j+1} = \psi(t_j).$$

بشكل ماثل إضافي سنجد الحل  $v_i^j$  على الطبقة التالية ونستمر حتى نصل إلى الطبقة الأخيرة  $t_m = t$  وهكذا تنتهي العملية الحسابية لحل مخطط الفرق الصريح.

## ٩.٢ التقارب والاستقرار The Convergence and Stability

الشرط التالي لاستقرار مخطط الفرق (٦٥)-(٦٧).

$$(٦٨) \quad D \frac{\tau}{h^2} \leq 1/6.$$

قد تبين أن هناك قيوداً على النسبة بين خطوات الشبكة  $\tau$  و  $h$ . يتقارب مخطط الفرق (٦٥)-(٦٧) وخطأ حل الفرق هو  $O(\tau + h)$ .

### ١٠ - مخطط الفرق كرانك - نيكلسون في الإحداثيات الأسطوانية

The Crank – Nicolson Difference Scheme in the Cylindrical Coordinates

مخطط فرق كرانك - نيكلسون، من بين أكثر طرق الفرق الصالحة

للاستخدام في حل مسألة القيمة الحدية لمعادلة الانتشار في الإحداثيات الأسطوانية.

إن الأسباب الرئيسية هي:

لا قيود على النسبة بين خطوات الشبكة  $\tau$  و  $h$ ، ويمكن اتخاذ الخطوات بدون

أي قيود؛ وهي ميزة هامة جداً ومفيدة لمخطط الفرق كرانك - نيكلسون.

المخطط اقتصادي ويمكن تطبيقه على متغير تدفق طريقة الحذف.

الآن سوف نستمر بتقرير مسألة القيمة الحدية (٦٢) - (٦٤). بطريقة

مشابهة يمكن استبدال معادلة الانتشار (٦٢) بمعادلة الفرق التالية

$$(٦٩) \quad \frac{v_i^{j+1} - v_i^j}{\tau} = \frac{D}{2r_i} \left( r_{i+1/2} \frac{v_{i+1}^{j+1} - v_i^{j+1}}{h} - r_{i-1/2} \frac{v_i^{j+1} - v_{i-1}^{j+1}}{h} + r_{i+1/2} \frac{v_{i+1}^j - v_i^j}{h} - r_{i-1/2} \frac{v_i^j - v_{i-1}^j}{h} \right) / h,$$

$$i = 1, 2, \dots, n-1, \quad j = 0, 1, \dots, m-1.$$

يتم تقرير الشروط الابتدائية (٦٣) والحدية (٦٤) بـ (٦٦) و (٦٧). هذا هو مخطط

الفرق ضمني وثنائي الطبقة.

بطريقة مماثلة يمكن للمرء أن يلاحظ بأن خطأ التقرير لمعادلة لانتشار (٦٢) بمعادلة الفرق هو  $O(t^2 + h^2)$  إذا كانت المشتقات الجزئية للدالة  $(t, x) u$  تتحقق المتباينات

$$\max \left| \frac{\partial^3 u(r,t)}{\partial t^3} \right|, \quad \max \left| \frac{\partial^4 u(r,t)}{\partial r^4} \right| = c < \infty,$$

في منطقة الفحص. قد تبين أن خطأ التقرير للشرط الحدي في الجانب الأيسر (٦٧) هو  $O(h)$ . وخطأ التقرير للشروط الحدية والابتدائية في الجانب الأيمن (٦٧) يساوي صفرًا.

### ١٠،١ الحساب حل The Calculation of a Solution

إن إجراء العملية الحسابية مشابه جداً لتلك في مخطط الفرق الضمني (١٩) - (٢١) ومحظوظ كرانك - نيكلسون لمعادلة الانتشار في الحالة أحادية البعد (٤٢) - (٤٤). يتم تنفيذ الحساب لمخطط فرق كرانك - نيكلسون (٦٩)، (٦٦)، (٦٧) في طبقة الشبكة المتسلسلة واحدة تلو الأخرى. في البداية يتم حساب الحل على الطبقة صفر عند  $t=0$  باستخدام الشرط الابتدائي (٦٦)

$$v_i^0 = \varphi(r_i) \quad i = 0, 1, \dots, n$$

الآن، ليكن الحل  $v_i$  محسوباً في الطبقة  $th - z$ . لذا، فإن القيمة  $v_i^{+}$  لـ  $i = 0, 1, \dots, n$  تكون معروفة. نمضي في حل معادلة الفرق (٦٩) الخاضعة لقيمة  $v_i^{+}$  في

طبقة  $1 - th + j$ . تتجه معاملات معادلة الفرق والشرط الحدي في الجانب الأيسر ( $71$ ) إلى ما لا نهاية إذا كانت  $0 \rightarrow h$ . يمكن أن يسبب هذا صعوبات كبيرة في الحساب؛ لهذا السبب يتم ضرب معادلات الفرق بخطوة الشبكة  $h$  والشرط الحدي بخطوة الشبكة  $h$ . هذا يُنتج

$$(70) \quad v_i^{j+1} = v_i^j + \frac{D}{2r_i} \left( r_{i+1/2} \frac{v_{i+1}^{j+1} - v_i^{j+1}}{h} - r_{i-1/2} \frac{v_i^{j+1} - v_{i-1}^{j+1}}{h} + r_{i+1/2} \frac{v_{i+1}^j - v_i^j}{h} - r_{i-1/2} \frac{v_i^j - v_{i-1}^j}{h} \right) / h,$$

$$i = 1, 2, \dots, n-1,$$

مع الشرط الحدي

$$(71) \quad v_0^{j+1} = v_1^{j+1}, \quad v_n^{j+1} = \psi(t_{j+1}).$$

إن معادلة الفرق مع الشرط الحدي تؤسس مجموعه المعادلات الخطية  $n$

بالمعلم المجهولة  $v_i^{j+1}$

$$v_i^{j+1}, \quad i = 0, 1, \dots, n-1.$$

تتكون معادلة الفرق (٧٠) من ثلاثة قيم مجهولة  $v_{i+1}^{j+1}$ ،  $v_i^{j+1}$ ،  $v_{i-1}^{j+1}$  ومعادلة الشرط الحدي في الجانب الأيسر (٧١) تتكون من القيمتين  $v_1^{j+1}$ ،  $v_0^{j+1}$ . يسمح الشرط الحدي في الجانب الأيمن بحساب قيمة  $v_n^{j+1}$  فوراً. في هذه الحالة تكون المجموعة الخطية لالمعادلات ثلاثة قطرية.

الخطوة التالية هي إحصاء القيم  $v_i^{j+1}$  و  $s_i$  .  
 $i = 0, 1, \dots, n - 1$   
 وهذا الهدف تُعيد كتابة مجموعة المعادلات الخطية في شكل جديد. دعنا نعرض الترميزات التالية

$$\begin{aligned} s_i &= v_i^{j+1} \quad i = 0, 1, \dots, n-1, \\ a_i &= \frac{\pi D r_{i-1/2}}{2h^2 r_i}, \quad b_i = \frac{\pi D r_{i+1/2}}{2h^2 r_i}, \quad c_i = 1 + \frac{\pi D}{h^2}, \quad i = 1, 2, \dots, n-2, \\ f_i &= \frac{\pi D}{2r_i} \left( r_{i+1/2} \frac{v_{i+1}^j - v_i^j}{h} - r_{i-1/2} \frac{v_i^j - v_{i-1}^j}{h} \right) / h, \quad i = 1, 2, \dots, n-2, \\ \beta_1 &= 1, \quad \mu_1 = 0, \\ \beta_2 &= \left( \frac{\pi D r_{n-3/2}}{2r_{n-1} h^2} \right) \left( 1 + \frac{\pi D}{h^2} \right), \\ \mu_2 &= f_{n-1} / \left( 1 + \frac{\pi D}{h^2} \right), \\ f_{n-1} &= \frac{\pi D}{2r_{n-1}} \left( r_{n-1/2} \frac{v_n^j - v_{n-1}^j}{h} - r_{n-3/2} \frac{v_{n-1}^j - v_{n-2}^j}{h} + r_{n-1/2} \frac{\psi(t_{j+1})}{h} \right) / h. \end{aligned}$$

في التكملة للمجموعة (٧١)، (٧٠) تُشتق الصورة

$$\begin{aligned} s_1 &= \beta_1 s_0 + \mu_1, \\ a_i s_{i-1} - c_i s_i + b_i s_{i+1} &= f_i, \quad i = 1, 2, \dots, n-2, \\ s_{n-1} &= \beta_2 s_{n-2} + \mu_2. \end{aligned}$$

الآن يمكن تطبيق طريقة متغير التدفق على حل هذه المجموعة من المعادلات الخطية. لذا س يتم حساب القيم

$$v_i^{j+1} = s_i \quad i = 0, 1, \dots, n-1,$$

بطريقة مماثلة نمضي في الوصول حل الطبقة التالية  $j+1$  وسوف نستمر حتى نصل إلى آخر طبقة  $m = j$ . بهذا يتم الانتهاء من حساب حل مخطط فرق كرانك-نيكلسون.

## ١٠، ٢ التقارب والاستقرار The Convergence and Stability

مخطط فرق كرانك-نيكلسون (٦٩)، (٦٦)، (٦٧) مستقر دون قيد أو شرط. تبين أنه لا يوجد أي قيود على النسبة بين خطوات الشبكة  $h$  و  $\tau$ . يمكن اتخاذ الخطوات بدون أي قيود. هي ميزة مهمة جداً ومفيدة لمخطط فرق كرانك-نيكلسون.

يتقارب مخطط الفرق وخطأ حل الفرق هو  $O(\tau + h^2)$ .

## ١١ - معامل الانتشار غير المتصل The Discontinuous Diffusion Coefficient

من الناحية العملية تكون منطقة الفحص غير متتجانسة. يرجع ذلك إلى عدم اتصال الأوساط. عادة ما تملك الأوساط المختلفة معاملات انتشار مختلفة. وبناء على ذلك، فإنه من المهم دراسة الأنواع المختلفة لهذه المسألة. الآن، سوف نقوم بدراسة مسألة القيمة الحدية لمعادلة الانتشار بمعاملات الانتشار غير المتصل (نقطة عدم الاتصال تساوي  $x = d_1$ )

$$(٧٢) \quad \frac{\partial u}{\partial t} = D \frac{\partial^2 u}{\partial x^2},$$

في مستطيل  $Q = \{0 < x < d, 0 < t \leq T\}$

بالشرط الابتدائي  $u(x,0) = \phi(x)$

$$(73) \quad u(x,0) = \phi(x), \quad x \in [0, d],$$

والشرط الحدي

$$(74) \quad u(x,0) = \psi_1(t), \quad u(d,t) = \psi_2(t), \quad t \in [0, T].$$

معامل الانتشار يساوي

$$D = \begin{cases} D_1, & \text{if } 0 \leq x < d_1, \\ D_2, & \text{if } d_1 < x \leq d. \end{cases}$$

النقطة  $d_1$  هي نقطة عدم الاتصال لمعامل الانتشار  $D$ . حل المسائل (٧٢)-

(٧٤) يحقق شروط المطابقة

$$(75) \quad u(d_1 - 0, t) = u(d_1 + 0, t), \quad t \in [0, T].$$

$$(76) \quad D_1 \frac{\partial u(d_1 - 0, t)}{\partial x} = D_2 \frac{\partial u(d_1 + 0, t)}{\partial x}, \quad t \in [0, T]$$

يتبع شرط المطابقة الأول من اتصال التركيز  $(x, t)$  ويتبع الثاني من اتصال

التدفق  $D \frac{\partial u(x, t)}{\partial x}$ . يمكن الحصول على الشرط (٧٦) باستخدام معادلة

التوازن. لهذا الغرض نجري تكامل المعادلة (٧٢) في الجزء  $[d_1 - \epsilon, d_1 + \epsilon]$

حيث إن  $\epsilon > 0$  هو عدد صغير، ويترتب على ذلك

$$\int_{d_1 - \epsilon}^{d_1 + \epsilon} \frac{\partial u(x, t)}{\partial x} dx = \int_{d_1 - \epsilon}^{d_1 + \epsilon} D \frac{\partial^2 u(x, t)}{\partial x^2} dx,$$

التكامل الأبسط يعطي

$$\int_{d_1-\epsilon}^{d_1+\epsilon} \frac{\partial u(x,t)}{\partial x} dx = D_2 \frac{\partial u(d_1+\epsilon,t)}{\partial x} - D_1 \frac{\partial u(d_1-\epsilon,t)}{\partial x}$$

ومنها عندما تكون  $\epsilon \rightarrow 0$  فإننا نحصل على شرط المطابقة التالي

$$D_1 \frac{\partial u(d_1-0,t)}{\partial x} = D_2 \frac{\partial u(d_1+0,t)}{\partial x}, \quad t \in [0,T].$$

يمكن كتابة مسألة القيمة الحدية لمعادلة الانتشار بمعامل انتشار غير متصل (٧٢)-(٧٤) في صورة أكثر بساطة. هذه الصورة هي الأكثر ملاءمة للحل العددي لأن الجزء  $[0, d]$  ينقسم إلى الجزأين  $[0, d_1]$  و  $[d_1, d]$  بمعامل انتشار متصل. بدلاً من دالة واحدة  $u(x,t)$  نقدم الدالتين  $u_1(x,t)$  و  $u_2(x,t)$ . إن الدالة  $u_1(x,t)$  تحقق

$$(77) \quad \frac{\partial u_1}{\partial t} = D_1 \frac{\partial^2 u_1}{\partial x^2}, \quad \text{في مستطيل } Q_1 = \{0 < x < d_1, 0 < t \leq T\}$$

بالشرط الابتدائي عندما  $t=0$

$$(78) \quad u_1(x,0) = \phi(x), \quad 0 \leq x \leq d_1,$$

والشرط الحدي

$$(79) \quad u_1(0,t) = \psi_1(t), \quad 0 \leq t \leq T.$$

الدالة  $u_2(x,t)$  تحقق

$$(80) \quad \frac{\partial u_2}{\partial t} = D_2 \frac{\partial^2 u_2}{\partial x^2},$$

في مستطيل  $\mathcal{Q}_2 = \{d_1 < x < d, 0 < t \leq T\}$

بالشرط الابتدائي عندما  $t=0$

$$(81) \quad u_2(x,0) = \varphi(x), \quad d_1 \leq x \leq d,$$

والشرط الحدي

$$(82) \quad u_2(d,t) = \psi_2(x), \quad 0 < t \leq T.$$

يتم استبدال الشروط الحدية المفقودة بشروط المطابقة عند نقطة عدم الاتصال  $d_1$  لمعامل الانتشار

$$(83) \quad u_1(d_1,t) = u_2(d_1,t), \quad 0 < t \leq T.$$

$$(84) \quad D_1 \frac{\partial u_1(d_1,t)}{\partial x} = D_2 \frac{\partial u_2(d_1,t)}{\partial x}, \quad 0 < t \leq T.$$

## ١٢ - مخطط الفرق الصريح The Explicit Difference Scheme

نحن الآن سوف نستبدل مسائل القيمة الحدية لمعادلة الانتشار مع معامل انتشار متصل (٧٧)-(٨٤) بمخططات فرق صريحة (من نفس النوع (١٠)-(١٢)). لتكن الشبكات

$$\bar{\mathcal{Q}}_{1,h_1,\tau} = \{(x_i, t_j) \in \bar{\mathcal{Q}}_1\}, \quad \bar{\mathcal{Q}}_{2,h_2,\tau} = \{(x_i, t_j) \in \bar{\mathcal{Q}}_2\}$$

مع الخطوات  $n_2 = n_1 + n_3$  و  $h_2(h_1 n_1 = d_1)$  ، و  $h_1(h_1 n_1 = d_1)$  و  $\tau$  على طول الاتجاهين  $Ox$  و  $Ot$  على التوالي، في المستطيلين  $\bar{\mathcal{Q}}_1$  و  $\bar{\mathcal{Q}}_2$ .

لتكن  $(x_i, t_j)$  نقطة ثابتة للشبكة داخل المستويات  $Q_1$  أو  $Q_2$  ونستبدل معادلات الانتشار (٧٧)، (٨٠) بمعادلات الفرق الصريحة

$$(٨٥) \quad \frac{v_{1,i}^{j+1} - v_{1,i}^j}{\tau} = D_1 \frac{v_{1,i+1}^j - 2v_{1,i}^j + v_{1,i-1}^j}{h_1^2},$$

$$i = 1, 2, \dots, n_1 - 1, \quad j = 1, 2, \dots, m - 1,$$

$$(٨٦) \quad \frac{v_{2,i}^{j+1} - v_{2,i}^j}{\tau} = D_2 \frac{v_{2,i+1}^j - 2v_{2,i}^j + v_{2,i-1}^j}{h_2^2},$$

$$i = n_1 + 1, n_1 + 2, \dots, n_2 - 1, \quad j = 1, 2, \dots, m - 1,$$

والشروط الابتدائية هي:

$$(٨٧) \quad v_{1,i}^0 = \varphi(x_i), \quad i = 0, 1, \dots, n_1, \quad v_{2,i}^0 = \varphi(x_i), \quad i = n_1, n_1 - 1, \dots, n_2.$$

والحدية هي:

$$(٨٨) \quad v_{1,0}^j = \psi_1(t_j), \quad j = 1, 2, \dots, m, \quad v_{2,n_2}^j = \psi_2(t_j), \quad j = 1, 2, \dots, m,$$

يتم استبدال شروط المطابقة:

$$(٨٩) \quad v_{1,n_1}^j = v_{2,n_1}^j, \quad D_1 \frac{v_{1,n_1}^j - v_{1,n_1-1}^j}{h_1} = D_2 \frac{v_{2,n_1+1}^j - v_{2,n_1}^j}{h_2}, \quad j = 1, 2, \dots, m.$$

معادلات الفرق (٨٥)، (٨٦) جنباً إلى جنب مع الشروط الابتدائية (٨٧)

والحدية (٨٨) والمطابقة (٨٩) تُشكل مخطط فرق بشكل مماثل (٨٥) – (٨٩).

إن خطأ تقرير المعادلات التفاضلية (٧٧)، (٨٠) بمعادلات الفرق (٨٥) – (٨٦) هو من الرتبة  $O(\tau + h_1^2)$  و  $O(\tau + h_2^2)$ ، ويتم استبدال الشروط الابتدائية والحدية تماماً. لشرط المطابقة الثاني خطأ التقرير  $O(h_1 + h_2)$ ، يتم استبدال الأول تماماً.

## ١٢.١ الحساب حل The Calculation of a Solution

يتم تنفيذ حساب حل مخطط الفرق (٨٥) – (٨٩) في طبقة الشبكة المتسلسلة واحدة تلو الأخرى (على غرار الحالة في مخطط الفرق الصريح). يمكن التمييز في الحساب عند نقطة عدم الاتصال لمعامل الانتشار  $D$  ( $x = d_1$  أو  $x = x_{n_1}$ ). لتكن القيم  $v_{1,n_1}^j, v_{2,n_1}^j, \dots, v_{1,n_1-1}^j, v_{2,n_1-1}^j, \dots, v_{1,1}^j, v_{2,1}^j$  و  $i = 0, 1, \dots, n_1 - 1, n_2 - 2, \dots, n_2$  محسوبة. من ثم، ومن أجل حساب القيمتين  $v_{1,n_1}^j$  و  $v_{2,n_1}^j$  نطبق شروط المطابقة (٨٩). هذا يُتيح:

$$v_{1,n_1}^j = v_{2,n_1}^j = \frac{D_1 v_{1,n_1-1}^j h_2 + D_2 v_{2,n_1+1}^j h_1}{D_1 h_2 + D_2 h_1}.$$

لذا، تم حساب حل الفرق على الطبقة  $i = t_j + 1$ .

علاوة على ذلك، وبشكل مماثل سوف نجد الحل  $v_i^j$  على الطبقة التالية وسوف نستمر حتى نصل إلى الطبقة الأخيرة  $i = t_m$ . بذلك يتتهي حساب حل مخطط الفرق.

### ١٣ - مخطط فرق كرانك-نيكلسون The Crank - Nicolson Difference Scheme

الآن سوف نستمر بتقريب مسألة القيمة الحدية لمعادلة الانتشار بمعامل انتشار غير متصل. يتم تطبيق مخطط فرق كرانك-نيكلسون في حل (٧٧) - (٨٤). لذلك، فإنه يتبع التالي

$$(40) \quad \frac{v_{1,i}^{j+1} - v_{1,i}^j}{\tau} = \frac{D_1}{2} \left( \frac{v_{1,i+1}^j - 2v_{1,i}^j + v_{1,i-1}^j}{h_1^2} + \frac{v_{1,i+1}^{j+1} - 2v_{1,i}^{j+1} + v_{1,i-1}^{j+1}}{h_1^2} \right), \\ i=1,2,\dots,n_1-1, \quad j=1,2,\dots,m-1,$$

$$(41) \quad \frac{v_{2,i}^{j+1} - v_{2,i}^j}{\tau} = \frac{D_2}{2} \left( \frac{v_{2,i+1}^j - 2v_{2,i}^j + v_{2,i-1}^j}{h_2^2} + \frac{v_{2,i+1}^{j+1} - 2v_{2,i}^{j+1} + v_{2,i-1}^{j+1}}{h_2^2} \right), \\ i=n_1+1, n_1+2, \dots, n_2-1, \quad j=1,2,\dots,m-1.$$

الشروط الابتدائية هي

$$(42) \quad v_{1,i}^0 = \varphi(x_i), \quad i=1,\dots,n_1, \quad v_{2,i}^0 = \varphi(x_i), \quad i=n_1+1, n_1+2, \dots, n_2,$$

والحدية هي

$$(43) \quad v_{1,0}^j = \psi_1(t_j), \quad j=1,2,\dots,m, \quad v_{2,n_2}^j = \psi_2(t_j), \quad j=1,2,\dots,m.$$

يتم استبدال شرط المطابقة

$$(44) \quad v_{1,n_1}^j = v_{2,n_1}^j,$$

$$(45) \quad D_1 \left( \frac{v_{1,n_1}^j - v_{1,n_1-1}^j}{h_1} + \frac{v_{1,n_1}^{j+1} - v_{1,n_1-1}^{j+1}}{h_1} \right) = D_2 \left( \frac{v_{2,n_1+1}^j - v_{2,n_1}^j}{h_2} + \frac{v_{2,n_1+1}^{j+1} - v_{2,n_1}^{j+1}}{h_2} \right), \\ j=1,2,\dots,m,$$

يتم تجميع مخطط فرق كرانك-نيكلسون (٩٠)-(٩٥) مع معادلات الفرق (٩٠)، و (٩١) مع الشروط الابتدائية (٩٢)، والخديّة (٩٣) والمطابقة (٩٤)، (٩٥).

خطأ تقرير المعادلات التفاضلية (٧٧)، (٨٠) بمعادلات الفرق (٩٠)، (٩١) هو من الرتبة  $O(\tau^2 + h_1^2)$  على التوالي، ويتم استبدال الشروط الابتدائية والخديّة تماماً. لشرط المطابقة الثاني خطأ التقرير هو  $O(h_1 + h_2)$ ، ويتم استبدال الأول تماماً.

### ١٣. الحساب حل The Calculation of a Solution

إجراء العملية الحسابية مشابه جداً لمخطط فرق كرانك-نيكلسون (٤٢)-(٤٤). التمييز الرئيس هو نقطة عدم الاتصال. يتم حساب مخطط فرق كرانك-نيكلسون (٩٠)-(٩٥) في طبقة الشبكة المتسلسلة واحدة تلو الأخرى. في البداية يتم حساب الحل على الطبقة صفر عند  $\tau = 0$  باستخدام الشرط الابتدائي (٩٢)

$$v_{1,i}^0 = \varphi(x_i), \quad i = 0, 1, \dots, n_1, \quad v_{2,i}^0 = \varphi(x_j), \quad i = n_1 + 1, n_1 + 2, \dots, n_2$$

والآن، ليكن الحل  $v_{1,j}$  و  $v_{2,j}$  محسوباً على الطبقة  $j$ . لذا، فإن القيم  $v_{1,i}^j$  و  $v_{2,i}^j$  تكون معروفة. نمضي في حل معادلات الفرق (٩٠)، (٩١) الخاضعة للقيمة  $v_{1,j}^{j+1}$ ،  $v_{2,j}^{j+1}$  على الطبقة  $j+1$ . بضرب المعادلين (٩٠)، (٩١) بـ  $\tau$  يكون لدينا

$$(46) \quad v_{1,i}^{j+1} = v_{1,i}^j + \frac{\tau D_1}{2} \left( \frac{v_{1,i+1}^j - 2v_{1,i}^j + v_{1,i-1}^j}{h_1^2} + \frac{v_{1,i+1}^{j+1} - 2v_{1,i}^{j+1} + v_{1,i-1}^{j+1}}{h_1^2} \right), \\ i = 1, 2, \dots, n_1 - 1,$$

$$(47) \quad v_{2,i}^{j+1} = v_{2,i}^j + \frac{\tau D_2}{2} \left( \frac{v_{2,i+1}^j - 2v_{2,i}^j + v_{2,i-1}^j}{h_2^2} + \frac{v_{2,i+1}^{j+1} - 2v_{2,i}^{j+1} + v_{2,i-1}^{j+1}}{h_2^2} \right), \\ i = n_1 + 1, n_1 + 2, \dots, n_2 - 1.$$

الشروط الحدية (٩٣) للطبقة  $j+1-th$  هي

$$(48) \quad v_{1,0}^{j+1} = \psi_1(t_{j+1}), \quad v_{2,n_2}^{j+1} = \psi_2(t_{j+1}).$$

يتم كتابة شروط المطابقة (٩٤)، و(٩٥) في الصورة:

$$(49) \quad v_{1,n_1}^{j+1} = v_{2,n_1}^{j+1},$$

$$(100) \quad D_1(v_{1,n_1}^j - v_{1,n_1-1}^j + v_{1,n_1}^{j+1} - v_{1,n_1-1}^{j+1}), \\ = \frac{D_2 h_1}{h_2} (v_{2,n_1+1}^j - v_{2,n_1}^j + v_{2,n_1+1}^{j+1} - v_{2,n_1}^{j+1}).$$

تتضمن المعادلتان الفرقيتان (٩٦)، (٩٧) مع الشرطين الحديتين (٩٨)

وشرطى المطابقة (٩٩)، (١٠٠) مجموعة المعادلات الخطية  $n_2$  بالقيم المجهولة  $n_1$ .

$$v_{1,i}^j, \quad i = 1, 2, \dots, n_1,$$

$$v_{2,i}^j, \quad i = n_1, n_1 + 1, \dots, n_2 - 1.$$

المعادلتان الفرقيتان (٩٦)، (٩٧) وشرطى المطابقة (٩٩)، (١٠٠) يتكونان

من عدد لا يتجاوز ثلاثة قيم مجهولة.

في هذه الحالة تكون مجموعة المعادلات الخطية ثلاثة قطعية.

الخطوة التالية هي إحتساب القيم  $v_{1,i}^{j+1}$  و  $v_{2,i}^{j+1}$ . لهذا الغرض نعيد كتابة مجموعة المعادلات الخطية (٩٦)-(١٠٠) في شكل جديد ونقدم الترميزات

$$\begin{aligned}
 a_i &= b_i = \frac{\tau D_1}{h_1^2}, \quad c_i = 1 + \frac{\tau D_1}{h_1^2}, \quad i = 1, 2, \dots, n_1 - 1, \\
 a_i &= b_i = \frac{\tau D_2}{h_2^2}, \quad c_i = 1 + \frac{\tau D_2}{h_2^2}, \quad i = n_1 + 1, n_1 + 2, \dots, n_2 - 2, \\
 a_{n_1} &= D_1, \quad c_{n_1} = D_1 + \frac{D_2 h_1}{h_2}, \quad b_{n_1} = \frac{D_2 h_1}{h_2}, \\
 \beta_1 &= \frac{\tau D_1}{2(h_1^2 + \tau D_1)}, \quad \mu_1 = \frac{v_{1,1}^j (h_1^2 + \tau D_1) + (v_{1,2}^j + v_{1,0}^j + \psi_1(t_j)) / 2}{h_1^2 + \tau D_1}, \\
 \beta_2 &= \frac{\tau D_2}{2(h_2^2 + \tau D_2)}, \\
 \mu_2 &= \left( v_{2,n_2-1}^j + \frac{\tau D_2}{2h_2^2} (v_{2,n_2}^j - 2v_{2,n_2-1}^j + v_{2,n_2-2}^j + \psi_2(t_j)) \right) \frac{h_2^2 + \tau D_2}{h_2^2}, \\
 f_i &= v_{1,i}^j + \tau \frac{D_1}{2} \left( \frac{v_{1,i+1}^j - 2v_{1,i}^j + v_{1,i-1}^j}{h_1^2} \right), \\
 i &= 2, 3, \dots, n_1 - 1, \\
 f_i &= v_{2,i}^j + \tau \frac{D_2}{2} \left( \frac{v_{2,i+1}^j - 2v_{2,i}^j + v_{2,i-1}^j}{h_2^2} \right), \\
 i &= n_1 + 1, n_1 + 2, \dots, n_2 - 2, \\
 f_{n_1} &= -\frac{D_2 h_1}{h_2} (v_{2,n_1+1}^j - v_{2,n_1}^j) - D_1 (v_{1,n_1}^j - v_{1,n_1-1}^j),
 \end{aligned}$$

$$s_i = v_{1,i}^j, \quad i = 1, 2, \dots, n_1 - 1, \quad s_i = v_{2,i}^j, \quad i = n_1, n_1 + 1, \dots, n_2 - 1.$$

أخيراً، تأخذ المجموعة الصورة التالية

$$(101) \quad s_1 = \beta_1 s_2 + \mu_1,$$

$$(102) \quad a_i s_{i-1} - c_i s_i + b_i s_{i+1} = f_i, \quad i = 1, 2, \dots, n-1,$$

$$(103) \quad s_{n_2-1} = \beta_2 s_{n_2-2} + \mu_2.$$

الآن يمكن تطبيق طريقة التدفق المتغير في حل المجموعة

(101)-(103). في هذه الحالة سوف نجد حل مخطط فرق كرانك-نيكلسون

(٩٠)-(٩٥) على الطبقة  $t = t_{j+1}$ . علاوة على ذلك، وبشكل ماثل سوف نجد الخل

على الطبقة التالية، وسوف نستمر حتى نصل إلى الطبقة الأخيرة  $t_m = t$ .

لذلك تم تحويل حل المخطط إلى مجموعة معادلات خطية على كل طبقة

بمصفوفات ثلاثة قطرية. لقد تم حل المجموعة التي تم الحصول عليها من

المعادلات الخطية بطريقة التدفق المتغير. يظهر التمييز في الحساب عند نقطة عدم

الاتصال لمعامل الانتشار  $D$  ( $d_1 = x_{n_1}$ ,  $x = x_{n_1}$ ). بهذا تنتهي طريقة حل مخطط فرق

كرانك-نيكلسون.



## **مخططات الفرق لمعادلات تفاعل الانتشار**

### **The Difference Schemes for the Reaction-Diffusion Equations**

هذا الفصل مخصص لنقريبات الفرق المختلفة لمعادلات الانتشار. تستخدم تقنية الفرق، الذي تم تطويره في الفصل السابق، لبناء مخطط الفرق لمجموعة معادلات تفاعل الانتشار.

#### **١ - مسألة القيمة الحدية لمجموعة معادلات تفاعل الانتشار**

##### **The Boundary-Value Problem for the System of Reaction-Diffusion Equations**

الموضوع الرئيس للدراسة هو مجموعة غير خطية لمعادلين تفاضلتين جزئيين:

$$(1) \quad \frac{\partial S}{\partial t} = D_S \Delta S - \frac{V_{\max} S}{K_M + S},$$

$$(2) \quad \frac{\partial P}{\partial t} = D_P \Delta P - \frac{V_{\max} S}{K_M + S},$$

حيث إن  $\Delta$  هو مؤثر لابلاس

$$\Delta S = \frac{\partial^2 S}{\partial x^2} + \frac{\partial^2 S}{\partial y^2} + \frac{\partial^2 S}{\partial z^2},$$

$$\Delta P = \frac{\partial^2 P}{\partial x^2} + \frac{\partial^2 P}{\partial y^2} + \frac{\partial^2 P}{\partial z^2},$$

حيث إن  $D_S$  و  $D_P$  هما معاملان انتشار، و  $V_{\max}$  المعدل الإنزيمي الأعظمي، و  $K_M$  ثابت ميكائيليس. الدالتان  $S = S(x, y, z)$ ،  $P = P(x, y, z)$  هما عادةً تركيزات الركيزة والناتج على التوالي،  $x, y, z$  الإحداثيات المكانية و  $t$  الزمن. تم دراسة مجموعة المعادلتين (١) و (٢) في بعض المنطقة  $\Omega \times [0, T]$ . المنطقة المفتوحة ثلاثية الأبعاد  $\Omega$  تكون عادةً مساحة التفاعل والانتشار للحساس الحيوي. القيمة  $T$  هي مدة عمل الحساس الحيوي. تمتلك مجموعة المعادلتين (١) و (٢) عدداً لا نهائياً من الحلول. من أجل فصل حل وحيد فمن الضروري إضافة الشروط الابتدائية والحدوية. تصف الشروط الابتدائية حالة البدء للحساس الحيوي (عند زمن  $t = 0$ ) ويتم صياغتها في المنطقة  $\Omega$ . يصف الشرط الحدي حالة الحل على المنطقة الحدودية  $\partial\Omega$ . في بادئ الأمر سوف ندرس مثالاً بسيطاً من المنطقة (موازي السطوح)  $\Omega = \{(x, y, z) : 0 < x < d_x, 0 < y < d_y, 0 < z < d_z\}$ ، حيث إن  $d_x, d_y, d_z$  هي حجم مساحة العمل.

الشروط الابتدائية  $S(x, y, z, t=0) = \varphi_S(x, y, z)$  هي

$$(٣) \quad S(x, y, z, 0) = \varphi_S(x, y, z), \quad P(x, y, z, 0) = \varphi_P(x, y, z), \quad (x, y, z) \in \overline{\Omega},$$

والشروط الحدوية هي

$$(٤) \quad S(x, y, z, t) = \psi_S(x, y, z), \quad P(x, y, z, t) = \psi_P(x, y, z), \quad (x, y, z) \in \partial\Omega, \quad t \in [0, T],$$

حيث إن  $(\psi_S(x, y, z), \psi_P(x, y, z))$  هي دوال معطاة.

$$\overline{\Omega} = \{(x, y, z) : 0 \leq x \leq d_x, 0 \leq y \leq d_y, 0 \leq z \leq d_z\}$$

منطقة مغلقة و  $\partial\Omega$  هي حد المنطقة  $\Omega$  (سطح موازي السطوح).

مجموعة المعادلات التفاضلية (١)، (٢) مع الشروط الابتدائية (٣) والحدية (٤) تسمى مسألة القيمة الحدية. من الجدير بالذكر، أن الشرط الحدي (٤) يتميّز إلى مثال معين، وفي الفقرات التالية سوف نفحص الأنواع الأخرى. علاوة على ذلك، فسوف نفترض أن حل مسألة القيمة الحدية (١)-(٤) موجود، وهو حل وحيد أملس بما فيه الكفاية (للدوال  $S$ ،  $P$  مشتقات جزئية ملساء فيها يتعلق بـ  $x$ ،  $y$ ،  $z$  و  $t$  من الرتبة الضرورية).

## ٢ - مخطط الفرق الصريح The Explicit Difference Scheme

علينا أن نبدأ ببناء مخطط الفرق لعمليات تفاعل الانتشار في حساس حيوي في حالة أحادية البعد (الزمن  $t$  وفضاءً أحادي البعد  $x$ ). يحظى مخطط الفرق الصريح بشعبية بسبب بساطة برمجته. سوف ندرس مسألة القيمة الحدية لمجموعة من معادلتي تفاعل انتشار غير خطية

$$(5) \quad \frac{\partial S}{\partial t} = D_p \frac{\partial^2 S}{\partial x^2} - \frac{V_{\max} S}{K_M + S},$$

$$(6) \quad \frac{\partial P}{\partial t} = D_p \frac{\partial^2 P}{\partial x^2} + \frac{V_{\max} S}{K_M + S},$$

في مستطيل  $Q = \{0 < x < d, 0 < t \leq T\}$  مع الشروط الابتدائية  $L_0 = 0$

$$(7) \quad S(x, 0) = \varphi_S(x), \quad P(x, 0) = \varphi_P(x), \quad x \in [0, d]$$

والشروط الحدية:

$$(8) \quad \frac{\partial S(0, t)}{\partial x} = 0, \quad S(d, t) = \psi_S(t), \quad P(0, t) = 0, \quad \frac{\partial P(d, t)}{\partial x} = 0, \quad t \in [0, T],$$

حيث إن  $(x, \varphi_s(x), \psi_s(t))$  هي الدوال المعطاة ومعاملات الانتشار

$$D_p > 0, D_s > 0$$

يتم تطبيق هذه الشروط الحدية عندما يكون هناك تدفق للركيزة  $S$  على الجانب الأيمن من الشرط الحدي (النقطة  $x = d$ ) والناتج على الجانب الأيسر من الشرط الحدي (النقطة  $x = 0$ ). بالاشتراك سوياً لا يوجد تدفق من الركيزة على الجانب الأيسر من الشرط الحدي والناتج على الجانب الأيمن من الشرط الحدي.

الآن يتم استخدام تقنية الفرق - التي تم تطويرها في الفصل السابق - لبناء

خططات الفرق لمجموعة معادلات تفاعل الانتشار. لذا يكون لدينا

$$(4) \quad \frac{S_i^{j+1} - S_i^j}{\tau} = D_s \frac{S_{i+1}^j - 2S_i^j + S_{i-1}^j}{h^2} - \frac{V_{\max} S_i^j}{K_M + S_i^j},$$

$$(5) \quad \frac{P_i^{j+1} - P_i^j}{\tau} = D_p \frac{P_{i+1}^j - 2P_i^j + P_{i-1}^j}{h^2} + \frac{V_{\max} S_i^j}{K_M + S_i^j},$$

$$i = 1, 2, \dots, n-1, \quad j = 0, 1, \dots, m-1,$$

بالشروط الابتدائية.

$$(6) \quad S_i^0 = \varphi_s(x_i), \quad P_i^0 = \varphi_p(x_i), \quad i = 0, 1, \dots, n,$$

والشروط الحدية

$$(7) \quad \frac{S_1^j - S_0^j}{h} = 0, \quad S_n^j = \psi_s(t_j), \quad P_0^j = 0, \quad \frac{P_n^j - P_{n-1}^j}{h} = 0, \quad j = 1, 2, \dots, m.$$

يمكن حساب خطأ التقرير بطريقة مشابهة ، وبمعنى آخر: كما في حالة

مسألة القيمة الحدية لمعادلة الانتشار. إذا كانت المشتقات الجزئية  $S(x, t)$  و  $P(x, t)$  تحقق التقديرات.

$$\max \left| \frac{\partial^2 S(x,t)}{\partial t^2} \right|, \quad \max \left| \frac{\partial^2 P(x,t)}{\partial t^2} \right| = c < \infty,$$

و

$$\max \left| \frac{\partial^4 S(x,t)}{\partial x^4} \right|, \quad \max \left| \frac{\partial^4 P(x,t)}{\partial x^4} \right| = c < \infty,$$

في منطقة الفحص  $\bar{Q}$ ، ومن ثم رتبة التقريب لمجموعة المعادلات التفاضلية (٥)، (٦) بمجموعة معادلات الفرق (٩)، (١٠) تساوي  $O(\tau + h^2)$  كلما  $\tau + h^2 \rightarrow 0$ . ورتبة التقريب للشروط الخدية (٨) بالشروط الخدية للفرق (١٢) هي  $O(h)$  (حيث لا يوجد تدفق). يتم استبدال الشروط الخدية المتبقية والشروط الابتدائية (٧) تماماً. مجموعه الفرق (٩)-(١٢) صريحة وثنائية الطبقة.

## ١٢. الحساب حل The Calculation of a Solution

حساب حل مخطط الفرق (٩)-(١٢) مشابه لحساب حل المخطط الصريح لمسألة القيمة الخدية (١٠)-(١٢) في الفصل السابق. يجدر التأكيد على أن معادلة الفرق (٩) مستقلة عن معادلة الفرق (١٠)، ويمكن حسابها على حده. يبدو واضحاً أنه يمكن حساب القيم  $S_i^j$  أولاً وكل القيم  $P_i^j$  لاحقاً

$$i = 1, 2, \dots, n-1, \quad j = 0, 1, \dots, m-1.$$

لكن هذه الطريقة ليست مثالية من وجهة نظر ذاكرة الكمبيوتر. حيث تتطلب هذه الحالة ذاكرة كمبيوتر لحفظ على الأقل  $(n+1)(m+1)$  قيم  $S_i^j$ . إذا حسبنا القيم  $S_i^j$  و  $P_i^j$  بشكل متزامن، ومن ثم فإنها تكون كافية لحفظ

$$2(n+1)$$

قيم  $S_i^j$  و  $P_i^j$  على الطبقتين  $t_j = t_{j+1}$ . قد تبين أن حساب القيم النهائية  $S_i^{m''}$  و  $P_i^{m''}$  هو الأكثر ملاءمة حل المعادلات (٩)، (١٠) بشكل متزامن.

يتم تنفيذ العملية الحسابية في طبقة الشبكة المتسلسلة الواحدة تلو الأخرى. في بادئ الأمر يتم حساب الحل على الطبقة صفر عند  $t=0$  باستخدام الشروط الابتدائية.

$$(11) \quad S_i^0 = \varphi_S(x_i), \quad P_i^0 = \varphi_P(x_i), \quad i = 0, 1, \dots, n.$$

الآن، لتكن الحلول  $S_i^j$  و  $P_i^j$  محسوبة في الطبقة  $j-th$ . لذا، فإن القيم  $S_i^j$  و  $P_i^j$  لـ  $i = 0, 1, \dots, n$  تكون معروفة. نمضي في حل معادلات الفرق (٩)، (١٠)

الخاضعة لقييم  $S_i^{j+1}$  و  $P_i^{j+1}$  في الطبقة  $j + th$ . يكون لدينا

$$S_i^{j+1} = S_i^j + \tau \left( D_S \frac{S_{i+1}^j - 2S_i^j + S_{i-1}^j}{h^2} - \frac{V_{\max} S_i^j}{K_M + S_i^j} \right),$$

$$P_i^{j+1} = P_i^j + \tau \left( D_P \frac{P_{i+1}^j - 2P_i^j + P_{i-1}^j}{h^2} + \frac{V_{\max} S_i^j}{K_M + S_i^j} \right),$$

$$i = 1, 2, \dots, n-1, \quad j = 0, 1, \dots, m-1.$$

كل قيم الدوال  $S_i^j$  و  $P_i^j$  معروفة على الجانب الأيمن من المتساوية. هكذا

نستطيع حساب القيم  $S_i^j$  من المعادلة الأولى لـ  $i = 1, 2, \dots, n-1$ ، ومن ثم، وببناء

عليه، حساب  $S_i^j$  من المعادلة الثانية لـ  $i = 1, 2, \dots, n-1$ . يتم حساب القيم  $S_n^{j+1}$ ،  $S_0^{j+1}$ ،  $P_n^{j+1}$  و  $P_0^{j+1}$  باستخدام الشروط الخدية (١٢) و

$$S_0^{j+1} = S_1^{j+1}, \quad S_n^{j+1} = \psi_S(t_{j+1}), \quad P_0^{j+1} = 0, \quad P_n^{j+1} = P_{n-1}^{j+1}.$$

علاوة على ذلك، وبشكل مماثل، سوف نجد الحلول  $S_i^{j+2}$  و  $P_i^{j+2}$  على الطبقة التالية، وسوف نستمر حتى نصل إلى الطبقة الأخيرة  $t_m = t$ .

## ٢، ٢ التقارب والاستقرار

الطريقة الصریحة مستقرة بشكل مشروط وتتقارب بال معدل  $O(\tau + h^2)$ .

المعادلات التفاضلية غير خطية ويمكن صياغة الشروط الكافية للاستقرار

$$\frac{\tau \max\{D_S, D_P\}}{h^2} \leq 1/4, \quad \frac{\tau V_{\max}}{K_M} \leq 1/2.$$

## ٣ - مخطط فرق كرانك - نيكلسون من النوع غير الخططي

### The Non-linear Crank-Nicolson Type Difference Scheme

الآن سنقدم مخطط الفرق الثاني (نوع كرانك - نيكلسون غير الخططي) لحل عمليات تفاعل الانتشار في حساس حيوي في حالة أحادية البعد. سوف نعتبر مسألة القيمة الحدية لمجموعة معادلات تفاعل الانتشار

$$(13) \quad \frac{\partial S}{\partial t} = D_S \frac{\partial^2 S}{\partial x^2} - \frac{V_{\max} S}{K_M + S},$$

$$(14) \quad \frac{\partial P}{\partial t} = D_P \frac{\partial^2 P}{\partial x^2} + \frac{V_{\max} S}{K_M + S},$$

في مستطيل  $Q = \{0 < x < d, 0 < t \leq T\}$  بالشروط الابتدائية  $S(t=0) = \phi_S(x)$

$$(15) \quad S(x,0) = \phi_S(x), \quad P(x,0) = \phi_P(x), \quad x \in [0,d],$$

والشروط الحدية (مختلفة عن (٨))

$$(16) \quad S(0,t) = 0, \quad S(d,t) = \psi_S(t), \quad P(0,t) = 0, \quad P(d,t) = 0, \quad t \in [0,T],$$

حيث إن  $(x, \varphi_s(x), \psi_s(t))$  هي الدوال المعطاة ومعاملات الانتشار

$$D_p > 0, D_s > 0$$

يتم تطبيق الشروط الحدية (١٦) عندما يكون هناك تدفق للركيزة والناتج على كلا جانبي الحد (النقطة  $x = d$  و  $x = 0$ ).

الآن يتم استخدام طريقة الفرق التي تم تطويرها في الفصل السابق - لخطط فرق كرانك-نيكلسون (٤٢) - (٤٤)، لبناء خطط فرق لمسألة القيمة الحدية لمجموعة معادلات تفاعل الانتشار (١٣) - (١٦). يكون لدينا

$$(17) \quad \frac{S_i^{j+1} - S_i^j}{\tau} = \frac{D_s}{2} \left\{ \frac{S_{i+1}^{j+1} - 2S_i^{j+1} + S_{i-1}^{j+1}}{h^2} + \frac{S_{i+1}^j - 2S_i^j + S_{i-1}^j}{h^2} \right\} - \frac{V_{\max}(S_i^j + S_i^{j+1})/2}{K_M + (S_i^j + S_i^{j+1})/2},$$

$$(18) \quad \frac{P_i^{j+1} - P_i^j}{\tau} = \frac{D_p}{2} \left\{ \frac{P_{i+1}^{j+1} - 2P_i^{j+1} + P_{i-1}^{j+1}}{h^2} + \frac{P_{i+1}^j - 2P_i^j + P_{i-1}^j}{h^2} \right\} - \frac{V_{\max}(S_i^j + S_i^{j+1})/2}{K_M + (S_i^j + S_i^{j+1})/2},$$

$$i = 1, 2, \dots, n-1, \quad j = 0, 1, \dots, m-1.$$

يتم استبدال الشرط الابتدائي والحدية كالتالي بـ

$$(19) \quad S_i^0 = \varphi_s(x_i), \quad P_i^0 = \varphi_p(x_i), \quad i = 0, 1, \dots, n,$$

$$(20) \quad S_0^j = 0, \quad S_n^j = \psi_s(t_j), \quad P_0^j = 0, \quad P_n^j = 0, \quad j = 1, 2, \dots, m.$$

يمكن حساب خطأ التقرير بطريقة مشابهة، ويعنى آخر: كما في حالة مسألة القيمة الحدية لمعادلة الانتشار. إذا كانت المشتقات الجزئية  $S(x, t)$  و  $P(x, t)$  تحقق التقديرات

$$\max \left| \frac{\partial^3 S(x, t)}{\partial t^3} \right|, \quad \max \left| \frac{\partial^3 P(x, t)}{\partial t^3} \right| = c < \infty,$$

$$\max \left| \frac{\partial^4 S(x, t)}{\partial x^4} \right|, \quad \max \left| \frac{\partial^4 P(x, t)}{\partial x^4} \right| = c < \infty,$$

في منطقة الدراسة  $\bar{Q}$ ، ومن ثم فإن رتبة التقرير لمجموعة المعادلات التفاضلية (١٣)، (١٤) بمجموعة معادلات الفرق (١٧)، (١٨) تساوي  $O(\tau^2 + h^2)$  عندما  $h \rightarrow 0$ ، ويتم استبدال الشروط الابتدائية (١٩) والحدية (٢٠) تماماً؛ يكون مخطط الفرق ضمني وفي طبقتين.

### ١٣. الحساب حل The Calculation of a Solution

حساب حل مخطط الفرق (١٧)-(٢٠) مشابه لحساب حل المخطط الضمني لمسألة القيمة الحدية (٤٢)-(٤٤) في الفصل السابق. لكن هناك فرقاً جوهرياً هو حد غير خططي، ويظهر الجزء غير الخططي في الكسر

$$\frac{V_{\max} (S_i^j + S_i^{j+1}) / 2}{K_M + (S_i^j + S_i^{j+1}) / 2},$$

باحتواء قيمة مجهولة على الطبقة العليا  $S_i^{j+2}$  في مقام الكسر. لتحقيق هذه المعادلة العددية لا بد من استخدام طريقة التكرار للحل.

يتم تنفيذ العملية الحسابية في طبقة الشبكة المتسلسلة الواحدة تلو الأخرى.  
في البداية يتم حساب الحل على الطبقة صفر عندما  $t = 0$  باستخدام الشروط  
الابتدائية (١٩)

$$S_i^0 = \varphi_S(x_i), \quad P_i^0 = \varphi_P(x_i), \quad i = 0, 1, \dots, n.$$

بافتراض أن الحلول  $S_i^j$  و  $P_i^j$  محسوبة في الطبقة  $j - th$ . هكذا، فإن القيم  $S_i^j$   
و  $P_i^j$  تكون معروفة. نمضي في حل معادلات الفرق (١٧)، (١٨)  
الخاضعة لقيم  $S_i^{j+1}$  و  $P_i^{j+1}$  في الطبقة  $j + 1 - th$ . نضرب هذه المعادلات بـ  $\tau$  ولدينا

$$\begin{aligned} S_i^{j+1} &= S_i^j \\ &+ \tau \left( \frac{D_S}{2} \left\{ \frac{S_{i+1}^{j+1} - 2S_i^{j+1} + S_{i-1}^{j+1}}{h^2} + \frac{S_{i+1}^j - 2S_i^j + S_{i-1}^j}{h^2} \right\} \right. \\ &\quad \left. - \frac{V_{\max}(S_i^j + S_i^{j+1})/2}{K_M + (S_i^j + S_i^{j+1})/2} \right), \end{aligned}$$

$$\begin{aligned} P_i^{j+1} &= P_i^j \\ &+ \tau \left( \frac{D_S}{2} \left\{ \frac{P_{i+1}^{j+1} - 2P_i^{j+1} + P_{i-1}^{j+1}}{h^2} + \frac{P_{i+1}^j - 2P_i^j + P_{i-1}^j}{h^2} \right\} \right. \\ &\quad \left. - \frac{V_{\max}(S_i^j + S_i^{j+1})/2}{K_M + (S_i^j + S_i^{j+1})/2} \right), \end{aligned}$$

$$i = 1, 2, \dots, n-1.$$

الشروط الخدية في الطبقة  $j + 1 - th$  هي

$$S_0^{j+1} = 0, \quad S_n^{j+1} = \psi_S(t_{j+1}), \quad P_0^{j+1} = 0, \quad P_n^{j+1} = 0.$$

وبناءً عليه، فإن القيم الحدية  $S_0^{j+1}$ ،  $S_i^{j+1}$ ،  $P_0^{j+1}$  و  $P_i^{j+1}$  تكون معروفة.

يُستَّجَّ هَذَا مَجْمُوعَةً غَيْرَ خَطِيَّةً مِنَ الرَّتِبَةِ  $2n - 2$  فِيهَا يَتَعَلَّقُ بِالقيمة المجهولة  $S_i^{j+1}$

و  $P_i^{j+1}$  لـ  $i = 1, 2, \dots, n-1$ . نتيجة لأن حل هذه المعادلات غير خطوي فسوف نطرح

الطريقة التكرارية

$$S_i^{(l+1)} = S_i^j + \tau \left( \frac{D_S}{2} \left( \frac{S_{i+1}^{(l+1)} - 2S_i^{(l+1)} + S_{i-1}^{(l+1)}}{h^2} + \frac{S_{i+1}^j - 2S_i^j + S_{i-1}^j}{h^2} \right) - \frac{V_{\max}(S_i^j + S_i^{(l+1)})/2}{K_M + (S_i^j + S_i^{(l)})/2} \right),$$

$$P_i^{(l+1)} = P_i^j$$

$$\tau \left( \frac{D_p}{2} \left\{ \frac{P_{i+1}^{(l+1)} - 2P_i^{(l+1)} + P_{i-1}^{(l+1)}}{h^2} + \frac{P_{i+1}^j - 2P_i^j + P_{i-1}^j}{h^2} \right\} \right.$$

$$\left. - \frac{V_{\max}(S_i^j + S_i^{(l+1)})/2}{K_M + (S_i^j + S_i^{(l)})/2} \right),$$

$$i = 1, 2, \dots, n-1.$$

حيث إن  $S_i^{(I)}$ ،  $P_i^{(I)}$ ، و  $S_i^{(I+1)}$ ،  $P_i^{(I+1)}$  القيم التكرارية لـ  $S_i^{j+1}$  و  $P_i^{j+1}$ . هنا

و  $th_{-j+1}$  أعداد التكرار. لـ  $i=0$  نأخذ القيم الابتدائية لتكرار الطبقة  $th_{-j}$ .

$$S_i^{(0)} = S_i^j, \quad P_i^{(0)} = P_i^j, \quad i = 1, 2, \dots, n-1.$$

الآن سوف نستمر بحساب قيم التكرار  $S_i^{(l+1)}$  و  $P_i^{(l+1)}$ . غني عن القول أن

اختيار الرمز المناسب يمكن أن يسّط التطوير. دعنا نقدم  $s_i = S_i^{l+1}$  و  $p_i = P_i^{l+1}$ .

ومن ثم يمكن كتابة طريقة التكرار كالتالي:

$$(21) \quad a_i s_{i-1} - c_i s_i + b_i s_{i+1} = f_i,$$

$$(22) \quad \bar{a}_i p_{i-1} - \bar{c}_i p_i + \bar{b}_i p_{i+1} = \bar{f}_i,$$

$i = 1, 2, \dots, n-1,$

حيث إن :

$$a_i = b_i = \frac{\tau D_s}{2h^2}, \quad c_i = 1 + \frac{\tau D_s}{h^2},$$

$$\bar{a}_i = \bar{b}_i = \frac{\tau D_p}{2h^2}, \quad \bar{c}_i = 1 + \frac{\tau D_p}{h^2},$$

$$f_i = -S_i^j - \tau \left( D_s \frac{S_{i+1}^j - 2S_i^j + S_{i-1}^j}{2h^2} - \frac{V_{\max} S_i^j}{K_M + S_i^j} \right),$$

$$\bar{f}_i = -P_i^j - \tau \left( D_p \frac{P_{i+1}^j - 2P_i^j + P_{i-1}^j}{2h^2} + \frac{V_{\max} S_i^j}{K_M + S_i^j} \right),$$

$. i = 1, 2, \dots, n-2 \quad \square$

القيم

$$a_1 = 0, \quad b_1 = \frac{\tau D_s}{2h^2}, \quad c_1 = 1 + \tau \left( \frac{D_s}{h^2} + \frac{V_{\max}}{2K_M + S_1^j + S_1^{(l)}} \right),$$

$$a_{n-1} = \frac{\tau D_s}{2h^2}, \quad b_{n-1} = 0, \quad c_{n-1} = 1 + \tau \left( \frac{D_s}{h^2} + \frac{V_{\max}}{2K_M + S_{n-1}^j + S_{n-1}^{(l)}} \right) m,$$

$$\bar{a}_1 = 0, \quad \bar{b}_1 = \frac{\tau D_p}{2h^2}, \quad \bar{c}_1 = 1 + \tau \left( \frac{D_p}{h^2} - \frac{V_{\max}}{2K_M + S_1^j + S_1^{(l)}} \right),$$

$$\bar{a}_{n-1} = \frac{\tau D_p}{2h^2}, \quad \bar{b}_{n-1} = 0, \quad \bar{c}_{n-1} = 1 + \tau \left( \frac{D_p}{h^2} - \frac{V_{\max}}{2K_M + S_{n-1}^j + S_{n-1}^{(l)}} \right),$$

$$f_1 = -S_1^j - \tau \left( D_s \frac{S_2^j - 2S_1^j + S_0^j}{2h^2} - \frac{V_{\max} S_1^j}{2K_M + S_1^j + S_1^{(l)}} \right),$$

$$\begin{aligned}
f_{n-1} &= -S_{n-1}^j - \tau \left( D_S \frac{S_n^j - 2S_{n-1}^j + S_{n-2}^j}{2h^2} \right. \\
&\quad \left. - \frac{V_{\max} S_{n-1}^j}{2K_M + S_{n-1}^j + S_{n-1}^{(I)}} + \frac{D_S \psi_s(t_{j+1})}{2h^2} \right), \\
\bar{f}_1 &= -P_1^j - \tau \left( D_P \frac{P_2^j - 2P_1^j + P_0^j}{2h^2} - \frac{V_{\max} S_1^j}{2K_M + S_1^j + S_1^{(I)}} \right), \\
\bar{f}_{n-1} &= -P_{n-1}^j - \tau D_P \frac{P_n^j - 2P_{n-1}^j + P_{n-2}^j}{2h^2} \\
&\quad + \frac{\tau V_{\max} S_{n-1}^j}{2K_M + S_{n-1}^j + S_{n-1}^{(I)}}.
\end{aligned}$$

كل القيم  $s_i$ ،  $S_i^j$ ،  $P_i^j$  و  $S_i^{(I)}$  معروفة. لذلك، يمكن حساب معاملات الأنظمة . (٢١)، (٢٢).

$$a_i, b_i, c_i, f_i, \bar{a}_i, \bar{b}_i, \bar{c}_i, \bar{f}_i.$$

الخطوة التالية هي حل هذا المجموعه (حساب القيم  $s_i$ ) . كما حدث في الحالات السابقة (مخططات فرق كرانك-نيكلسون) سوف نطبق طريقة الحذف لحل مجموعة المعادلات الخطية بمصفوفات ثلاثة قطرية (متغير التدفق لطريقة الحذف). استعداداً لهذا، يمكننا إنشاء المجموعه . (٢١)، (٢٢) بـ

$$\begin{aligned}
s_I &= \beta_I s_2 + \mu_I, \\
a_i s_{i-1} - c_i s_i + b_i s_{i+1} &= f_i, \quad i = 2, 3, \dots, n-2, \\
s_{m-1} &= \beta_2 s_{m-2} + \mu_2, \\
p_1 &= \bar{\beta}_1 p_2 + \bar{\mu}_1, \\
\bar{a}_i p_{i-1} - \bar{c}_i p_i + \bar{b}_i p_{i+1} &= \bar{f}_i, \quad i = 2, 3, \dots, n-2,
\end{aligned}$$

$$P_{m-1} = \bar{\beta}_2 P_{m-2} + \bar{\mu}_2,$$

حيث إن

$$\begin{aligned}\beta_1 &= b_1 / c_1, \quad \mu_1 = -f_1 / c_1, \\ \beta_2 &= a_{n-1} / c_{n-1}, \quad \mu_2 = (f_{n-1} - b_{n-1})\psi(t_{j+1}) / c_{n-1}, \\ \bar{\beta}_1 &= \bar{b}_1 / \bar{c}_1, \quad \bar{\mu}_1 = -\bar{f}_1 / \bar{c}_1, \\ \bar{\beta}_2 &= \bar{a}_{n-1} / \bar{c}_{n-1}, \quad \bar{\mu}_2 = \bar{f}_{n-1} / \bar{c}_{n-1}.\end{aligned}$$

يمكنا تطبيق طريقة الحذف من أجل حل هذه المجموعات. أولاً: يتم

حساب القيم  $\beta_i$ ، ثانياً: يتم حساب القيم  $P_i$ . لذلك، التكرار التالي من  $S_i^{(l+1)}$  و  $P_i^{(l+1)}$  يكون معروفاً. عادةً، يتم إيقاف عملية التكرار، عندما تكون قيم التكرار المجاورة مضبوطة تقريرياً أو أكثر ضبطاً

$$|S_i^{(l+1)} - S_i^{(l)}| \leq \varepsilon,$$

$$|P_i^{(l+1)} - P_i^{(l)}| \leq \varepsilon, \quad i = 1, 2, \dots, n-1,$$

حيث إن  $\varepsilon > 0$  هو عدد صغير، وعندما تتحقق الشروط الأخيرة عملية التكرار يتم التوقف ونأخذ

$$P_i^{j+1} = P_i^{(l+1)}, \quad S_i^{j+1} = S_i^{(l+1)}, \quad i = 1, 2, \dots, n-1.$$

يتم حساب القيم  $P_n^{(l+1)}$ ،  $P_0^{(l+1)}$ ،  $S_n^{(l+1)}$ ،  $S_0^{(l+1)}$  و  $P_i^j$  باستخدام الشروط الخدية

وهي تساوي

$$S_0^{(l+1)} = 0, \quad S_n^{(l+1)} = \psi_S(t_{j+1}), \quad P_0^{(l+1)} = 0, \quad P_n^{(l+1)} = 0.$$

علاوة على ذلك، وبشكل مماثل، سوف نجد الحلول  $S_i^j$  و  $P_i^j$  على الطبقة

الследующة ونستمر حتى نصل إلى الطبقة الأخيرة  $t_m$ .

### ٢، ٣ التقارب والاستقرار The Convergence and the Stability

تقارب الطريقة التكرارية إذا تم تحقيق شرط الكفاية

$$\frac{\tau V_{\max}}{K_M} \leq 1/2.$$

طريقة كرانك - نيكلسون غير الخطية مستقرة دون قيد أو شرط وتتقارب بال معدل  $O(\tau^2 + h^2)$ . جدير بالذكر أن استقرار مخطط الفرق وتقريب الطريقة التكرارية لإيجاد حل المجموعة غير الخطية هي مسائل مستقلة.

### ٤ - مخطط فرق كرانك - نيكلسون من النوع الخططي

#### The Linear Crank-Nicolson Type Difference Scheme

في هذا المقطع سوف ندرس مخطط فرق كرانك - نيكلسون من النوع الخططي. تم تنفيذ خطية مخطط الفرق بتبسيط تقريب الحد الخططي  $V_{\max}S/(K_M + S)$ . لا يتطلب هذا المخطط عمليات تكرارية للحسابات. لأغراض الحساب، فإنه من السهل في بعض الأحيان تطبيق المخطط الخططي.

سوف ندرس مرة أخرى مسألة القيمة الحدية (٥) - (٨). مشابهة للمقطع السابق، يمكن للمرء أن يحصل على مخطط الفرق

$$(23) \quad \begin{aligned} \frac{S_i^{j+1} - S_i^j}{\tau} = & \frac{D_S}{2} \left\{ \frac{S_{i+1}^{j+1} - 2S_i^{j+1} + S_{i-1}^{j+1}}{h^2} + \frac{S_{i+1}^j - 2S_i^j + S_{i-1}^j}{h^2} \right\} \\ & - \frac{V_{\max} S_i^{j+1}}{K_M + S_i^{j+1}}, \end{aligned}$$

$$(24) \quad \frac{P_i^{j+1} - P_i^j}{\tau} = \frac{D_S}{2} \left\{ \frac{P_{i+1}^{j+1} - 2P_i^{j+1} + P_{i-1}^{j+1}}{h^2} + \frac{P_{i+1}^j - 2P_i^j + P_{i-1}^j}{h^2} \right\} - \frac{V_{\max} S_i^{j+1}}{K_M + S_i^j},$$

$$i = 1, 2, \dots, n-1, \quad j = 0, 1, \dots, m-1.$$

يتم استبدال الشروط الابتدائية والخديّة كالتالي بـ

$$(25) \quad S_i^0 = \varphi_S(x_i), \quad P_i^0 = \varphi_p(x_i), \quad i = 0, 1, \dots, n,$$

$$(26) \quad S_0^j = 0, \quad S_n^j = \psi_S(t_j), \quad P_0^j = 0, \quad P_n^j = 0, \quad j = 1, 2, \dots, m.$$

يمكن حساب خطأ التقرير بطريقة مشابهة، وبمعنى آخر: كما في حالة مسألة القيمة الخديّة لمعادلة الانتشار. رتبة التقرير لمجموعة المعادلات التفاضلية (١٣)، (١٤) بمجموعة معادلات الفرق تساوي  $O(\tau + h^2)$ . يتم استبدال الشروط الابتدائية والخديّة تماماً.

خطط الفرق صريح وثنائي الطبقة.

#### ٤٤. الحساب حل The Calculation of a Solution

الحساب حل خطط الفرق (٢٣)-(٢٦) مماثل لحساب حل خطط كرانك-نيكلسون لمسألة القيمة الخديّة (٤٥)-(٤٩) في الفصل السابق، ويتم تنفيذ الحساب في طبقة الشبكة المتسلسلة الواحدة تلو الأخرى. في البداية يتم حساب الحل على الطبقة صفر عند  $t = 0$  باستخدام الشروط الابتدائية (٢٥)

$$S_i^0 = \varphi_S(x_i), \quad P_i^0 = \varphi_p(x_i), \quad i = 0, 1, \dots, n.$$

بافتراض أن الحلول  $S_i^j$  و  $P_i^j$  محسوبة في الطبقة  $th - j$ . هكذا، فإن القيم  $S_i^j$  و  $P_i^j$  لـ  $i = 0, 1, \dots, n$  تكون معروفة. نمضي في حل معادلات الفرق (٢٣)، (٢٤) الخاضعة لقيم  $S_i^{j+1}$  و  $P_i^{j+1}$  في الطبقة  $th + 1 - j$ . نضرب هذه المعادلات بـ  $\tau$  ويكون لدينا

$$(27) \quad S_i^{j+1} = S_i^j + \tau \left( \frac{D_S}{2} \left( \frac{S_{i+1}^{j+1} - 2S_i^{j+1} + S_{i-1}^{j+1}}{h^2} i + \frac{S_{i+1}^j - 2S_i^j + S_{i-1}^j}{h^2} \right) - \frac{V_{\max} S_i^{j+1}}{K_M + S_i^j} \right),$$

$$(28) \quad P_i^{j+1} = P_i^j + \tau \left( \frac{D_P}{2} \left( \frac{P_{i+1}^{j+1} - 2P_i^{j+1} + P_{i-1}^{j+1}}{h^2} + \frac{P_{i+1}^j - 2P_i^j + P_{i-1}^j}{h^2} \right) + \frac{V_{\max} S_i^{j+1}}{K_M + S_i^j} \right), \\ i = 1, 2, \dots, n-1.$$

الشروط الحدية في الطبقة  $th + 1 - j$  تكون

$$S_0^{j+1} = 0, S_n^{j+1} = \psi(t_{j+1}), \quad P_0^{j+1} = 0, P_n^{j+1} = 0.$$

هذا يُنتج مجموعة خطية من الرتبة  $2n - 2$  فيها يتعلّق بالقيم المجهولة  $S_i^j$  و  $P_i^j$ . إن  $i = 0, 1, \dots, n-1$ . الآن سوف نستمر بحساب قيم التكرار  $S_i^{(j+1)}$  و  $P_i^{(j+1)}$ . إن اختيار الرموز بشكل مناسب قد يبسط التطوير. دعنا نقدم  $s_i = S_i^{j+1}$  و  $p_i = P_i^{j+1}$ ، ومن ثم يمكن كتابة مجموعة المعادلين (٢٧)، (٢٨) كالتالي

$$(29) \quad a_i s_{i-1} - c_i s_i + b_i s_{i+1} = f_i,$$

$$(30) \quad \bar{a}_i p_{i-1} - \bar{c}_i p_i + \bar{b}_i p_{i+1} = \bar{f}_i,$$

$$i = 1, 2, \dots, n-1,$$

حيث إن

$$a_i = b_i = \frac{\tau D_S}{2h^2}, \quad c_i = 1 + \tau \left( \frac{D_S}{h^2} + \frac{V_{\max}}{K_M + S_i^j} \right),$$

$$\bar{a}_i = \bar{b}_i = \frac{\tau D_S}{2h^2}, \quad \bar{c}_i = 1 + \tau \left( \frac{D_P}{h^2} - \frac{V_{\max}}{K_M + S_i^j} \right),$$

$$f_i = -S_i^j - \tau D_S \frac{S_{i+1}^j - 2S_i^j + S_{i-1}^j}{2h^2},$$

$$\bar{f}_i = -P_i^j - \tau D_P \frac{P_{i+1}^j - 2P_i^j + P_{i-1}^j}{2h^2},$$

$$. i = 1, 2, \dots, n-1 \quad \square$$

القيم

$$a_1 = 0, \quad b_1 = \frac{\tau D_S}{2h^2}, \quad c_1 = 1 + \tau \left( \frac{D_S}{h^2} + \frac{V_{\max}}{2K_M + S_1^j} \right),$$

$$a_{n-1} = \frac{\tau D_S}{2h^2}, \quad b_{n-1} = 0, \quad c_{n-1} = 1 + \tau \left( \frac{D_S}{h^2} + \frac{V_{\max}}{2K_M + S_{n-1}^j} \right),$$

$$\bar{a}_1 = 0, \quad \bar{b}_1 = \frac{\tau D_P}{2h^2}, \quad \bar{c}_1 = 1 + \tau \left( \frac{D_P}{h^2} - \frac{V_{\max}}{K_M + S_1^j} \right),$$

$$\bar{a}_{n-1} = \frac{\tau D_P}{2h^2}, \quad \bar{b}_{n-1} = 0, \quad \bar{c}_{n-1} = 1 + \tau \left( \frac{D_P}{h^2} - \frac{V_{\max}}{K_M + S_{n-1}^j} \right),$$

$$f_1 = -S_1^j - \tau D_S \frac{S_2^j - 2S_1^j + S_0^j}{2h^2},$$

$$f_{n-1} = -S_{n-1}^j - \tau D_S \frac{S_n^j - 2S_{n-1}^j + S_{n-2}^j + \psi_S(t_{j+1})}{2h^2},$$

$$\bar{f}_1 = -P_1^j - \tau D_P \frac{P_2^j - 2P_1^j + P_0^j}{2h^2},$$

$$\bar{f}_{n-1} = -P_{n-1}^j - \tau D_P \frac{P_n^j - 2P_{n-1}^j + P_{n-2}^j}{2h^2}.$$

كل القيم  $S_i^j$  و  $P_i^j$  معروفة. لذلك، يمكن حساب معاملات المجموعات

(٢٩)، كالتالي

$$a_i, b_i, c_i, f_i, \bar{a}_i, \bar{b}_i, \bar{c}_i, \bar{f}_i.$$

الخطوة التالية هي حل هذه المجموعة (حساب القيم

فرق كرانك - نيكلسون)، وكما حدث في الحالات السابقة (مخططات

بمصفوفات ثلاثة قطرية (متغير التدفق الطريقة الحذف). استعداداً لهذا، يمكننا إنشاء المجموعة (٢٩)، بـ

$$s_1 = \beta_1 s_2 + \mu_1,$$

$$a_i s_{i-1} - c_i s_i + b_i s_{i+1} = f_i, \quad i = 2, 3, \dots, n-2,$$

$$s_{m-1} = \beta_2 s_{m-2} + \mu_2,$$

$$p_1 = \bar{\beta}_1 p_2 + \bar{\mu}_1,$$

$$\bar{a}_i p_{i-1} - \bar{c}_i p_i + \bar{b}_i p_{i+1} = \bar{f}_i, \quad i = 2, 3, \dots, n-2,$$

$$p_{m-1} = \bar{\beta}_2 p_{m-2} + \bar{\mu}_2,$$

حيث إن

$$\beta_1 = b_1 / c_1, \quad \mu_1 = -f_1 / c_1,$$

$$\beta_2 = a_{n-1} / c_{n-1}, \quad \mu_2 = (f_{n-1} - b_{n-1})\psi(t_{j+1}) / c_{n-1},$$

طرق عددية لمعادلات تفاعل الانتشار

$$\begin{aligned}\bar{\beta}_1 &= \bar{b}_1 / \bar{c}_1, & \bar{\mu}_1 &= -\bar{f}_1 / \bar{c}_1, \\ \bar{\beta}_2 &= \bar{a}_{n-1} / \bar{c}_{n-1}, & \bar{\mu}_2 &= \bar{f}_{n-1} / \bar{c}_{n-1}.\end{aligned}$$

من أجل حل هذه المجموعات يمكننا تطبيق طريقة الحذف (٢٨) – (٣٨).

علاوة على ذلك، وبشكل مشابه، سوف نجد الحلول  $S_i$  و  $P_i$  على الطبقة التالية وسوف نستمر حتى نصل إلى الطبقة الأخيرة  $t_m = t$ .

#### ٤، ٢ التقارب والاستقرار The Convergence and the Stability

إن طريقة كرانك-نيكلسون الخطية مستقرة دون قيد أو شرط وتتقارب بال معدل  $O(\tau + h^2)$ .

#### ٥ – قانون حفظ الكتلة Law of Conservation of Mass

سوف نناقش قوانين الحفظ الآن. حيث إنها تلعب دوراً مهماً في العديد من عمليات تفاعل الانتشار. العمليات الكيميائية في الحساس الحيوي تتبع بعض قوانين حفظ الكتلة. الآن سوف ندرس مثلاً عن قانون حفظ بسيط لمسألة تفاعل الانتشار اللاخطي

$$(31) \quad \frac{\partial S}{\partial t} = D_S \frac{\partial^2 S}{\partial x^2} - \frac{V_{\max} S}{K_M + S},$$

$$(32) \quad \frac{\partial P}{\partial t} = D_P \frac{\partial^2 P}{\partial x^2} + \frac{V_{\max} S}{K_M + S},$$

في مستطيل  $Q = \{0 < x < d, 0 < t \leq T\}$  بالشروط الابتدائية.

$$(33) \quad S(0, x) = 0, \quad x \in [0, d], \quad S(0, d) = S_0, \quad P(0, x) = 0, \quad x \in [0, d].$$

والشروط الخدية

$$(34) \quad S(0,t) = 0, \quad S(d,t) = 0, \quad P(0,t) = 0, \quad \frac{\partial P(d,t)}{\partial x} = 0, \quad t \in [0,T].$$

سوف نلخص الآن هذه المجموعة من المعادلات، وبعد ذلك سوف نجري التكامل على المنطقة  $\{0 \leq x \leq d, 0 \leq t \leq \bar{t} \leq T\}$ . وباستخدام الشروط الابتدائية والحدية، نحصل على

$$(35) \quad \begin{aligned} & \int_0^d (S(x,\bar{t}) + P(x,\bar{t})) dx = \\ & \int_0^{\bar{t}} D_s \frac{\partial S(d,t)}{\partial x} dt - \int_0^{\bar{t}} \left( D_s \frac{\partial S(0,t)}{\partial x} + D_p \frac{\partial P(0,t)}{\partial x} \right) dt. \end{aligned}$$

إن الحد

$$\int_0^d (S(x,\bar{t}) + P(x,\bar{t})) dx$$

يصف الكمية لكتلة الركيزة  $S(x,t)$  والناتج  $P(x,t)$  عند الزمن  $t = \bar{t}$ ، والحد

$$\int_0^{\bar{t}} D_s \frac{\partial S(d,t)}{\partial x} dt$$

يصف مقدار كتلة ركيزة التدفق الداخلي inflowing، والحد

$$\int_0^{\bar{t}} \left( D_s \frac{\partial S(0,t)}{\partial x} + D_p \frac{\partial P(0,t)}{\partial x} \right) dt$$

يصف مقدار كتلة الناتج والركيزة المتداقة.

يقال إن مخطط الفرق، الذي يعبر عن قانون الحفظ على الشبكة، محافظ

أو متبع divergent. للمخطط المحافظ، أن يتبع القانون ذاته conservative

للحفظ في كامل مجال الشبكة  $Q_{1,n}$  كمعادلة فرق طبيعية جبرية. لمخططات

كرانك-نيكلسون اللاخطية والخطية (١٧) - (٢٠)، (٢٣) - (٢٦) هي أمثلة على المخططات المحافظة. هنا سوف نقوم بدراسة مخطط كرانك-نيكلسون اللاخطي فقط (١٧) - (٢٠).

$$\frac{S_i^{j+1} - S_i^j}{\tau} = \frac{D_S}{2} \left\{ \frac{S_{i+1}^{j+1} - 2S_i^{j+1} + S_{i-1}^{j+1}}{h^2} + \frac{S_{i+1}^j - 2S_i^j + S_{i-1}^j}{h^2} \right\} - \frac{V_{\max}(S_i^j + S_i^{j+1})/2}{K_M + (S_i^j + S_i^{j+1})/2},$$

$$\frac{P_i^{j+1} - P_i^j}{\tau} = \frac{D_P}{2} \left\{ \frac{P_{i+1}^{j+1} - 2P_i^{j+1} + P_{i-1}^{j+1}}{h^2} + \frac{P_{i+1}^j - 2P_i^j + P_{i-1}^j}{h^2} \right\} - \frac{V_{\max}(S_i^j + S_i^{j+1})/2}{K_M + (S_i^j + S_i^{j+1})/2},$$

$$i = 1, 2, \dots, n-1, \quad j = 0, 1, \dots, m-1,$$

بالشروط الابتدائية والحدية

$$S_i^0 = \varphi_S(x_i), \quad P_i^0 = \varphi_P(x_i), \quad i = 0, 1, \dots, n.$$

$$S_0^j = 0, \quad S_n^j = S_0, \quad P_0^j = 0, \quad P_n^j = P_{n-1}^j, \quad j = 1, 2, \dots, m.$$

سوف نجمع الآن هذه المجموعة من المعادلات وبعد ذلك، سوف نجمعها

فيها يتعلق بـ  $i$ ، في المنطقة  $Q_{\bar{r}, \bar{n}}$ . بعد إعادة بناء بسيط يمكن للمرء أن يحصل على المساواة

$$(36) \quad \sum_{i=1}^{n-1} h(S_i^j - P_i^j) = \frac{1}{2} \left( \sum_{j=1}^J h D_S \frac{S_n^j - S_{n-1}^j}{h} - \sum_{j=1}^J h \left( D_S \frac{S_1^j - S_0^j}{h} + D_P \frac{P_1^j - P_0^j}{h} \right) \right),$$

حيث إن  $\tau = j\Delta t$ . هذه المساواة نظير لشبكة قانون الحفظ (٣٥). وبناءً على ذلك، فإن خطط فرق كرانك-نيكلسون اللاخطي يكون محافظاً وفقاً لنظير الشبكة الأخيرة لقانون الحفظ. تضمن المساواة (٣٦) بأن جموع الركيزة والناتج سوف ينبع في كل لحظة من الزمن  $\tau$  لقانون حفظ الكتلة.

#### ٦ - طريقة الاتجاهات المتناوبة The Alternating Directions Method

الآن نبدأ بدراسة مسألة مسألة تفاعل الانتشار على المستوى. يتم وصف عمل الحساس الحيوي من قبل مسألة القيمة الحدية

$$(37) \quad \frac{\partial S}{\partial t} = D_S \left( \frac{\partial^2 S}{\partial x^2} + \frac{\partial^2 S}{\partial y^2} \right) - \frac{V_{\max} S}{K_M + S},$$

$$(38) \quad \frac{\partial P}{\partial t} = D_P \left( \frac{\partial^2 P}{\partial x^2} + \frac{\partial^2 P}{\partial y^2} \right) + \frac{V_{\max} S}{K_M + S},$$

في مستطيل  $\Omega = \{0 < x < d_x, 0 < y < d_y\}$ ، حيث  $Q = \{(x, y) \in \Omega, 0 < t \leq T\}$ ، حيث بالشروط الابتدائية  $S(x, y, 0) = \varphi_S(x, y)$ ،  $P(x, y, 0) = \varphi_P(x, y)$ ،  $(x, y) \in \bar{\Omega}$

والشروط الحدية  $S(x, y, T) = \psi_S(x, y, T)$ ،  $P(x, y, T) = \psi_P(x, y, T)$ ،  $(x, y) \in \partial\Omega$   $t \in [0, T]$ .

هنا  $(y, \varphi_s)$  ، و  $(y, \varphi_p)$  ، و  $(x, y, t)$   $\psi_s$  و  $\psi_p$  هي الدوال المعطاة.  
يتكون الحد  $\Omega$  من حد المستطيل  $\Omega$ ، من أجل التبسيط أخذنا الشروط الابتدائية  
والحدية من الشكل العام.

تنتمي طريقة الاتجاهات المتناوبه (مخطط يُنسب إلى بيسمان Peaceman و راشفورد Rachford) إلى الطرق الشعيبة حل المسائل في الفضاء ثنائى الأبعاد لمعادلات الانتشار. إحدى أهم القضايا في الطرق العددية هي الاختيار الموثوق للخوارزميات الحسابية، وتحقيق الأمر الذي يتطلب الحد الأدنى من زمن التنفيذ لإعطاء حل تقريري بالدقة المقررة. العدد الكلي للعمليات الحسابية اللازمة للقيام بذلك هي السمة الرئيسة للخوارزميات موضع السؤال، ونظرًا لأن، الخصائص الأخرى، مثل نوعية البرامج ذات الصلة، وتوافر أجهزة كمبيوتر هندسية متقدمة تكون خارجة عن أرادتنا. في ضوء ذلك، فإن متطلبات الاقتصاد تصبح أمراً ملحاً ومهماً للغاية لاسيما في الحلول العددية للمسائل متعددة الأبعاد الناشئة مراراً وتكراراً، وخصوصاً في المجالات ذات الهندسة المعقّدة. الاتجاه المتناوب هو مخطط اقتصادي. التعريف الكلي للمخطط الاقتصادي يعني أن كمية العمليات الحسابية، الضرورية لحساب قيم الحل تتناسب مع عدد نقاط الشبكة. الفكرة الرئيسة لطريقة الاتجاه المتناوب هي تحويل المسألة في فضاء ثنائى الأبعاد إلى مسائلين أحاديد الأبعاد. يتم وضع القيم الحالية  $S_{ik}^j$ ،  $P_{ik}^j$  و  $P_{ik}^{j+1}$ ،  $S_{ik}^{j+1}$  لمخطط الفرق هذا مع القيم المتوسطة  $S_{ik}^{j+1/2}$ ،  $P_{ik}^{j+1/2}$  معالجة رسمية التي منها القيمة  $S$  في الزمن  $t = t_{j+1/2} + \tau_j/2$ . الممكن أن يتم الانتقال من الطبقه  $j - th$  إلى الطبقه  $j - 1 + th$  في خطوتين بمسافة فصل ملائمة  $0.5\tau$ .

$$(41) \quad \frac{S_{ik}^{j+1/2} - S_{ik}^j}{0.5\tau} = D_S \left( \frac{S_{i+1,k}^{j+1/2} - 2S_{ik}^{j+1/2} + S_{i-1,k}^{j+1/2}}{h_x^2} + \frac{S_{i,k+1}^j - 2S_{ik}^j + S_{i,k-1}^j}{h_y^2} \right) - \frac{V_{\max} S_{ik}^{j+1/2}}{K_M + S_{ik}^j},$$

$$(42) \quad \frac{P_{ik}^{j+1/2} - P_{ik}^j}{0.5\tau} = D_P \left( \frac{P_{i+1,k}^{j+1/2} - 2P_{ik}^{j+1/2} + P_{i-1,k}^{j+1/2}}{h_x^2} + \frac{P_{i,k+1}^j - 2P_{ik}^j + P_{i,k-1}^j}{h_y^2} \right) + \frac{V_{\max} S_{ik}^{j+1/2}}{K_M + S_{ik}^j},$$

$$(43) \quad \frac{S_{ik}^{j+1} - S_{ik}^{j+1/2}}{0.5\tau} = D_S \left( \frac{S_{i+1,k}^{j+1/2} - 2S_{ik}^{j+1/2} + S_{i-1,k}^{j+1/2}}{h_x^2} + \frac{S_{i,k+1}^{j+1} - 2S_{ik}^{j+1} + S_{i,k-1}^{j+1}}{h_y^2} \right) - \frac{V_{\max} S_{ik}^{j+1}}{K_M + S_{ik}^j},$$

$$(44) \quad \frac{P_{ik}^{j+1/2} - P_{ik}^{j+1}}{0.5\tau} = D_P \left( \frac{P_{i+1,k}^{j+1/2} - 2P_{ik}^{j+1/2} + P_{i-1,k}^{j+1/2}}{h_x^2} + \frac{P_{i,k+1}^{j+1} - 2P_{ik}^{j+1} + P_{i,k-1}^{j+1}}{h_y^2} \right) + \frac{V_{\max} S_{ik}^{j+1}}{K_M + S_{ik}^j},$$

$$i = 1, 2, \dots, n_x - 1, \quad k = 1, 2, \dots, n_y - 1, \quad j = 0, 1, \dots, m - 1.$$

دعنا نؤكد هنا أن المخطط الأول ضمني على طول الاتجاه  $x$ ، وصريح على طول الاتجاه  $y$ ، بينما يكون المخطط الثاني ضمنياً على طول الاتجاه  $y$ ، وصريحاً على طول الاتجاه  $x$ . ويتم استكمال المعادلات (٤١) – (٤٤) بالشروط الابتدائية

$$(45) \quad S_{ik}^0 = S_0(x_i, y_k), \quad P_{ik}^0 = P_0(x_i, y_k), \quad i = 0, 1, \dots, n_x, \quad k = 0, 1, \dots, n_y$$

### وشروط الفرق الخدية من نوع خاص

$$(46) \quad S_{ik}^{j+1} = S_0(x_i, y_k), \quad P_{ik}^{j+1} = P_0(x_i, y_k),$$

$i = 0, 1, \dots, n_x$  و  $k = n_y - k = 0$

$$(47) \quad S_{ik}^{j+1/2} = S_0(x_i, y_k), \quad P_{ik}^{j+1/2} = P_0(x_i, y_k),$$

$k = 0, 1, \dots, n_y$  و  $i = n_x - i = 0$

### ١. الحساب حل The Calculation of a Solution

يجري الحساب في طبقة الشبكة المتسلسلة الواحدة تلو الأخرى. الآن،

لتكن الحلول  $S_{ik}^j$  و  $P_{ik}^j$  محسوبة في الطبقة  $j-th$ . تتحرك على طول

الصفوف  $1 \leq k \leq n_y - 1$  حل  $(41) - (42)$  بطريقة الحذف، الذي يسمح لنا بتحديد

القيم  $S_{ik}^{j+1/2}$  و  $P_{ik}^{j+1/2}$  على كل عقد الشبكة. بعد أن تتحرك على طول أعمدة

$i = 0, 1, \dots, n_x - 1$  في محاولة حل  $(43)$ ،  $(44)$ ، وإيجاد القيم  $S_{ik}^{j+1}$  و  $P_{ik}^{j+1}$ . يتم تبني

نفس الإجراءات في الانتقال من الطبقة  $(n+1)th$  إلى الطبقة  $n-th$ ، وهكذا

تحدث طرق الاتجاهات المتناوبة.

إن الخوارزمية التي تم وضعها للتوازن الاقتصادية، لأن عدد العمليات الحسابية

يتنااسب مع عدد عقد الشبكة.

### ٢. التقارب والاستقرار The Convergence and the Stability

طريقة الاتجاهات المتناوبة مستقرة دون قيد أو شرط وتقرب مع المعدل

$$O(\tau + h^2)$$

## ٧ - الطريقة الصريحية للمسائل متعددة الأبعاد

**The Explicit Method for the Multidimensional Problems**

نبدأ الآن بدراسة مسألة تفاعل الانتشار على موازي السطوح. يتم وصف

عمل الحاسوب الحيوي بواسطة مسألة القيمة الحدية

$$(48) \quad \frac{\partial S}{\partial t} = D_s \left( \frac{\partial^2 S}{\partial x^2} + \frac{\partial^2 S}{\partial y^2} + \frac{\partial^2 S}{\partial z^2} \right) - \frac{V_{\max} S}{K_M + S},$$

$$(49) \quad \frac{\partial P}{\partial t} = D_p \left( \frac{\partial^2 P}{\partial x^2} + \frac{\partial^2 P}{\partial y^2} + \frac{\partial^2 P}{\partial z^2} \right) + \frac{V_{\max} S}{K_M + S},$$

في مساحة تطبيق  $Q = \{(x, y, z) \in \Omega, 0 < t \leq T\}$ ، حيث إن

$t=0$  بالشروط الابتدائية  $\Omega = \{0 < x < d_x, 0 < y < d_y, 0 < z < d_z\}$

$$(50) \quad S(x, y, z, 0) = \varphi_S(x, y, z), \quad P(x, y, z, 0) = \varphi_P(x, y, z), \quad (x, y, z) \in \overline{\Omega}$$

والشروط الحدية

$$(51) \quad \begin{aligned} S(x, y, z, t) &= \psi_S(x, y, z, t), \quad P(x, y, z, t) = \psi_P(x, y, z, t), \\ (x, y, z) \in \partial\Omega, \quad t &\in [0, T]. \end{aligned}$$

هنا  $\psi_S(x, y, z, t)$  و  $\psi_P(x, y, z, t)$  هي الدوال المعطاة.

والحد  $\Omega$  يتكون من حد موازي السطوح  $\Omega$ . من أجل التبسيط أخذنا الشروط

الابتدائية والحدوية للشكل العام.

سنعمل الآن على وصف الطريقة الصريحية لحل مجموعة معادلات تفاعل الانتشار.

يتمتع مخطط الفرق الصريح حل مجموعة معادلات تفاعل الانتشار بشعبية بين المختصين. السبب الرئيس لذلك هو بساطة التحقيق العددي. نقدم شبكة

بخطوات  $\tau$  على طول المحور  $t$  و  $h_y$  و  $h_z$  على طول المحاور  $x$  و  $y$  و  $z$  على الترتيب.

$$\begin{aligned} \bar{\mathcal{Q}}_{h_x, h_y, h_z, \tau} = & \{(x_i, y_k, z_l, t_j) : x_i = ih_x, \quad i = 0, 1, \dots, n_x, \quad h_x n_x = d_x; \\ & y_k = kh_y, \quad k = 0, 1, \dots, n_y, \quad h_y n_y = d_y; \\ & z_l = lh_z, \quad l = 0, 1, \dots, n_z, \quad h_z n_z = d_z; \quad t_j = j\tau, \quad j = 0, 1, \dots, m, \quad m\tau = T\}. \end{aligned}$$

الآن يتم تقرير مجموعة التفاعل ومعادلات الانتشار بمجموعة معادلات الفرق الصريحة.

$$(52) \quad \frac{S_{i,k,l}^{j+1} - S_{i,k,l}^j}{\tau} = D_S \left( \frac{S_{i+1,k,l}^j - 2S_{i,k,l}^j + S_{i-1,k,l}^j}{h_x^2} + \frac{S_{i,k+1,l}^j - 2S_{i,k,l}^j + S_{i,k-1,l}^j}{h_y^2} \right. \\ \left. + \frac{S_{i,k,l+1}^j - 2S_{i,k,l}^j + S_{i,k,l-1}^j}{h_z^2} \right) - \frac{V_{\max} S_{i,k,l}^j}{K_M + S_{i,k,l}^j},$$

$$(53) \quad \frac{P_{i,k,l}^{j+1} - P_{i,k,l}^j}{\tau} = D_P \left( \frac{P_{i+1,k,l}^j - 2P_{i,k,l}^j + P_{i-1,k,l}^j}{h_x^2} + \frac{P_{i,k+1,l}^j - 2P_{i,k,l}^j + P_{i,k-1,l}^j}{h_y^2} \right. \\ \left. + \frac{P_{i,k,l+1}^j - 2P_{i,k,l}^j + P_{i,k,l-1}^j}{h_z^2} \right) + \frac{V_{\max} S_{i,k,l}^j}{K_M + S_{i,k,l}^j},$$

$$i = 1, 2, \dots, n_x - 1, \quad k = 1, 2, \dots, n_y - 1, \quad l = 1, 2, \dots, n_z - 1, \quad j = 0, 1, \dots, m - 1.$$

يتم تحديد الشروط الابتدائية بشكل صريح

$$(54) \quad S_{i,k,l}^0 = \varphi_S(x_i, y_k, z_l), \quad P_{i,k,l}^0 = \varphi_P(x_i, y_k, z_l),$$

$$i = 0, 1, \dots, n_x, \quad k = 0, 1, \dots, n_y, \quad l = 0, 1, \dots, n_z,$$

والشروط الحدية

$$(55) \quad S_{i,k,l}^j = \psi_S(x_i, y_k, z_l, t_j), \quad P_{i,k,l}^j = \psi_P(x_i, y_k, z_l, t_j).$$

حيث تتسمى النقاط  $(x_i, y_k, z_l)$  إلى الحد  $\partial\Omega$  و:

$$i = 0, n_x, \quad k = 0, l, \dots, n_y, \quad l = 0, l, \dots, n_z.$$

$$k = 0, n_y, \quad i = 0, l, \dots, n_x, \quad l = 0, l, \dots, n_z,$$

$$l = 0, n_z, \quad i = 0, l, \dots, n_x, \quad k = 0, l, \dots, n_y.$$

أُطْرَت مجموعه معادلات الفرق مع الشروط الحدية والابتدائية مخطط الفرق الصريح (٥٢) - (٥٥). هذا المخطط ثنائي الطبقة. يحتوي النمط على سبع نقاط  $(x_i, y_{k-1}, z_l, t_j)$  ،  $(x_i, y_{k+1}, z_l, t_j)$  ،  $(x_{i-1}, y_k, z_l, t_j)$  ،  $(x_i, y_k, z_l, t_j)$  ،  $(x_{i+1}, y_k, z_l, t_j)$  ،  $(x_i, y_k, z_{l-1}, t_j)$  و  $(x_i, y_k, z_{l+1}, t_j)$ . كما في حالة الفضاء أحادي البعد السابقة يمكن أن نثبت بأن خطأ التقرير يكون من الرتبة  $O(\tau + h_x^2 + h_y^2 + h_z^2)$  . والآن سوف نستمر بحساب حل مخطط الفرق (٥٢) - (٥٥).

### ١٧. الحساب حل The Calculation of a Solution

حساب حل مخطط الفرق (٥٢) - (٥٥) ماثل لحساب حل المخططات الصريحة السابقة. يتم الحساب في طبقة الشبكة المتسلسلة الواحدة تلو الأخرى. في البداية يتم حساب الحل على الطبقة صفر عند  $t = 0$  باستخدام الشروط الابتدائية (٥٤).

الآن، لتكن الحلول  $S_{i,k,l}^j$  و  $P_{i,k,l}^j$  محسوبة في الطبقة  $j-th$ . نمضي في حل معادلات الفرق (٥٢)، (٥٣) الخاضعة للقيم  $S_{i,k,l}^j$  و  $P_{i,k,l}^j$  في الطبقة  $j+1-th$  يكون لدينا

$$S_{i,k,l}^{j+1} = S_{i,k,l}^j + \tau D_S \left( \frac{S_{i+1,k,l}^j - 2S_{i,k,l}^j + S_{i-1,k,l}^j}{h_x^2} + \frac{S_{i,k+1,l}^j - 2S_{i,k,l}^j + S_{i,k-1,l}^j}{h_y^2} \right. \\ \left. + \frac{S_{i,k,l+1}^j - 2S_{i,k,l}^j + S_{i,k,l-1}^j}{h_z^2} \right) - \tau \frac{V_{\max} S_{i,k,l}^j}{K_M + S_{i,k,l}^j},$$

$$P_{i,k,l}^{j+1} = P_{i,k,l}^j + \tau D_P \left( \frac{P_{i+1,k,l}^j - 2P_{i,k,l}^j + P_{i-1,k,l}^j}{h_x^2} + \frac{P_{i,k+1,l}^j - 2P_{i,k,l}^j + P_{i,k-1,l}^j}{h_y^2} \right. \\ \left. + \frac{P_{i,k,l+1}^j - 2P_{i,k,l}^j + P_{i,k,l-1}^j}{h_z^2} \right) - \tau \frac{V_{\max} S_{i,k,l}^j}{K_M + S_{i,k,l}^j},$$

$$i=1,2,\dots,n_x-1, \quad k=1,2,\dots,n_y-1, \quad l=1,2,\dots,n_z-1.$$

كل قيم الدوال  $S_{i,k,l}^j$  و  $P_{i,k,l}^j$  تكون معروفة على الجانب الأيمن من المتساوية. لذا  
نستطيع حساب القيم  $S_{i,k,l}^{j+1}$  من المعادلة الأولى.

$$i=1,2,\dots,n_x-1, \quad k=1,2,\dots,n_y-1, \quad l=1,2,\dots,n_z-1.$$

ومن ثم، وبناءً على ذلك، قيم  $P_{i,k,l}^{j+1}$  من المعادلة الثانية لـ

$$i=1,2,\dots,n_x-1, \quad k=1,2,\dots,n_y-1, \quad l=1,2,\dots,n_z-1.$$

يتم حساب القيم المتبقية  $S_{i,k}^{j+1}$  و  $P_{i,k}^{j+1}$  على الحد باستخدام الشروط الحدية (٥٥).  
علاوة على ذلك، وبشكل مشابه، سوف نجد الحلول  $S_{i,k,l}^{j+2}$  و  $P_{i,k,l}^{j+2}$  على الطبقة  
التالية، وسوف نستمر حتى نصل إلى الطبقة الأخيرة  $t_m = t$ . إن الخوارزمية التي تم  
وصفها للتو اقتصادية، لأن عدد العمليات الحسابية يتنااسب مع عدد عقد  
الشبكة.

## ٢ ، التقارب والاستقرار The Convergence and the Stability

الطريقة الصريمحة مستقرة بشكل مشروط وتتقارب مع المعدل

$O(\tau + h_x^2 + h_y^2 + h_z^2)$ . المعادلات التفاضلية غير خطية ومن الممكن صياغة شرط

استقرار كافية

$$\frac{\tau \max\{D_S, D_P\}}{\min\{h_x^2, h_y^2, h_z^2\}} \leq 1/12, \quad \frac{\tau V_{\max}}{K_M} \leq 1/2.$$



## المراجع

### References

1. Adamatzky A, De Lacy Costello B, Asai T (2005) Reaction-diffusion computers, Elsevier, Amsterdam
2. Amatore C, Szunerits S, Thouin L, Warkocz J-S (2001) The real meaning of Nernst's steady diffusion layer concept under non-forced hydrodynamic conditions. A simple model based on Levich's seminal view of convection. *J Electroanal Chem* 500:62
3. Amatore C, Oleinick AI, Svir I (2006) Construction of optimal quasi-conformal mappings for the 2d-numerical simulation of diffusion at microelectrodes. Part 1: Principle of the method and its application to the inlaid disk microelectrode. *J Electroanal Chem* 597:69
4. Amatore C, Oleinick A, Klymenko OV et al (2008) Theory and simulation of diffusion reaction into nano- and mesoporous structures. Experimental application to sequestration of mercury(II). *Anal Chem* 80:3229
5. Ames WF (1977) Numerical methods for partial differential equations, 2<sup>nd</sup> edn. Academic, New-York
6. Amine A, Kauffmann JM, Patriarche GJ (1991) Long-term operational stability of a mixed glucose oxidase-redox mediator-carbon paste electrode. *Anal Lett* 24:1293
7. Amine A, Kauffmann JM, Guilbault GG (1993) Characterization of mixed enzyme-mediator carbon paste electrodes. *Anal Lett* 26:1281
8. Antiochia R, Lavagnini I, Magno F (2004) Amperometric mediated carbon nanotube paste biosensor for fructose determination. *Anal Let* 37:1657
9. Arshak K, Jafer E, McDonagh D (2007) Modeling and simulation of a wireless microsensor data acquisition system using PCM techniques. *Simul Model Pract Th* 15:764
10. Aris R (1975) The mathematical theory of diffusion and reaction in permeable catalysts. The theory of the steady state. Clarendon, Oxford

11. Artursson T, Eklöv T, Lundström I et al (2000) Drift correction for gas sensors using multivariate methods. *J Chemometrics* 14:711
12. Babushka I, Pager M, Vitasek E (1966) Numerical processes in differential equations. Wiley, Chichester
13. Bacha S, Bergel A, ComtatM(1995) Transient response of multilayer electroenzymic biosensors. *Anal Chem* 67:1669
14. Bacha S, Montagne M, Bergel A (1996) Modeling mass transfer with enzymatic reaction in electrochemical multilayer microreactors. *AICHE J* 42:2967
15. 15. Bacon NC, Hall EAH (1999) A sandwich enzyme electrode giving electro- chemical scavenging of interferences. *Electroanal* 11:749
16. Baeumner AJ, Jones C, Wong CY, Price A (2004) A generic sandwich-type biosensor with nanomolar detection limits. *Anal Bioanal Chem* 378:1587
17. Baldini F, Chester AN, Homola J, Martellucci S (2006) Optical chemical sensors. Springer, Amsterdam
18. Bakhvalov NS, Panasenko GP (1989) Homogenization: averaging processes in periodic media. Kluwer, Dordrecht
19. Bard AJ, Faulkner LR (2001) Electrochemical methods. Fundamentals and applications, 2<sup>nd</sup> edn. Wiley, New York
20. Barnaby W (1997) Biological weapons: an increasing threat. *Med Confl Surviv* 13:301
21. Baronas R, Ivanauskas F, Kulys J (1998) Modeling of a microreactor on heterogeneous surface and an influence of geometry to microreactor operation. *Nonlinear Anal Model Contr* 3:19
22. Baronas V, Ivanauskas F, Kulys J (1999) Modeling a biosensor based on the heterogeneous microreactor. *J Math Chem* 25:245
23. Baronas R, Ivanauskas F, Survila A (2000) Simulation of electrochemical behavior of partially blocked electrodes under linear potential sweep conditions. *J Math Chem* 27:267
24. Baronas R, Ivanauskas F, Kulys J (2002) Modelling dynamics of amperometric biosensors in batch and flow injection analysis. *J Math Chem* 32:225
25. Baronas R, Christensen J, Ivanauskas F, Kulys J (2002) Computer simulation of amperometric biosensor response to mixtures of compounds. *Nonlinear Anal Model Contr* 7:3
26. Baronas R, Ivanauskas F, Kulys J (2003) Computer simulation of the response of amperometric biosensors in stirred and non stirred solution. *Nonlinear Anal Model Contr* 8:3
27. Baronas R, Ivanauskas F, Kulys J (2003) The influence of the enzyme membrane thickness on the response of amperometric biosensors. *Sensors* 3:248
28. Baronas R, Ivanauskas F, Kulys J, Sapagovas M(2003) Modeling of amperometric biosensors with rough surface of the enzyme membrane. *J Math Chem* 34:227

29. Baronas R, Kulys J, Ivanauskas F (2004) Modeling amperometric enzyme electrode with substrate cyclic conversion. *Biosens Bioelectron* 19:915
30. Baronas R, Ivanauskas F, Kulys J (2004) The effect of diffusion limitations on the response of amperometric biosensors with substrate cyclic conversion. *J Math Chem* 35:199
31. Baronas R, Ivanauskas F, Maslovskis R, Vaitkus P (2004) An analysis of mixtures using amperometric biosensors and artificial neural networks. *J Math Chem* 36:281
32. Baronas R, Kulys J, Ivanauskas F (2004) Mathematical model of the biosensors acting in a trigger mode. *Sensors* 4:20
33. Baronas R, Ivanauskas F, Kulys J, Sapagovas M (2004) Computational modeling of a sensor based on an array of enzyme microreactors. *Nonlinear Anal Model Contr* 9:203
34. Baronas R, Ivanauskas F, Kulys J (2005) Modelling biosensors with perforated membrane. *Lith Math J* 45(spec issue):449
35. Baronas R, Kulys J, Ivanauskas F (2006) Computational modeling of biosensors with perforated and selective membranes. *J Math Chem* 39:345
36. Baronas R, Ivanauskas F, Kulys J (2006) Mathematical modeling of biosensors based on an array of enzyme microreactors. *Sensors* 6:453
37. Baronas R, Ivanauskas F, Kaunietis I, Laurinavicius V (2006) Mathematical modeling of plate-gap biosensors with an outer porous membrane. *Sensors* 6:727
38. Baronas R, Ivanauskas F, Maslovskis R et al (2007) Locally weighted neural networks for an analysis of the biosensor response. *Kybernetika* 43:21
39. Baronas R, Ivanauskas F, Kulys J (2007) Computational modeling of the behaviour of potentiometric membrane biosensors. *J J Math Chem* 42:321
40. Baronas R, Gaidamauskaitė E, Kulys J (2007) Modeling a peroxidase-based optical biosensor. *Sensors* 7:2723
41. Baronas R, Ivanauskas F, Kulys J (2007) Computational modeling of amperometric enzyme electrodes with selective and perforated membranes. In: Simos TE, Maroulis G (ed) Computation in modern science and engineering: proceedings of the international conference on computational methods in science and engineering 2007 (ICCMSE 2007), vol 2, parts A and B. AIP Press, pp 457–460
42. Baronas R, Kulys J (2008) Modeling amperometric biosensors based on chemically modified electrodes. *Sensors* 8:4845
43. Bartlett PN, Whitaker RG (1987) Electrochemical immobilization of enzymes. Part 1. Theory. *J Electroanal Chem* 224:27
44. Bartlett PN, Pratt KFE (1993) Modelling of processes in enzyme electrodes. *Biosens Bioelectron* 8:451
45. Bartlett PN, Pratt KFE (1995) Theoretical treatment of diffusion and kinetics in amperometric immobilized enzyme electrodes Part I: Redox mediator entrapped within the film. *J Electroanal Chem* 397:61

46. Bartlett PN, Birkin PR, Wallace ENK (1997) Oxidation of  $\beta$ -nicotinamide adenine dinucleotide (NADH) at poly(aniline)-coated electrodes. *J Chem Soc, Faraday Trans* 93:1951
47. Bergel A, Comtat M (1984) Theoretical evaluation of transient responses of an amperometric enzyme electrode. *Anal Chem* 56:2904
48. Bertram R, Pernarowski M (1998) Glucose diffusion in pancreatic islets of Langerhans. *Biophys J* 74:1722
49. Bieniasz LK, Britz D (2004) Recent developments in digital simulation of electroanalytical experiments. *Polish J Chem* 78:1195
50. Bindra DS, Zhang Y, Wilson GS et al (1991) Design and in vitro studies of a needle-type glucose sensor for subcutaneous monitoring. *Anal Chem* 63:1692
51. Blaedel WJ, Kissel TR, Boguslaski RC (1972) Kinetic behavior of enzymes immobilized in artificial membranes. *Anal Chem* 44:2030
52. Blaedel WJ, Boguslaski RC (1978) Chemical amplification in analysis: a review. *Anal Chem* 50:1026
53. Bosch ME, Sánchez AJR, Rojas FS, Ojeda CB (2007) Recent development in optical fiber biosensors. *Sensors* 7:797
54. Boujtita E, el Murr N (2006) Biosensors for analysis of ethanol in food. *J Food Sci* 60:201
55. Briggs GE, Haldane JBS (1925) A note on the kinetics of enzyme action. *Biochem J* 19:338
56. Britz D (2005) Digital simulation in electrochemistry, 3<sup>rd</sup> edn. Springer, Berlin
57. Bro R (2003) Multivariate calibration: What is in chemometrics for the analytical chemist? *Anal Chim Acta* 500:185
58. Bruice TC (2006) Computational approaches: reaction trajectories, structures, and atomic motions. Enzyme reactions and proficiency. *Chem Rev* 106:3119
59. Buerk DG (1995) Biosensors: theory and applications. CRC Press, Lancaster
60. Cambiaso A, Delfino L, Grattarola M et al (1996) Modeling and simulation of a diffusion limited glucose biosensor. *Sensor Actuat B-Chem* 33:203
61. Carr PW (1977) Fourier analysis of the transient response of potentiometric enzyme electrodes. *Anal Chem* 49:799
62. Carr PW, Bowers LD (1980) Immobilized enzymes in analytical and clinical chemistry. Wiley, New York
63. Castillo J, Bl'ochl A, Dennison S et al (2005) Glutamate detection from nerve cells using a planar electrodes array integrated in a microtiter plate. *Biosens Bioelectron* 20:2116
64. Cenas NK, Kulys JJ (1981) Biocatalytic oxidation of glucose on the conductive charge transfer complexes. *Bioelectrochem Bioenerg* 8:103
65. Chaplin MF, Bucke C (1990) Enzyme technology. Cambridge University Press, Cambridge
66. Chaubey A, Malhotra BD (2002) Mediated biosensors. *Biosens Bioelectron* 17:441

67. Chen LC, Tseng KS, Ho KC (2006) General kinetic model for amperometric sensors based on Prussian blue mediator and its analogs: Application to cysteine detection. *Electroanal* 18:1313
68. Choi MMF (2004) Progress in enzyme-based biosensors using optical transducers. *Microchimica Acta* 148:107
69. Clark LC, Lyons C (1962) Electrode system for continuous monitoring in cardiovascular surgery. *Ann N Y Acad Sci* 102:29
70. Coche-Guerente L, Labbe P, Mengeaud V (2001) Amplification of amperometric biosensor responses by electrochemical substrate recycling. 3. Theoretical and experimental study of the phenol-polyphenol oxidase system immobilized in Laponite hydrogels and layer-by-layer self-assembled structures. *Anal Chem* 73:3206
71. Corcuera JRD, Cavalieri R, Powers J, Tang J (2004) Amperometric enzyme biosensor optimization using mathematical modeling. In: Proceedings of the 2004 ASAE/Csae Annual International Meeting, Paper No. 047030 American Society of Agricultural Engineers, Ottawa
72. Cornish-Bowden A (2004) Fundamentals of enzyme kinetics, 3<sup>rd</sup> edn. Portland Press, London
73. Crank J (1975) The mathematics of diffusion, 2nd edn. Clarendon, Oxford
74. Della Ciana L, Bernacca G, Bordin F et al (1995) Highly sensitive amperometric measurement of alkaline phosphatase activity with glucose oxidase amplification. *J Electronal Chem* 382:129
75. Deslous C, Gabrielli C, Keddam M et al (1997) Impedance techniques at partially blocked electrodes by scale deposition. *Electrochim Acta* 42:1219
76. Devaux R, Bergel A, Comtat M (1995) Mass transfer with chemical reaction in thin-layer electrochemical reactors. *AICHE J* 41:1944
77. Devlin JP (ed) (1997) High throughput screening. Marcel Dekker, New York
78. Diamond D (ed) (1998) Principles of chemical and biological sensors. Chemical Analysis: A Series of Monographs on Analytical Chemistry and Its Applications. Wiley-Interscience, New York
79. Dirks JL (1996) Diagnostic blood analysis using point-of-care technology. *AACN Clin Issues* 7:249
80. Dixon M (1953) The determination of enzyme inhibitor constants. *Biochem J* 55:170
81. Dixon M, Webb EC, Thorne CJR, Tipton KF (1979) Enzymes, 3rd edn. Longman, London
82. Dohanal M (1992) Qualitative partial differential equations and their realistic applications. *Comput Ind* 20:209
83. Dormieux L, Lemarchand E (2001) Homogenization approach of advection and diffusion in cracked porous material. *J Eng Mech ASCE* 127:1267
84. Eggenstein C, Borchardt M, Diekmann C et al (1999) A disposable biosensor for urea determination in blood based on an ammonium-sensitive transducer. *Biosens Bioelectron* 14:33

85. Eggins BR (2002) Chemical sensors and biosensors. Analytical techniques in the sciences. Wiley, Chichester
86. Ehrfeld W, Hessel V, Lwe H (2000) Microreactors: new technology for modern chemistry. Wiley-VCH, New York
87. Ferreira LS, SouzaMBD, Trierweiler JO et al (2003) Aspects concerning the use of biosensors for process control: experimental and simulation investigations. *Comp Chem Eng* 27:1165
88. Forrow NJ, Sanghera GS, Walters SJ (2002) The influence of structure in the reaction of electrochemically generated ferrocenium derivatives with reduced glucose oxidase. *J Chem Soc, Dalton Trans*, 3187
89. Forrow NJ, Bayliff SW (2005) A commercial whole blood glucose biosensor with a low sensitivity to hematocrit based on an impregnated porous carbon electrode. *Biosens Bioelectron* 21:3581
90. Fraser DM (ed) (1997) Biosensors in the body: continuous in vivo monitoring. Wiley, Chichester
91. Frew JE, Hill HO (1987) Electrochemical biosensors. *Anal Chem* 59:933A
92. Fuhrmann B, Spohn U (1998) An enzymatic amplification flow injection analysis (FIA) system for the sensitive determination of phenol. *Biosens Bioelectron* 13:895
93. Gaidamauskaitė E, Baronas R Modeling a peroxide-based fluorescent biosensor. In: Louca LS, Chrysanthou Y, Oplatkova Z, Al-Begain K (eds) Proceedings, 22nd European Conference on modeling and Simulation ECMS 2008, 3–6 June 2008, Nicosia, Cyprus. EMCS 2008, Nicosia 2008
94. Gajovic N, Warsinke A, Huang T et al (1999) Characterization and mathematical modeling of a bienzyme electrode for L-malate with cofactor recycling. *Anal Chem* 71:4657
95. Garboczi EJ (1990) Permeability, diffusivity and microstructural parameters: a critical review. *Cem Concr Res* 20:591
96. Gorton L (1995) Carbon paste electrodes modified with enzymes, tissues, and cells. *Electroanal* 7:23
97. Gueshi T, Tokuda K, Matsuda H (1978) Voltammetry at partially covered electrodes. Part I. Chronopotentiometry and chronoamperometry at model electrodes. *J Electroanal Chem* 89:247
98. Gutfreund H (1995) Kinetics for the life sciences. Cambridge University Press, Cambridge
99. Guilbault GG (1970) Enzymatic methods of analysis. Pergamon, Oxford
100. Guilbault GG (1980) Analytical uses of immobilized enzymes. Marcel Dekker, New York
101. Hall DL, McMullen SAH (2004) Mathematical techniques in multisensor data fusion. Artech House Information Warfare Library, 2<sup>nd</sup> edn. Artech House Inc, Norwood
102. Hameka HF, Rechnitz GA (1983) Theory of the biocatalytic membrane electrode. *J Phys Chem* 87:1235

103. Hameka HF, Rechnitz GA (1981) Steady-state theory of biocatalytic membrane electrodes. *Anal. Chem.* 53:1586
104. Ha J, Engler CR, Lee SJ (2008) Determination of diffusion coefficients and diffusion characteristics for chlorferon and diethylthiophosphate in Ca-Alginate gel beads. *Biotechnol Bioeng* 100:698
105. Hale PD, Lan HL, Boguslavsky LI et al (1991) Amperometric glucose sensors based on ferrocene-modified poly(ethylene oxide) and glucose oxidase. *Anal Chim Acta* 251:121
106. Harsanyi G (2000) Sensors in biomedical applications: fundamentals, technology and applications. CRC Press, New York
107. Hart JP, Crew A, Crouch E et al (2004) Some recent designs and developments of screen-printed carbon electrochemical sensors/biosensors for biomedical, environmental, and industrial analyses. *Anal Lett* 37:789
108. Hassan MM, Atiqullah M, Beg SA, Chowdhury MHM (1995) Analysis of non-isothermal tubular reactor packed with immobilized enzyme systems. *Chem Eng J Biochem Eng J* 58:275
109. Henri V (1902) Théorie générale de l'action de quelques diastases. *Compt Rend Hebd Acad Sci Paris* 135:916
110. Higham NJ (2002) Accuracy and stability of numerical algorithms, 2nd edn. SIAM, Philadelphia
111. Hobbs DW (1999) Aggregate influence on chloride ion diffusion into concrete. *Cem Concr Res* 29:1995
112. Ikeda T (1995) Enzyme-modified electrodes with bioelectrocatalytic function. *Bunsuki Kagaku* 44:333
113. Iliev I, Atanasov P, Gamburzhev S et al (1992) Transient response of electrochemical biosensors with asymmetrical sandwich membranes. *Sensor Actuat B-Chem* 8:65
114. Ivanauskas F, Kaunietis I, Laurinavicius V et al (2005) Computer simulation of the steady state currents at enzyme doped carbon paste electrode. *J Math Chem* 38:355
115. Ivanauskas F, Baronas R, Kulys J (2005) Mathematical modeling of biosensors with perforated and selective membranes. *Rakenteiden Mekaniikka - J Struct Mech* 38:63
116. Ivanauskas F, Baronas R (2008) Modeling an amperometric biosensor acting in a flowing liquid. *Int J Numer Meth Fluids* 56:1313
117. Ivanauskas F, Baronas R (2008) Numerical simulation of a plate-gap biosensor with an outer porous membrane. *Simul Model Pract Th* 16:962
118. Ivanauskas F, Kaunietis I, Laurinavicius V et al (2008) Apparent Michaelis constant of the enzyme modified porous electrode. *J Math Chem* 43:1516
119. Jobst G, Moser I, Urban G (1996) Numerical simulation of multi-layered enzymatic sensors. *Biosens Bioelectron* 11:111
120. Jochum P, Kowalski BR (1982) A coupled two-compartment model for immobilized enzyme electrodes. *Anal Chim Acta* 144:25

121. Kalnin JR, Kotomin EA, Maier J (2002) Calculations of the effective diffusion coefficient for inhomogeneous media. *J Phys Chem Solids* 63:449
122. Kernevez JP (1980) Enzyme mathematics. Studies in mathematics and its applications. Elsevier, Amsterdam
123. Knopf GK, Bassi AS (2007) Smart biosensor technology. CRC Press, New York
124. Kohen A, Klinman JP (1999) Hydrogen tunneling in biology. *Chem Biol* 6(7):191
125. Kulys J, Kadziauskiene K (1978) Bioelectrocatalysis. Lactate-oxidizing electrode. *Doklady Akademii Nauk SSSR* 239:636
126. Kulys J, Samalius AS, Svirmickas G-JS (1980) Electron exchange between the enzyme active center and organic metal. *FEBS Lett* 114:7
127. Kulys J, Kadziauskiene K (1980) Yeast BOD sensor. *Biotechnol Bioeng* 22:221
128. Kulys JJ (1981) Analytical systems based on immobilized enzymes. Mokslas, Vilnius (in Russian)
129. Kulys J (1981) The development of new analytical systems based on biocatalysts. *Anal Lett* 14(B6):377
130. Kulys JJ (1981) Development of new analytical systems based on biocatalysers. *Enzyme Microb Technol* 3:344
131. Kulys J, Razumas V (1983) Biocatalysis in electrochemistry of organic compounds. Mokslas, Vilnius (in Russian)
132. Kulys JJ, Cenas NK (1983) Oxidation of glucose oxidase from penicillium vitale by one- and two-electron acceptors. *Biochim Biophys Acta* 744:57
133. Kulys JJ, Sorochinskii VV, Vidziunaite RA (1986) Transient response of bienzyme electrodes. *Biosensors* 2:135
134. Kulys J, Razumas V (1986) Bioamperometry. Mokslas, Vilnius (in Lithuanian)
135. Kulys J, Schmid RD (1990) A sensitive enzyme electrode for phenol monitoring. *Anal Lett* 23:589
136. Kulys JJ, Vidziunaite RA (1990) Amperometric enzyme electrodes with chemically amplified response. In: Wise DL (ed) Bioinstrumentation. Butterworths, Boston, pp 1263–1283
137. Kulys J, Schmid RD (1991) Bienzyme sensors based on chemically modified electrodes. *Biosens Bioelectron* 6:43
138. Kulys J (1991) Biosensors based on modified electrodes. In: Turner APF (ed) Advances in biosensors, vol 1. JAI Press, London Greenwich Connecticut, pp 107–124
139. Kulys J, Hansen HE, Buch-Rasmussen T et al (1994) Glucose biosensor based on the incorporation of Meldola blue and glucose oxidase within carbon paste. *Anal Chim Acta* 288:193
140. Kulys J, Hansen HE (1994) Carbon-paste biosensors array for long-term glucose measurement. *Biosen Bioelectr* 9:491

141. Kulys J, Hansen HE (1995) Long-term response of an integrated carbon paste based glucose biosensor. *Anal Chim Acta* 303:285
142. Kulys J (1999) The carbon paste electrode encrusted with a microreactor as glucose biosensor. *Biosens Bioelectron* 14:473
143. Kulys J, Krikstopaitis K, Ziemys A (2000) Kinetics and thermodynamics of peroxidase- and laccase-catalyzed oxidation of N-substituted phenothiazines and phenoxyazines. *J Biol Inorg Chem* 5:333
144. Kulys J, Vidziunaite R (2003) Amperometric biosensors based on recombinant laccases for phenols determination. *Biosens Bioelectron* 18:319
145. Kulys J (2004) Modeling trienzyme biosensor at internal diffusion limitation. *Anal Model Contr* 9:139
146. Kulys J, Tetianec L (2005) Synergistic substrates determination with biosensors. *Biosens Bioelectron* 21:152
147. Kulys J (2005) Kinetics of biocatalytical synergistic reactions. *Nonlinear Anal Model Contr* 10:223
148. Kulys F, Baronas R (2006) Modeling of amperometric biosensors in the case of substrate inhibition. *Sensors* 6:1513
149. Kulys J, Tetianec L (2006) Modeling of amperometric biosensors in the case of substrate inhibition. *Sensor Actuat B-Chem* 113:755
150. Kwan RCH, Hon PYT, Mak WC et al (2006) Biosensor for rapid determination of 3-hydroxybutyrate using bienzyme system. *Biosens Bioelectron* 21:1101
151. Lammertyn J, Verboven P, Veraverbeke EA et al (2006) Analysis of fluid flow and reaction kinetics in a flow injection analysis biosensor. *Sensor Actuat B-Chem* 114:728
152. Laurinavicius VA, Kulys JJ, Gureviciene VV, Simonavicius KJ (1989) Flow through and catheter biosensors with an extended concentration range. *Biomed Biochem Acta* 48:905
153. Laurinavicius V, Razumiene J, Kurtinaitiene B et al (2002) Bioelectrochemical application of some PQQ-dependent enzymes. *Bioelectrochem* 55:29
154. Laurinavicius V, Razumiene J, Ramanavicius A, Ryabov AD (2004) Wiring of PQQdehydrogenases. *Biosens Bioelectron* 20:1217
155. Lawrence NS, Deo RP, Wang J (2004) Biocatalytic carbon paste sensors based on a mediator pasting liquid. *Anal Chem* 77:3735
156. Leatherbarrow RJ, Edwards PR (1999) Analysis of molecular recognition using optical biosensors. *Curr Opin Chem Biol* 3:544
157. Lemke K (1988) Mathematical simulation of an amperometric enzyme-substrate electrode with a pO<sub>2</sub> basic sensor. Part 2. Mathematical simulation of the glucose oxidase glucose electrode. *Med Biol Eng Comput* 26:533
158. Levich VG (1962) Physicochemical hydrodynamics. Prentice-Hall, London
159. Liang JF, Li YT, Yang VC (2000) Biomedical application of immobilized enzymes. *J Pharm Sci* 89:979

160. Lide DR (ed) (2007-2008) Handbook of chemistry and physics, 88th edn. CRC Press, Boca Raton
161. Ligler FS, Taitt CR (2002) Optical biosensors: present and future Elsevier, Amsterdam
162. Lim T-C (2006) Application of binomial coefficients in representing central difference solution to a class of PDE arising in chemistry. *J Math Chem* 39:177
163. Llinas JR, Ruiz JM (1986) Multivariate analysis of chemical data sets with factor methods. In: Vemin G, Chanon M (eds) Computer aids to chemistry. Wiley, New York
164. Lyons MEG, Greer JC, Fitzgerald CA et al (1996) Reaction/diffusion with Michaelis-Menten kinetics in electroactive polymer films. Part 1. The steady-state amperometric response. *Analyst* 121:715
165. Lyons MEG, Bannon T, Hinds G, Rebouillat S (1998) Reaction/diffusion with Michaelis-Menten kinetics in electroactive polymer films. Part 2. The transient amperometric response. *Analyst* 123:1947
166. Lyons MEG, Murphy J, Rebouillat S (2000) Theoretical analysis of time dependent diffusion, reaction and electromigration in membranes. *J Solid State Electrochem* 4:458
167. Lyons MEG (2001) Mediated electron transfer at redox active monolayers. *Sensors* 1:215
168. Lyons ME (2006) Modeling the transport and kinetics of electroenzymes at the electrode/solution interface. *Sensors* 6:1765
169. Lobanov AV, Borisov IA, Gordon SH et al (2001) Analysis of ethanol-glucose mixtures by two microbial sensors: application of chemometrics and artificial neural networks for data processing. *Biosens Bioelectron* 16:1001
170. Luckarift HR (2008) Silica-immobilized enzyme reactors. *J Liq Chromatogr R T* 31:1568
171. Mackey D, Killard AJ, Ambrosi A, Smyth MR (2007) Optimizing the ratio of horseradish peroxidase and glucose oxidase on a bienzyme electrode: Comparison of a theoretical and experimental approach. *Sensor Actuat B-Chem* 122:395
172. Magner E (1998) Trends in electrochemical biosensors. *Analyst* 123:1967
173. Malinauskas A, Kulys J (1978) Alcohol, lactate and glutamate sensors based on oxidoreductases with regeneration of nicotinamide adenine dinucleotide. *Anal Chim Acta* 98:31
174. Malkavaara P, Aln R, Kolehmainen E (2000) Chemometrics: an important tool for the modern chemist, an example from wood-processing chemistry. *J Chem Inf Comput Sci* 40:438
175. Manz A, Graber N, Widmer HM (1990) Miniaturized total chemical analysis systems: a novel concept for chemical sensing. *Sensor Actuat B-Chem* 1:244
176. Mak KKW, Wollenberger U, Scheller F, Renneberg R (2003) An amperometric bi-enzyme sensor for determination of formic acid using cofactor regeneration. *Biosens Bioelectron* 18:1095

177. Martens H, Ns T (1989) Multivariate calibration. Wiley, Chichester
178. Marti S, Roca M, Andres J et al (2004) Theoretical insights in enzyme catalysis. *Chem Soc Rev* 33:98
179. Matuszewski W, Trojanowicz M (1988) Graphite paste-based enzymatic glucose electrodefor flow-injection analysis. *Analyst* 113:735
180. Mell LD, Maloy T (1975) A model for the amperometric enzyme electrode obtained through digital simulation and applied to the immobilized glucose oxidase system. *Anal Chem* 47:299
181. Mell LD, Maloy T (1976) Amperometric response enhancement of the immobilized glucose oxidase enzyme electrode. *Anal Chem* 48:1597
182. Mello LD, Kubota LT (2002) Review of the use of biosensors as analytical tools in the food and drink industries. *Food Chem* 77:237
183. Merino S, Grinfeld M, McKee S (1998) A degenerate reaction diffusion system modeling an optical biosensor. *Z Angew Math Phys* 49:46
184. Meyerhoff ME, Duan CM, Meusel M (1995) Novel nonseparation sandwich-type electrochemical enzyme immunoassay system for detecting marker proteins in undiluted blood. *Clin Chem* 41:1378
185. Michaelis L, Menten ML (1913) Die Kinetik der Invertinwirkung. *Biochem Z* 49:333
186. Micsoria SA, Barrera GD, Rivas GA (2005) Enzymatic biosensor based on carbon paste electrodes modified with gold nanoparticles and polyphenol oxidase. *Electroanal* 17:1578
187. Mitchell A, Griffits D (1980) The finite difference methods in partial differential equations. Wiley, New York
188. Mizutani F, Yamanaka T, Tanabe Y, Tsuda K (1985) An enzyme electrode for L-lactate with a chemically amplified response. *Anal Chim Acta* 177:153
189. Mizutani F, Yabuki S, Okuda A, Katsura T (1991) Glucose-sensing electrode based on carbon paste containing ferrocene and polyethylene glycol-modified enzyme. *Bull Chem Soc Jpn* 64:2849
190. Mizutani F (1999) Application of enzyme-modified electrodes to biosensors. *Bunseki Kagaku* 48:809
191. Moreira JE, Midkiff SP, Gupta M et al (2000) Java programming for high performance numerical computing. *IBM Systems J* 39:21
192. Morton KW (1995) Numerical solution of convection-diffusion problems. Chapman/CRC, London
193. Mulchandani A, Rogers K (eds) (1998) Enzyme & microbial biosensors: techniques and protocols. Methods in biotechnology. Humana Press, Totowa, New Jersey
194. MullenWH, Keedy FH, Churchouse SJ, Vadgama PM (1986) Glucose enzyme electrode with extended linearity: application to undiluted blood measurements. *Anal Chim Acta* 183:59
195. Murray RW (1980) Chemically modified electrodes. *Accts Chem Res* 13:135
196. Nakamura H, Karube I (2003) Current research activity in biosensors. *Anal Bioanal Chem* 377:446

197. Nakamoto T, Hiramatsu H (2002) Study of odor recorder for dynamical change of odor using QCM sensors and neural network. *Sens Actuators B-Chem* 85:98
198. Naujikas R, Malinauskas A, Ivanauskas F (2007) Modeling of electrocatalytic processes at conducting polymer modified electrodes. *J Math Chem* 42:1069
199. Nernst W (1904) Theorie der Reaktionsgeschwindigkeit in heterogenen Systemen. *Z Phys Chem* 47:52
200. Nistor C, Rose A, Wollenberger U et al (2002) A glucose dehydrogenase biosensor as an additional signal amplification step in an enzyme-flow immunoassay. *Analyst* 127:1076
201. Özisik MN (1980) Heat conduction. Wiley, New York
202. Ojeda CB, Rojas FS (2006) Recent development in optical chemical sensors coupling with flow injection analysis. *Sensors* 6:1245
203. Pandey PC, Kayastha AM, Pandey V (1992) Amperometric enzyme sensor for glucose based on graphite paste-modified electrodes. *Appl Bioch Biotech* 33:139
204. Passaro VMN, Dell'olio F, Casamassima B, Leonardi FD (2007) Guided-wave optical biosensors. *Sensors* 7:508
205. Pfeiffer D, Scheller FW, Setz K, Schubert F (1993) Amperometric enzyme electrodes for lactate and glucose determinations in highly diluted and undiluted media. *Anal Chim Acta* 281:489
206. Pickup JC, Th'evenot DR (1993) European achievements in glucose sensor research. In: Turner APF (ed) Advances in Biosensors, Supplement 1. JAI Press, London, pp 201–225
207. Popovtzer R, Neufeld T, Ron EZ et al (2006) Electrochemical detection of biological reactions using a novel nano-bio-chip array. *Sensor Actuat B-Chem* 119:664
208. Popovtzer R, Natan A, Shacham-Diamand Y (2007) Mathematical model of whole cell based bio-chip: An electrochemical biosensor for water toxicity detection. *J Electroanal Chem* 602:17
209. Press WH, Flannery BP, Teukolsky SA, Vetterling WT (1993) Numerical Recipes in C: The Art of *Scientific Computing* Cambridge University Press, Cambridge
210. Rahamathunissa G, Rajendran L (2008) Application of He's variational iteration method in nonlinear boundary value problems in enzyme-substrate reaction diffusion processes: part 1. The steady-state amperometric response. *J Math Chem* 44:849
211. Razumas VJ, Kulys JJ, Malinauskas AA (1980) Kinetic amperometric determination of hydrolase activity. *Anal Chim Acta* 117:387
212. Reder S, Dieterle F, Jansen H et al (2003) Multi-analyte assay for triazines using cross-reactive antibodies and neural networks. *Biosens Bioelectron* 19:447

213. Renedo OD, Alonso-Lomillo MA, Martinez MJA (2007) Recent developments in the field of screen-printed electrodes and their related applications. *Talanta* 73:202
214. Reyes DR, Iossifidis D, Auroux PA, Manz A (2002) Micro total analysis systems. 1. Introduction, theory, and technology. *Anal Chem* 74:2623
215. Rickus JL (2005) Impact of coenzyme regeneration on the performance of an enzyme based optical biosensor: a computational study. *Biosens Bioelectron* 21:965
216. Richtmayer R, Morton K (1957) Difference methods for initial-value problems. An introduction. Interscience, New York
217. Rodriguez-Mozaz S, Marco MP, de Alda MJL, Barcelo D (2004) Biosensors for environmental applications: Future development trends. *Pure Appl Chem* 76:723
218. Rogers KR (1995) Biosensors for environmental applications. *Biosens Bioelectron* 10:533
219. Rong ZM, Cheema U, Vadgama P (2006) Needle enzyme electrode based glucose diffusive transport measurement in a collagen gel and validation of a simulation model. *Analyst* 131:816
220. Ruzicka J, Hansen EH (1988) Flow injection analysis. Wiley, New York
221. Sakura S, Buck RP (1992) Amperometric processes with glucose oxidase embedded in the electrode. *Bioelect Bioenerg* 28:387
222. Samarskii AA (2001) The theory of difference schemes. Marcel Dekker, New York-Basel
223. Sanz V, de Marcos S, Galb'an J (2007) Direct glucose determination in blood using a reagentless optical biosensor. *Biosens Bioelectron* 22:2876
224. Sapelnikova S, Dock E, Solna R et al (2003) Screen-printed multienzyme arrays for use in amperometric batch and flow systems. *Anal Bioanal Chem* 376:1098
225. Schachl K, Turkušić E, Komersová A et al (2002) Amperometric determination of glucose with a carbon paste biosensor. *Collect Czech Chem Commun* 67:302
226. Scheller FW, Pfeiffer D (1978) Enzyme electrodes. *Z Chem* 18:50
227. Scheller F, Renneberg R, Schubert F (1988) Coupled enzyme reactions in enzyme electrodes using sequence, amplification, competition, and antiinterference principles. In: Mosbach K (ed) Methods in enzymology, vol 137 Academic, New-York pp 29–43
228. Scheller F, Schubert F, Pfeiffer D et al (1989) Research and development of biosensors. A review. *Analyst* 114:653
229. Scheller F, Schubert F (1992) Biosensors. Elsevier, Amsterdam
230. Schöning MJ (2005) “Playing around” with field-effect sensors on the basis of EIS structures, LAPS and ISFETs. *Sensors* 5:126
231. Schubert F, Kirstein D, Schröder KL, Scheller F (1985) Enzyme electrodes with substrate and co-enzyme amplification. *Anal Chim Acta* 169:391

232. Schulmeister T, Scheller F (1985) Mathematical treatment of concentration profiles and anodic current for amperometric enzyme electrodes. *Anal Chim Acta* 170:279
233. Schulmeister T, Scheller F (1985) Mathematical description of concentration profiles and anodic currents for amperometric two-enzyme electrodes. *Anal Chim Acta* 171:111
234. Schulmeister T (1987) Mathematical treatment of concentration profiles and anodic current of amperometric enzyme electrodes with chemically amplified response. *Anal Chim Acta* 201:305
235. Schulmeister T (1990) Mathematical modeling of the dynamic behavior of amperometric enzyme electrodes. *Selective Electrode Rev* 12:203
236. Schulmeister T, Pfeiffer D (1993) Mathematical modelling of amperometric enzyme electrodes with perforated membranes. *Biosens Bioelectron* 8:75
237. Schulmeister T, Rose J, Scheller F (1997) Mathematical modelling of exponential amplification in membrane-based enzyme sensors. *Biosens Bioelectron* 12:1021
238. Senda M, Ikeda T, Miki K, Hiasa H (1986) Amperometric biosensors based on a biocatalyst electrode with entrapped mediator. *Anal Sci* 2:501
239. Smith JM, Szathmary E (1996) On the likelihood of habitable worlds. *Nature* 384:107
240. Somasundrum M, Aoki K (2002) The steady-state current at microcylinder electrodes modified by enzymes immobilized in conducting or non-conducting material. *J Electroanal Chem* 530:40
241. Song M-J, Yun D-H, Jin J-H et al (2006) Steady state kinetics of cyclic conversions of substrate in amperometric bienzyme sensors. *Jpn J Appl Phys* 45:7197
242. Sorochinskii VV, Kurganov BI (1996) Amperometric biosensors with a laminated distribution of enzymes in their coating. Steady state kinetics. *Biosens Bioelectron* 11:45
243. Sorochinskii VV, Kurganov BI (1996) Steady state kinetics of cyclic conversions of substrate in amperometric bienzyme sensors. *Biosens Bioelectron* 11:225
244. Sorochinskii VV, Kurganov BI (1996) Diffusion-kinetic theory of stationary behaviour of amperometric bienzyme electrodes. *Biosens Bioelectron* 11:709
245. Sorochinskii VV, Kurganov BI (1997) Theoretical principles of the application of potentiometric enzyme electrodes. *Appl Biochem Micro* 33:116
246. Spichiger-Keller UE (1998) Chemical sensors and biosensors for medical and biological applications. Wiley-VCH, New York
247. Stamatin I, Berlic C, Vaseashta A (2006) On the computer-aided modeling of analyte-receptor interactions for an efficient sensor design. *Thin Solid Films* 495:312
248. Stefan R-I, Bokretson RG, van Staden JF, Aboul-Enein HY (2003) Simultaneous determination of creatine and creatinine using amperometric biosensors. *Talanta* 60:1223

249. Stefano LD, Arcari P, Lamberti A et al (2007) DNA optical detection based on porous silicon technology: from biosensors to biochips. *Sensors* 7:214
250. Streffer K, Kaatz H, Bauer CG et al (1998) Application of a sensitive catechol detector for determination of tyrosinase inhibitors. *Anal Chim Acta* 362:81
251. Suzuki H (2000) Advances in the microfabrication of electrochemical sensors and systems. *Electroanal* 12:703
252. Suzuki H, Arakawa H, Karube I (2001) Fabrication of a sensing module using micromachined biosensors. *Biosens Bioelectron* 16:725
253. Svacara I, Vytras K, Barek J, Zima J (2001) Carbon paste electrodes in modern electroanalysis. *Crit Rev Anal Chem* 31:311
254. Takoh K, Ishibashi T, Matsue T, Nishizawa M (2005) Localized chemical stimulation of cellular micropatterns using a porous membrane-based culture substrate. *Sensor Actuat B-Chem* 108:683
255. Tang LX, Koochaki ZB, Vadgama PM (1990) Composite liquid membrane for enzyme electrode construction. *Anal Chim Acta* 232:357
256. Treloar PH, Christie IM, Vadgama PM (1995) Engineering the right membranes for electrodes at the biological interface; solvent cast and electropolymerised. *Biosens Bioelectron* 10:195
257. Tudorache M, Bala C (2007) Biosensors based on screen-printing technology, and their applications in environmental and food analysis. *Anal Bioanal Chem* 388:565
258. Turner APF, Karube I, Wilson GS (1987) Biosensors: fundamentals and applications. Oxford University Press, Oxford
259. Urban PL, Goodall DM, Bruce NC (2001) Biosensor microsystems. *Sens Update* 8:189
260. Urban PL, Goodall DM, Bruce NC (2006) Enzymatic microreactors in chemical analysis and kinetic studies. *Biotechnol Adv* 24:42
261. Updike SJ, Hicks GP (1967) The enzyme electrode. *Nature* 214:986
262. Vermeir S, Nicolai BM, Verboven P et al (2007) Microplate differential calorimetric biosensor for ascorbic acid analysis in food and pharmaceuticals. *Anal Chem* 79:6119
263. Vo-Dinh T (2003) Biomedical photonics handbook. CRC Press, New York
264. Vojinovic V, Esteves FMF, Cabral JMS, Fonseca LP (2006) Bienzymatic analytical microreactors for glucose, lactate, ethanol, galactose and l-amino acid monitoring in cell culture media. *Anal Chim Acta* 565:240
265. Wanekaya AK, Chen W, Mulchandani A (2008) Recent biosensing developments in environmental security. *J Environ Monitor* 10:703
266. Wang J, Liu J, Ceprà G (1997) Thermal stabilization of enzymes immobilized within carbon paste electrodes. *Anal Chem* 69:3124
267. Wang J (2000) Analytical electrochemistry, 2<sup>nd</sup> edn. Wiley, New-York
268. Wang J (2001) Glucose biosensors: 40 years of advances and challenges. *Electroanal* 13:983

269. Wang YM, Pao CV (2006) Time-delayed finite difference reaction-diffusion systems with nonquasimonotone functions. *Numerische Mathematik* 103:485
270. Weibel MK, Bright HJ (1971) The glucose oxidase mechanism. *J Biol Chem* 246:2734
271. Whitaker S (1999) The method of volume averaging. Kluwer, Boston
272. Wightman RM, Wipf DO (1989) Voltammetry at ultramicroelectrodes. In: Bard AJ (ed) *Electroanalytical chemistry*, vol 15. Marcel Dekker, New York, pp 267–353
273. Wilson R, Turner APF (1992) Glucose oxidase: an ideal enzyme. *Biosens Bioelectron* 7:165
274. Wollenberger U, Schubert F, Pfeiffer D, Scheller FW (1993) Enhancing biosensor performance using multienzyme systems. *Trends Biotechnol* 11:255
275. Wollenberger U, Lisdat F, Scheller FW (1997) *Frontiers in biosensorics 2. Practical applications*. Birkhauser Verlag, Basel
276. Wu X, Detzel CJ, Van Wie BJ, Haarsma SJ, Kidwell DA (2004) Model-based optimization of a conductive matrix enzyme electrode. *Biotechnol Bioeng* 88:135
277. Wu BL, Zhang GM, Zhang Y, Shuang SM, Choi MMF (2005) Measurement of glucose concentrations in human plasma using a glucose biosensor. *Anal Biochem* 340:181
278. Wu B, Wang Y, Li J, Song Z, Huang J et al (2006) An optical biosensor for kinetic analysis of soluble interleukin-1 receptor I binding to immobilized interleukin-1 $\alpha$ . *Talanta* 70:485
279. Zhang Q, Xu JJ, Chen HY (2006) Glucose microfluidic biosensors based on immobilizing glucose oxidase in poly(dimethylsiloxane) electrophoretic microchips. *J Chromatogr A* 1135:122
280. Zhao W, Xu JJ, Chen HY (2006) Electrochemical biosensors based on layer-by-layer assemblies. *Electroanal* 18:1737
281. Zhu ZQ, Zhang J, Zhu JZ (2005) An overview of Si-based biosensors. *Sensor Lett* 3:71
282. Zupan J, Gasteiger J (1999) Neural networks in chemistry and drug design, 2<sup>nd</sup> edn. Wiley- VCH, Weinheim
283. Xi Y, Bazant ZP (1999) Modeling chloride penetration in saturated concrete. *J Mater Civil Eng* 11:58
284. Yang HM (2000) Mathematical model for liquid-liquid phase-transfer catalysis. *Chem Eng Comm* 179:117
285. Yang XS (2004) Pattern formation in enzyme inhibition and cooperativity with parallel cellular automata. *Parallel Comput* 30:741
286. Ylälimmi M, Lehtinen L (1988) Numerical analysis of a theoretical one-dimensional amperometric enzyme sensor. *Med Biol Eng Comput* 26:81
287. Yokoyama K, Koide S, Kayanuma Y (2002) Cyclic voltammetric simulation of electrochemically mediated enzyme reaction and elucidation of biosensor behaviors. *Anal Bioanal Chem* 372:248

## ث بت المصطلحات

أولاً: عربي - إنجليزي

excitation light	إثارة ضوئية
mono-enzyme	أحادي الإنزيم
Cartesian coordinates	إحداثيات كارتيزية
point-of-care testing	اختبار نقطة العناية
oxidases-catalyzed	اختزال سداسي سيانيد (III) المحفز
hexacyanoferrate(III) reduction	بإنزيم أوكسيدياز
inactivation of enzyme	إخاد الإنزيم
adenosine triphosphate	أدينوسين ثلاثي الفوسفات
ATP	أدينوسين ثلاثي الفوسفات
biosensor response	استجابة الحساس الحيوي

maximal biosensor response	استجابة الحساس الحيوي القصوى
overall biosensor response	الاستجابة الكلية للحساس الحيوي
steady state response	استجابة حالة الاستقرار
potentiometric biosensor response	استجابة حساس حيوي بقياس الجهد
	استجابة حساس حيوي مستقر
stationary biosensor response	(ساكن)
multi-response	استجابة متعددة
response stability	استقرار الاستجابة
electrode stability	استقرار الإلكترود
enzyme stability	استقرار الإنزيم
Stability	استقرارية
electronic signal	إشارة إلكترونية
signal gain	إشارة مكتسبة
exponential decay	اضمحلال أسي
response time prolongation	إطالة زمن الاستجابة
mediator reoxidation	إعادة أكسدة الوسيط
product regeneration	إعادة توليد الناتج

glucose oxidation	أكسدة الجلوكوز
Beta-D-glucose oxidation	أكسدة بيتا- د- جلوکوز
Redox	أكسدة- اختزال
oxygen electrode	إلكترود أوكسجين
ion-selective electrode	إلكترود انتقائي الأيون
amperometric electrode	إلكترود بقياس الأمبير
bienzyme electrode	إلكترود ثانئي الإنزيم
glucose electrode	إلكترود جلوکوزي
rotating disk electrode	إلكترود ذو قرص دوار
carbon paste electrode	إلكترود عجينة الكربون
carbon paste porous electrode	إلكترود عجينة الكربون المسامي
porous electrode	إلكترود مسامي
CPE	إلكترود مصنوع من عجينة الكربون
chemically modified electrode	إلكترود معدل كيميائياً
carbon past electrodes (CPEs)	إلكترودات عجينة الكربون
electrode-active	إلكترود- نشط
optical fibber	ألياف ضوئية

Adsorption	امتراز
Absorbance	امتصاص
light absorbance	امتصاص ضوئي
external diffusivity	الانتشارية الخارجية
biosensor selectivity	انتقائية الحساس الحيوي
transducer selectivity	انتقائية المبدل
Curvature	انحناء
reduced glucose oxidase (GOred)	إنزيم جلوكوز أوكسيداز المختزل
Peroxidase	إنزيم البروكسيداز
Creatininase	إنزيم الكرياتينيز
Oxidoreductases	إنزيم أوكسي ريداكتاز
glucose oxidase (GO)	إنزيم أوكسيداز الجلوكوز
enzyme peroxidase	إنزيم بروكسيداز
fungal peroxidase	إنزيم بروكسيداز الفطري
oxidized glucose oxidase	إنزيم جلوكوز الأوكسيداز المتأكسد
D-glucose oxidase	إنزيم د- جلوكوز أوكسيداز
alcohol dehydrogenase	إنزيم ديهيدروجينيز الكحول

glucose dehydrogenase	إنزيم ديهيدروجينيز جلوکوز
sarcosine oxidase	إنزيم ساركوسكين أوكسيداز
immobilized enzyme	إنزيم مُثبَّت
hexokinase	إنزيم هيكسوكينيز
co-immobilized enzymes	إنزيمات تثبيت مشتركة
dehydrogenases	إنزيمات ديهيدروجينيز
perforated membrane openness	انفتاح الغشاء المثقب

## بـ

initiator	بادئ
arbitrary real parameter	بارامتر حقيقي اختياري
dimensionless parameter	بارامتر لا بعدي
enzymatic parameters	بارامترات إنزيمية
undersell grounded parameters	بارامترات مؤرضة أقل
Briggs and Haldane	بريجس وهالدين

## ف

fluorescence	تألق (تفلور)
product fluorescence	تألق الناتج
steady state fluorescence	تألق حالة الاستقرار
divergent	تباعدي
Linear dependence	تبعية خطية
logarithmic dependence	تبعية لوغاريتمية
vary	تفاوت، تنوع، تغير
enzyme inhibition	تشييط الإنزيم
substrate inhibition	تشييط الركيزة
product inhibition	تشييط الناتج
aggregates	تجمعات، تراكمات
model validation	تحقق من صحة النموذج
membrane thickness optimization	تحقيق سمك الغشاء الأمثل
injection analysis	تحليل الحقن
flow injection analysis	تحليل الحقن التدفقى (السريانى)
sequential injection analysis	تحليل الحقن المتسلسل

batch analysis	تحليل الدفعه
multi-component analysis	تحليل متعدد المكونات
parallel substrate conversion	تحول الركيزة بالتوازي
consecutive substrates conversion	تحويل الركائز التوالي
consecutive substrate conversion	تحويل الركيزة التوالي
substrate cyclic conversion	تحويل الركيزة الحلقي
cyclic product conversion	تحويل المنتج الحلقي
cyclic mediators conversion	تحويل الوسيط الحلقي
synergistic substrates conversion	تحويل بين الحفاز المعاون والركيزة
enzymatic substrates conversion	تحويل ركائز إنزيمي
electrochemical conversion	تحويل كهروكيميائي
chemical conversion	تحويل كيميائي
Laplace transformation	تحويل لا بلاس
high specificity	نخصصية عالية
maximal gradient	تدرج أعظمي
dimensionless maximal gradient	تدرج أعظمي عديم البعد
flow	تدفق

zero flux	تدفق صفرى
oscillations	تذبذبات
two-phase composite	تراكم طورين
critical concentrations	تراكيز حرجة
dimensionless concentration	تراكيز لا بعديه
initial concentration	تركيز ابتدائي
saturating substrate concentration	تركيز الركيزة المشبعة
stationary concentration	تركيز ثابت
steady state concentration	تركيز حالة الاستقرار
averaged concentration	تركيز متوسطي
covalent	تساهمية
Saturation	تشبع
rimosity	تشققية، تصدعية
combinatorial synthesis	تشييد اندماجي (التحادى)
amplification	تضخيم، تكبير
exponential expression	تعبير أسي
Butler–Volmer expression	تعبير باتلر–فوبلر

Tortuosity	تعرج
unitary tortuosity	تعرج وحدوي
normalization	تعيير (جعله عياري)
allostery	تغير الفراغية، تفارغية
biocatalytical reaction	تفاعل الحفز الحيوي
hexokinase reaction	تفاعل إنزيم هيكسوكتينيز
enzymatic reaction	تفاعل إنزيمي
synergistic reaction	تفاعل حفاز معاون
homogenized MR	تفاعل دقيق متجانس
trigger reaction	تفاعل قادر
enzymatic trigger reaction	تفاعل قادر الإنزيمي
electrochemical reaction	تفاعل كهروكيميائي
first-order reaction	تفاعل من الرتبة الأولى
quasi steady state approximation	تقريب حالة شبه الاستقرار
numerical approximation	تقريب عددي
finite difference technique	تقنية الفرق المحدود
biotechnology	تقنية حيوية

response amplification	تكبير الاستجابة
enzymatic amplification	تكبير إنزيمي
electrochemical amplification	تكبير كهروكيميائي
chemical amplification	تكبير كيميائي
biochemical recognition	تمييز كيميائي حيوي
diversity	تنوع
equilibrium distribution	توزيع الاتزان
averaging diffusion coefficient	توسيط معامل الانتشار
normalized steady state current	تيار استقراري معياري
biosensor current	تيار الحساس الحيوي
oxygen electrode current	تيار إلكترود الأوكسجين
anodic current	تيار أنودي
stationary current	تيار ثابت (مستقر)
partial stationary current	تيار جزئي ساكن
steady state current	تيار حالة الاستقرار
steady state biosensor current	تيار حساس حيوي في حالة الاستقرار
dimensionless current	تيار لا بعدي

faradaic current

تيار مست Ethan

## ش

saturation constant

ثابت التشبع

catalytic constant

ثابت الحفز

bimolecular electron exchange

ثابت تبادل الإلكترون ثانوي الجزيء

constant

substrate inhibition constant

ثابت ثبيط الركيزة

product inhibition constant

ثابت ثبيط الناتج

first-order reaction constant

ثابت تفاعل الرتبة الأولى

apparent bimolecular constant

الثابت ثانوي الجزيء الظاهري

Faraday constant

ثابت فارادي

Michaelis constant

ثابت ميكائيليس

membrane perforation

ثقب الغشاء

tridiagonality

ثلاثية قطرية

Michaelis–Menten constants

ثوابت ميكائيليس – متن

## ج

silica particle

جسيم (دقيقة) السيليكا

amperometric transducer

جهاز قياس التحويل الأمبيرومتر

electrode potential

جهد الإلكترود

biosensor potential

جهد الحساس الحيوي

quantum yield

حاصل الكم

steady state

حالة استقرار

transition state

حالة انتقالية

quasi steady state

حالة شبه الاستقرار (مستقرة)

CPC-silica carrier

حامل السيليكا (CPC)

Michaelis–Menten kinetics

حركية ميكائيليس – متن

حساس حيوي يتطلب أوكسجينأً

BOD biosensor

كيميائياً حيوي

glucose biosensor

حساس الجلوكوز الحيوي

membrane biosensor

حساس الغشاء الحيوي

Biosensor

حساس حيوي

mono-layer biosensor

حساس حيوي أحادي الطبقة

metabolite biosensor

حساس حيوي أيضي

fluorescence biosensor	حساس حيوي بالتألق (تفلور)
mono-layer enzyme biosensor	حساس حيوي بإنزيم أحادي الطبقة
amperometric biosensor	حساس حيوي بقياس الأمبير
potentiometric biosensor	حساس حيوي بقياس الجهد
trienzyme biosensor	حساس حيوي ثلاثي الإنزيم
three-layer biosensor	حساس حيوي ثلاثي الطبقات
two-enzyme biosensor	حساس حيوي ثنائي الإنزيم
bienzyme biosensor	حساس حيوي ثنائي الإنزيم
phenol sensitive biosensor	حساس حيوي حساس للفينول
optical biosensor	حساس حيوي ضوئي
peroxidase-based optical biosensor	إنزيم البروكسيداز
creatinine biosensor	حساس حيوي كرياتيني
homogenized biosensor	حساس حيوي متتجانس
sandwich-like multi-layer biosensor	حساس حيوي متعدد الطبقات تشبه السندوتش
multi-enzyme biosensor	حساس حيوي متعددة الإنزيم

multi-layer biosensor	حساس حيوي متعددة الطبقات
biocatalytical biosensor	حساس حيوي محفز حيوياً
biosensor based on microorganisms	حساس حيوي مستند على الكائنات الدقيقة
	حساس حيوي يتطلب أوكسجينياً
biochemical oxygen demand biosensor	كيميائياً حيوياً
plate-gap biosensor	حساس فجوة اللوح الحيوي
microbial biosensor	حساس ميكروبي حيوي
biosensor sensitivity	حساسية الحساس الحيوي
dimensionless sensitivity	حساسية لا بعديه
relative sensitivity	حساسية نسبية
biological catalyst	حفاز بيولوجي
biocatalyst	حفاز حيوي
analytical solution	حل تحليلي
analytical solution of partial differential equations	حل تحليلي لمعادلات تفاضلية جزئية
	خُلِيلَة (المادة المراد تحليلها) تحت
analyte under determination	الفحص

## ف

surface roughness

خشونة السطح

numerical error

خطأً عدديًّا

microbial cell

خلية ميكروبية

positive allometric function

دالة المغایرة النسبية الموجبة

hyperbolic function

دالة زائدية

nonlinear function

دالة لامخطية (غير خطية)

Michaelis–Menten function

دالة ميكائيليس – متن

immobilized D-glucose oxidase

د-جلوكوز أوكسیداز المثبت

consumption–regeneration cycle

دورة التجديد والاستهلاك

Stagnant

راكد، آسن

## ز

response time

زمن الاستجابة

time of maximal current

زمن التيار الأقصى

apparent half-time

زمن النصف الظاهري

dimensionless time

زمن لابعدى

half-time of steady state

زمن نصف حالة الاستقرار

mineral oil

زيت معدنى

### بعض المصطلحات

sarcosine

ساركوسين (مادة كميائية)

hexacyanoferrate

سداسي سيانو الحديد

argument

سعة

peculiarity

سمات

effective thickness

سمك فعال

dimensionless thickness

سمك لابعدى

ferrocyanid

سيانيد الحديدوز

cytochrome b<sub>2</sub>

سيتوكروم

**ش**

artificial neural network	شبكة عصبية اصطناعية
bilinear discrete grid	شبكة متقطعة ثنائية الخطية
zero flux boundary condition	شرط حدي صفرى التدفق
non-leakage boundary condition	شرط حدي عدم التسرب
initial conditions	شروط ابتدائية
matching conditions	شروط المطابقة
stationary condition	شروط ثابتة
steady state conditions	شروط حالة الاستقرار
boundary conditions	شروط حدية
cation radicals	شقائق كاتيونيه

**ص**

fluorophore	صفات تألقية
Cardano formula	صيغة كارданو

**ط**

free energy of reaction	طاقة التفاعل الحرية
-------------------------	---------------------

diffusion layer	طبقة الانتشار
external diffusion layer	طبقة الانتشار الخارجية
effective diffusion layer	طبقة الانتشار الفعالة
Nernst diffusion layer	طبقة انتشار نرنست
selective layer	طبقة انتقائية
enzyme layer	طبقة إنزيم
stagnant layer	طبقة راكدة
Thin layer	طبقة رقيقة
elimination method	طريقة الخذف
Allometric fashion	طريقة المغایرة النسبية
Fourier method	طريقة فورييه
Biot number	عدد بيوت
Damköhler number	عدد دامكولر
grid nodes	عقد الشبكة
astrobiology	علم الحياة الفلكي

homogenization process

عملية التجانس

biocatalytical process

عملية الحفز الحيوي

perpendicular

عمودي

## غشاء

enzyme membrane

غشاء الإنزيم

biocatalytical membrane

غشاء الحفز الحيوي

selective membrane

غشاء انتقائي

multi-layer enzyme membrane

غشاء إنزيم متعدد الطبقات

outer membrane

غشاء خارجي

dialysis membrane

غشاء ديلزة (فصل بالانتشار الغشائي)

semipermeable membrane

غشاء شبه منفذ

perforated membrane

غشاء مثقب

porous membrane

غشاء مسامي

inert porous membrane

غشاء مسامي خامل

electrode coverage

غطاء إلكترودي

impermeable

غير منفذ، كتيم

**ف**

glucose phosphorylation

فسفرة الجلوكوز

Hansenula anomala

فطر خيره أسمه Hansenula anomala

hydrogen peroxide

فوق أكسيد الهيدروجين

**ج**

CPC-matrix

قالب من مادة CPC

Beer-Lambert Law

قانون بير-لامبرت

Triggering

قدح

extreme

قصوى

amperometry

قياس الأمبير (أمبيرومتر)

external diffusion limitation

قيد الانتشار الخارجي

internal diffusion limitation

قيد الانتشار الداخلي

maximal value

قيمة قصوى

**ك**

Carr

كار (اسم عالم)

current density

كثافة التيار

biosensor current density	كثافة تيار الحساس الحيوى
steady state current density	كثافة تيار حالة الاستقرار
Creatinine	كرياتين
creatine	كرياتين (جين)
volume fraction	كسر حجمي
bulk	كُلِّي
mathematical chemistry	كيمياء رياضية

**J**

non Michaelis–Menten kinetics	لاحرکية میکایلیس - متن
L-lactate	لاكتات - L-
JAVA languag	لغة جافا
nontransparent plate	لوح غير شفاف

**M**

CPC	مادة CPC
electro-inactive substance	مادة خاملة كهربائياً
organic binder	مادة لاصقة عضوية

transducer	مبدل
potentiometric transducer	مبدل بقياس فرق الجهد
optical transducer	مبدل ضوئي
inequalities	متباينات
conjugated	متراقة
enzyme substrate complex (ES)	متراكب إنزيم - ركيزة
series	متسلسلة
multi-surface	متعدد الأسطح
variant	متغير
parallelepiped	متوازي السطوح
neighborhoods	مجاور
conservative	محافظ
computer simulation	محاكاة حاسوبية
numerical simulator	محاكي عددي
dimensionless coordinate	محاور لابعدية
resultant relative output signal	محصلة نسبية للإشارة الناتجة
biocatalytical scheme	خطط الحفز الحيوي

synergistic scheme	خطط حفاز معاون
explicit finite difference scheme	خطط فرقی محدود صريح
implicit finite difference scheme	خطط فرقی محدود ضمني
trigger scheme	خطط قادر
ordered ping-pong scheme	خطط كرة الطاولة المنظم
Michaelis–Menten scheme	خطط ميكائيليس – متزن
stadium	مرحلة
compound	مركب
oxidized compound	مركب متأكسد
heterocyclic compounds	مركبات غير متتجانسة
mixture of compounds	مزيج من المركبات
proton tunneling	مسار البروتون
dimensionless distance	مسافة لا بعديه
initial boundary value problem	مسألة قيم حدية ابتدائية
nucleopore	مسام نوية
porosity	مسامية
rough equality	مساواة تقريرية

monotonic	مستقر، رتيب
array of microreactors	مصفوفة من المفاعلات الدقيقة
array of enzyme microreactors	مصفوفة من المفاعلات الدقيقة للإنزيم
coated	مطلي، مغلف
model equations	معادلات النموذج
partial differential equations (PDE)	معادلات تفاضلية جزئية
ordinary differential equations (ODE)	معادلات تفاضلية عاديّة
governing equations	معادلات حاكمة
governing equation	معادلة حاكمة
Cottrell equation	معادلة كوتربيل
Nernst equation	معادلة نرنست
extinction coefficient	معامل الامتصاص
molar extinction coefficient	معامل الامتصاص المولى
effective diffusion coefficient	معامل الانتشار الفعال
stoichiometric coefficient	معامل انضباط نسب الذرات
enzyme loading factor	معامل تحميم إنزيمي
linear enzyme kinetic coefficient	معامل حركة الإنزيم الخطي

biosensor calibration	معايرة الحساس الحيوي
carbon paste	معجون الكربون
initial rate	معدل ابتدائي
maximal enzyme rate	معدل الإنزيم الأقصى
precious flow rate	معدل تدفق قوي
first-order reaction rate	معدل تفاعل الرتبة الأولى
zero-order reaction rate	معدل تفاعل الرتبة صفر
inverse thickness	معكوس السُّمك
redundant information	معلومات زائدة
enzyme microreactor	مفاعل إنزيمي دقيق
microreactor (MR)	مفاعل دقيقة
biosensor resistance	مقاومة الحساس الحيوي
constituent	مكون، عنصر
calibration curves	منحنيات معايرة
profiles	منحنيات، رسوم جانبية
convective region	منطقة الحمل الحراري
multi-steady state zone	منطقة متعددة الاستقرار

## مواد

## substances

ج

silica carrier

ناقل السيليكا

algebraic corollary difference equation

نتيجة جبرية لمعادلة فرقية

Nerstian

نرستيان

catalytic activity

نشاط الحفز

enzyme activity

نشاط إنزيم

peroxidase activity

نشاط إنزيم البروكسيداز

molecular activity

نشاط جزيئي

kinetic regime

نظام حركي

optical system

نظام ضوئي

multienzyme system

نظام متعدد الإنزيمات

polyenzyme system

نظام متعدد الإنزيمات

adsorbed polyenzyme system

نظام متعدد الإنزيمات

permeability

نفاذية

splitting points

نقاط التقسيم (الانشطار)

nodal points	نقاط عُقدية
points engaged	نقاط مرتبطة أو مشتركة
trigger mode	نمط قادر
one-layer model	نموذج أحادي الطبقات
three-layer model	نموذج ثلاثي الطبقات
three-compartment model	نموذج ثلاثي الوحدات
two-compartment model	نموذج ثنائي الوحدات
four-compartment model	نموذج رباعي الوحدات
mathematical model	نموذج رياضي
two-compartment mathematical model	نموذج رياضي ثنائي الوحدات
plate-gap model	نموذج فجوة اللوح
dimensionless model	نموذج لابعدي
multi-layer model	نموذج متعدد الطبقات
multi-layer approach	نهج (أسلوب) متعدد الطبقات
quasi-steady state approach	نهج حالة شبه الاستقرار
Nernst approach	نهج نرنست
nucleopore type perforated	نوع مسامي نووي مثقب

## ٦

relative fluorescence units (RFU) وحدات تألق (فلورية) نسبية

diffusion module وحدة (موديول) الانتشار

reduced diffusion module وحدة انتشار مختزلة

breeding media وسط تربية

periodic media وسط دوري

mediator وسيط

total mediator وسيط شامل

converges يتقارب

corresponds يناظر

(إنجليزي - عربي)

**A**

Absorbance	امتصاص
adenosine triphosphate	أدينوسين ثلاثي الفوسفات
Adsorption	امتراز
aggregates	تجمعات، تراكمات
alcohol dehydrogenase	إنزيم ديهيدروجينيز الكحول
allostery	تغير الفراغية، تفارغية
amperometric biosensor	حساس حيوي بقياس الأمبير
amperometric electrode	إلكترود بقياس الأمبير
amperometric transducer	جهاز قياس التحويل الأمبيرومترى
amperometry	قياس الأمبير (أميرومترى)
amplification	تضخيم، تكبير
analyte under determination	الفحص حُليلة (المادة المراد تحليلها) تحت
analytical solution	حل تحليلي

analytical solution of partial  
differential equations

حل تحليلي لمعادلات تفاضلية جزئية

anodic current

تيار أنودي

apparent bimolecular constant

الثابت ثنائي الجزيء الظاهري

arbitrary real parameter

بارامتر حقيقي اختياري

ATP

أدينوسين ثلاثي الفوسفات

averaged concentration

تركيز متوسطي

averaging diffusion coefficient

توسيط معامل الانتشار

## B

Batch analysis

تحليل الدفعه

Beta-D-glucose oxidation

أكسدة بيتا- د- جلوکوز

bienzyme biosensor

حساس حيوي ثنائى الإنزيم

bienzyme electrode

إلكترود ثنائى الإنزيم

bimolecular electron exchange constant

ثابت تبادل الإلكترون ثنائى الجزيء

biocatalyst

حفاز حيوي

biocatalytical biosensor

حساس حيوي محفز حيويًا

biocatalytical process	عملية الحفز الحيوي
biocatalytical reaction	تفاعل الحفز الحيوي
BOD biosensor	حساس حيوي يتطلب أوكسجينًا كيميائياً
biochemical oxygen demand biosensor	كيميائياً حيوياً
biochemical recognition	تمييز كيميائي حيوي
biological catalyst	محاذ بيولوجي
Biosensor	حساس حيوي
biosensor based on microorganisms	حساس حيوي مستند على الكائنات الدقيقة
biosensor current	تيار الحساس الحيوي
biosensor potential	جهد الحساس الحيوي
biosensor response	استجابة الحساس الحيوي
biosensor selectivity	انتقائية الحساس الحيوي
biosensor sensitivity	حساسية الحساس الحيوي
biotechnology	تقنية حيوية
	حساس حيوي يتطلب أوكسجينًا كيميائياً

Briggs and Haldane

بريجس وهالدين

Butler–Volmer expression

تعبير باتلر–فولمر

## C

carbon past electrodes (CPEs)

إلكترودات عجينة الكربون

carbon paste electrode

إلكترود عجينة الكربون

carbon paste porous electrode

إلكترود عجينة الكربون المسامي

Cartesian coordinates

إحداثيات كارتيزية

catalytic constant

ثابت الحفز

chemical amplification

تكبير كيميائي

chemical conversion

تحويل كيميائي

chemically modified electrode

إلكترود معدل كيميائياً

co-immobilized enzymes

إنزيمات تثبيت مشتركة

combinatorial synthesis

تشييد اندماجي (انحادي)

consecutive substrate conversion

تحويل الركيزة المتوالي

consecutive substrates conversion

تحويل الركائز المتوالي

consumption–regeneration cycle

دورة التجديد والاستهلاك

covalent

تساهمية

CPC-silica carrier	حامل السيليكا (CPC)
CPE	إلكترود مصنوع من عجينة الكربون
Creatininase	إنزيم الكرياتينيز
creatinine biosensor	حساس حيوي كرياتيني
critical concentrations	تراكيز حرجة
Curvature	انحناء
cyclic mediators conversion	تحويل الوسيط الخلقي
cyclic product conversion	تحويل المنتج الخلقي

**D**

dehydrogenases	إنزيمات ديهيدروجينيز
D-glucose oxidase	إنزيم د- جلوكوز أوكسيداز
dimensionless concentration	تراكيز لا بعديه
dimensionless current	تيار لا بعدي
dimensionless maximal gradient	تدرج أعظمي عديم البعد
dimensionless parameter	بارامتر لا بعدي
dimensionless sensitivity	حساسية لا بعديه
divergent	تباعدي

diversity

تنوع

## E

electrochemical amplification

تكبير كهروكيميائي

electrochemical conversion

تحويل كهروكيميائي

electrochemical reaction

تفاعل كهروكيميائي

electrode potential

جهد الإلكترود

electrode stability

استقرار الإلكترود

electrode-active

إلكترود-نشط

electronic signal

إشارة إلكترونية

enzymatic amplification

تكبير إنزيمي

enzymatic parameters

بارامترات إنزيمية

enzymatic reaction

تفاعل إنزيمي

enzymatic substrates conversion

تحويل ركائز إنزيمي

enzymatic trigger reaction

تفاعل قادر الإنزيمي

enzyme inhibition

تشييط الإنزيم

enzyme peroxidase

إنزيم بيروكسيدادز

enzyme stability

استقرار الإنزيم

equilibrium distribution

توزيع الاتزان

excitation light

إثارة ضوئية

exponential decay

اضمحلال أسي

exponential expression

تعبير أسي

**F**

faradaic current

تيار مست Ethan

Faraday constant

ثابت فارادي

finite difference technique

تقنية الفرق المحدود

first-order reaction

تفاعل من الرتبة الأولى

first-order reaction constant

ثابت تفاعل الرتبة الأولى

flow

تدفق

flow injection analysis

تحليل الحقن التدفقية (السرياني)

fluorescence

تألق (تفلور)

fluorescence biosensor

حساس حيوي بالتألق (تفلور)

fungal peroxidase

إنزيم بيروكسيداز الفطري

**G**

glucose biosensor

حساس الجلوكوز الحيوي

glucose dehydrogenase

إنزيم ديهيدروجينيز جلوکوز

glucose electrode

إلكترود جلوکوزي

glucose oxidase (GO)

إنزيم أوكسیداز الجلوکوز

glucose oxidation

أكسدة الجلوکوز

**H**

hexokinase

إنزيم هيكسوكينيز

hexokinase reaction

تفاعل إنزيم هيكسوكينيز

high specificity

تحصصية عالية

homogenized biosensor

حساس حيوي متجلانس

homogenized MR

تفاعل دقيق متجلانس

hyperbolic function

دالة زائدية

**I**

immobilized D-glucose oxidase

د-جلوکوز أوكسیداز المثبت

immobilized enzyme

إنزيم مثبت

inactivation of enzyme

إخاد الإنزيم

initial concentration

تركيز ابتدائي

initiator

بادئ

injection analysis

تحليل الحقن

ion-selective electrode

إلكترود انتقائي للأيون

**L**

Laplace transformation

تحويل لابلاس

light absorbance

امتصاص ضوئي

Linear dependence

تبعية خطية

logarithmic dependence

تبعية لوغارitmيه

**M**

matching conditions

شروط المطابقة

maximal biosensor response

استجابة الحساس الحيوي القصوى

maximal gradient

درج أعظمي

mediator reoxidation

إعادة أكسدة الوسيط

membrane biosensor

حساس الغشاء الحيوي

membrane perforation

ثقب الغشاء

membrane thickness optimization

تحقيق سمك الغشاء الأمثل

metabolite biosensor

حساس حيوي أيضي

Michaelis constant

ثابت ميكائيليس

Michaelis–Menten constants	ثوابت ميكائيليس – متتن
Michaelis–Menten function	دالة ميكائيليس – متتن
Michaelis–Menten kinetics	حركية ميكائيليس – متتن
microbial biosensor	حساس ميكروبي حيوى
microbial cell	خلية ميكروبية
model validation	التحقق من صحة النموذج
mono-enzyme	أحادي الإنزيم
mono-layer biosensor	حساس حيوى أحادي الطبقة
mono-layer enzyme biosensor	حساس حيوى بإنزيم أحادي الطبقة
multi-component analysis	تحليل متعدد المكونات
multi-enzyme biosensor	حساس حيوى متعدد الإنزيم
multi-layer biosensor	حساس حيوى متعدد الطبقات
multi-response	استجابة متعددة

## N

nonlinear function	دالة لاخطية (غير خطية)
normalization	تعيير (جعله عياري)
normalized steady state current	تيار استقراري معياري

numerical approximation تقرير عددي

numerical error خطأ عددي

## O

optical biosensor حساس حيوي ضوئي

optical fiber ألياف ضوئية

oscillations تذبذبات

overall biosensor response الاستجابة الكلية للحساس الحيوي

oxidized glucose oxidase إنزيم جلوكوز الأكسيداز المتأكسد

Oxidoreductases إنزيم أوكسي ريداكتاز

oxygen electrode إلكترود أوكسجيني

oxygen electrode current تيار إلكترود الأوكسجين

## P

parallel substrate conversion تحول الركيزة بالتوازي

partial stationary current تيار جزئي ساكن

perforated membrane openness افتتاح الغشاء المثقب

Peroxidase إنزيم البروكسيداز

peroxidase-based optical biosensor	حساس حيوي ضوئي مستند على إنزيم البروكسيداز
phenol sensitive biosensor	حساس حيوي حساس للفينول
plate-gap biosensor	حساس فجوة اللوح الحيوي
point-of-care testing	اختبار نقطة العناية
porous electrode	إلكترود مسامي
positive allometric function	دالة المغایرة النسبية الموجبة
potentiometric biosensor	حساس حيوي بقياس الجهد
potentiometric biosensor response	استجابة حساس حيوي بقياس الجهد
product fluorescence	تألق الناتج
product inhibition	تشييط الناتج
product inhibition constant	ثابت تشييط الناتج
product regeneration	إعادة توليد الناتج

## Q

quantum yield	حاصل الكم
quasi steady state	حالة شبه الاستقرار (مستقرة)
quasi steady state approximation	تقريب حالة شبه الاستقرار

**R**

Redox	أكسدة-اختزال
reduced glucose oxidase (GOred)	إنزيم جلوكوز أوكسيداز المختزل
relative sensitivity	حساسية نسبية
response amplification	تكبير الاستجابة
response stability	استقرار الاستجابة
response time prolongation	إطالة زمن الاستجابة
rimosity	تشققية، تصدعية
rotating disk electrode	إلكترود ذو قرص دوار

**S**

sandwich-like multi-layer	حساس حيوي متعدد الطبقات تشبه
biosensor	الستنديوتش
sarcosine oxidase	إنزيم ساركوسكين أوكسيداز
saturating substrate concentration	تركيز الركيزة المشبعة
Saturation	تشبع
saturation constant	ثابت التشبع
sequential injection analysis	تحليل الحقن المتسلسل

signal gain	إشارة مكتسبة
silica particle	جسيم (دقيقة) السيليكا
Stability	استقرارية
stationary biosensor response	استجابة حساس حيوي مستقر (ساكن)
stationary concentration	تركيز ثابت
stationary current	تيار ثابت (مستقر)
steady state	حالة استقرار
steady state biosensor current	تيار حساس حيوي في حالة الاستقرار
steady state concentration	تركيز حالة الاستقرار
steady state current	تيار حالة الاستقرار
steady state fluorescence	تألق حالة الاستقرار
steady state response	استجابة حالة الاستقرار
substrate cyclic conversion	تحويل الركيزة الحلقي
substrate inhibition	تشييط الركيزة
substrate inhibition constant	ثابت تشييط الركيزة
surface roughness	خشونة السطح

synergistic reaction

تفاعل حفاز معاون

synergistic substrates conversion

تحويل بين الحفاز المعاون والركيزة

**T**

three-layer biosensor

حساس حيوي ثلاثي الطبقات

Tortuosity

تعرج

transducer selectivity

انتقائية المبدل

transition state

حالة انتقالية

tridiagonality

ثلاثية قطرية

trienzyme biosensor

حساس حيوي ثلاثي الإنزيم

Triggering

قدح

two-enzyme biosensor

حساس حيوي ثنائي الإنزيم

two-phase composite

تراكم طوري

**U**

undersell grounded parameters

بارامترات مؤرضة أقل

unitary tortuosity

تعرج وحدوي

**V**

vary

تفاوت، تنوع، تغير

Z

تدفق صفرى

zero flux

Obeikandil.com